

Punto Nuevo de Estilo Potosino
ARAGON



PROBLEMA FISICO DE UN PUENTE
CON LUSA ESTVIAJABA

TESIS PROFESIONAL
QUE PARA OBTENER EL TITULO DE:
INGENIERO CIVIL
P R E S E N T A

Serrano Saldaña Miguel

MEXICO, D. F.

1961



UNAM – Dirección General de Bibliotecas

Tesis Digitales
Restricciones de uso

DERECHOS RESERVADOS ©
PROHIBIDA SU REPRODUCCIÓN TOTAL O PARCIAL

Todo el material contenido en esta tesis está protegido por la Ley Federal del Derecho de Autor (LFDA) de los Estados Unidos Mexicanos (México).

El uso de imágenes, fragmentos de videos, y demás material que sea objeto de protección de los derechos de autor, será exclusivamente para fines educativos e informativos y deberá citar la fuente donde la obtuvo mencionando el autor o autores. Cualquier uso distinto como el lucro, reproducción, edición o modificación, será perseguido y sancionado por el respectivo titular de los Derechos de Autor.

TESIS CON FALLA DE ORIGEN

ESTUDIO PRELIMINAR DE UN PUEBLO CON ZONA INDUSTRIAL.

CONTENIDO:	PÁGINA.
A) - OBJETIVO.	1
B) - INTRODUCCIÓN.	2
CAP. 1 - ESTUDIO DEL PUEBLO.	11
1.1 - ANTECEDENTES.	11
1.2 - DESCRIPCIÓN DE LA DISTRIBUCIÓN TERRITORIAL.	11
CAP. 2 - PUEBLO PUEBLO.	17
2.1 - ESTUDIOS DEL MATERIAL PARA ESTUDIAR EL PUEBLO.	17
2.2 - ANALISIS DEMOGRAFICO.	19
2.3 - ESTIMACIÓN DE EXPRESIONES DE LOS ELEMENTOS DEL PUEBLO.	24
2.4 - PARTECIPACION Y MONTAJE DEL PUEBLO.	26
CAP. 3 - PUEBLO DEL PUEBLO.	29
3.1 - INTERPRETACIONES.	29
3.2 - SISTEMA DE APLICACIONES DE CASAS.	47
3.3 - ESTIMACION DE ESTRUCTURAS.	53
CAP. 4 - INTERPRETACION DE PUEBLO PUEBLO.	65
4.1 - ANALISIS DEL SISTEMA DE INTERPRETACION.	65
4.2 - ESTIMACION DE SUPERFICIES DE INFLORECIA.	78
4.3 - ESTIMACION DE ELEMENTOS HIGRANTES.	80
CAP. 5 - CONCLUSIONES.	83
BIBLIOGRAFIA	86
APENDICE A1	88
APENDICE A2	103

3.1. CONCLUSIONES.

El desarrollo actual de computadoras en el área de Ingeniería Industrial permite resolver satisfactoriamente la mayoría de los problemas prácticos navales. Sin embargo, el desarrollo tecnológico plantea en consecuencia la necesidad de diseñar estructuras complejas de características geométricas poco usuales .

Los computadores permiten simular mediante algoritmos iterativos una gran variedad de condiciones de diseño y propiedades de estructura, cosa hasta llegar a la óptima. No obstante, tales algoritmos están desarrollados en base a hipótesis de comportamiento de un material de propiedades físicas y mecanismo muy particulares, pues debe ser homogéneo e isotrópico (hipótesis de partida de la teoría de la elasticidad) y todo parece indicar la inconsistencia de tal material idealizado.

Por otro lado, la mayor parte de las especificaciones de diseño que se siguen en la práctica, son representaciones ó adaptaciones de normas extranjeras que fueron elaboradas de acuerdo a condiciones propias del país de origen , y que por lo tanto no concuerden poco ó nada bien con condiciones reales.

Es por este motivo que la investigación programada e intensiva , en general en todos los campos del conocimiento resulta importante.

El objetivo del presente trabajo no es el de presentar un informe matemático del análisis de un modelo ficticio , sino más bien mostrar una metodología más ó menos segura de lo que en este caso.

Es deseable que las generalidades aquí presentadas, fomenten el interés y la preocupación por conocer a fondo este campo de la Ingeniería, pues solo por este medio se puede lograr una tecnología propia que se ajuste totalmente a nuestras condiciones económicas .

B) - .

La materia sensible del universo está compuesta por una serie de sustancias elementales unidas entre sí por medio de las fuerzas moleculares de cohesión, mismas que se originan por interacción de las cargas eléctricas de los átomos ionizados.

De este modo existe la estructura de la materia, que puede concebirse como la interrelación conveniente de un conjunto de elementos con una razón de existencia definida.

El hombre ha aprendido desde los albores de su existencia a valerse de su iniciativa y de la materia existente en la naturaleza para construir elementos de geometría definida, tales que al conectarse con otros elementos, originen una estructura capaz de cumplir con su razón de existencia.

Existen así los sistemas estructurales caracterizados por un objetivo de concepción, el cual depende de las necesidades que deben satisfacerse y a la vez constituye la directriz de acción en el proceso de elaboración.

La razón de existencia de los sistemas estructurales puede ser muy diversa, dependiendo de los requerimientos que deben ser satisfechos simultáneamente.

La Ingeniería estructural se ocupa de proporcionar estructuras cuyos elementos sean aptos para soportar y transmitir las solicitudes externas mediante la capacidad de los miembros de admitir esfuerzos y deformaciones sin que se llegue a la falla de la estructura. La falla estructural puede determinarse cuando los elementos dejan de cumplir con su razón de existencia, como la estabilidad, configuración geométrica, belleza estética, etc,udiéndose así distinguir entre falla funcional y falla catástrofica, según el gradiente de desviación que exista con respecto al objetivo inicial de concepción.

De este modo son importantes las propiedades mecánicas de los materiales de construcción, pues suelen ofrecer algunas limitaciones para ser usados en las estructuras.

En general, en todo sistema estructural es posible distinguir dos tipos de propiedades:

- i) propiedades intrínsecas del sistema
- ii) propiedades extrínsecas ó medio ambiente del sistema.

En el primer grupo de propiedades quedan incluidas todas aquellas características inherentes a los elementos integrantes, tales como las propiedades físicas y químicas.

Estas características están intimamente relacionadas con la aptitud resistente del material y constituyen una relación causal, en la cual el patrón de comportamiento del material depende de sus propiedades intrínsecas.

Las propiedades extrínsecas ó medio ambiente del sistema están integradas por el conjunto de solicitudes externas que actúan directamente sobre el material, produciendo constantemente esfuerzos y deformaciones, cuya intensidad es función directa de las propiedades intrínsecas del elemento y de la magnitud de las solicitudes externas.

En virtud de la inercia de la materia, ésta presenta una resistencia a variar su configuración geométrica cuando actúan agentes externos sobre ella, de tal modo que bajo pequeñas cargas no exista deformación apreciable.

No obstante, al aumentar gradualmente la causa externa, es posible lograr deformaciones mensurables antes de la ruptura del material ante la carga de colapso.

La estructura adecuada ideal puede concebirse como aquella en la cual las dos propiedades anteriores están en equilibrio estable, de tal modo que no existe movimiento interno en ninguna dirección de la estructura, causando por agentes externos.

Esta condición garantiza que no se modificará la razón de existencia de la estructura, pues corresponderá en todo momento con la concepción original al no variar su estado.

En el proceso de análisis de toda estructura, deben identificarse correctamente los dos tipos de propiedades mencionadas, así como las condiciones de frontera que deben satisfacerse, con el objeto de lograr un diseño juicioso y racional de cada uno de los elementos componentes.

Las condiciones de frontera pueden considerarse como un lazo de unión entre los dos tipos de propiedades y es de vital importancia su correcta consideración en el proceso de análisis. Las uniones entre los elementos componentes son también importantes, pues son directamente responsables de la distribución de esfuerzos y de la transmisión de los mismos a otros elementos, además colaboran a la estabilidad de la estructura.

Una vez indentificados todos estos factores, la idealización de la estructura para fines de análisis puede realizarse de diversas maneras, cada una de las cuales se basa fundamentalmente en la creación de imágenes que se ajusten con el mayor asego posible a la estructura fuente.

La característica fundamental de estas idealizaciones es la representación de las variables de estado del sistema fuente mediante símbolos, que pueden ser matemáticos, gráficos ó físicos, dando lugar a lo que se conoce genéricamente con el nombre de modelos. Así pues, un modelo es la representación de las variables de estado que caracteriza a un sistema, en forma tal que este y su modelo sean biunívocamente correspondientes en cuanto a su conciencia física se refiere. Los modelos matemáticos constituyen imágenes numéricas de un sistema dado y en él se utilizan expresiones matemáticas que involucran a las variables características del sistema.

La solución de las expresiones planteadas permite obtener los resultados esperados y la confiabilidad de los mismos depende tanto del método usado en el planteamiento (límites de c-

aplicabilidad, hipótesis simplificatorias de comportamiento) como de la correcta determinación de las condiciones de frontera.

Es por ello que la exactitud de un modelo matemático depende de la precisión con que se determinan las variables involucradas. Los modelos físicos son imágenes tridimensionales de un sistema que se hacen con el objeto de probar su aptitud resistente ante las limitaciones externas.

Para elaborar un modelo físico se requiere utilizar la teoría del análisis dimensional y la mecánica mecánica, recursos que permiten representar matemáticamente las características geométricas y mecánicas del prototipo e interpretar los resultados obtenidos para el correcto diseño del mismo.

El modelo físico puede hacerse casi de cualquier material, siempre y cuando el fundamento físico sea correspondiente con el del prototipo y se utilicen convenientemente las expresiones previstas por la teoría del análisis dimensional.

El uso de los modelos físicos está ampliamente justificado cuando se trata con estructuras complicadas o poco usuales, donde las características de los mismos difieren de los comunes.

No obstante, el costo y el tiempo son variables que influyen en la selección del tipo de modelo, lo cual sumado a los precios actuales de las computadoras electrónicas, hace casi siempre preferible al enfoque del problema por medio de modelos matemáticos en los cuales se aplican simplificaciones comúnmente aceptadas y que han dado resultados satisfactorios a través del tiempo.

Se ve claramente que la combinación de un modelo matemático con un modelo físico sería la mejor solución para tratar un problema complicado del cual no existen antecedentes, pues de este modo los resultados obtenidos del modelo físico servirían para validar la validez de las hipótesis de partida en la elaboración del modelo matemático .

El pensamiento actual de la Ingeniería Estructural aparece como un sistema coherentemente elaborado, donde todas las partes del proceso están lógicamente ordenadas con sus correspondientes relaciones matemáticas elegantemente presentadas con tratamientos matemáticos más o menos sofisticados.

En su desarrollo, resulta justo recordar que se fueron consolidando todas las teorías a partir de las cuales se ha estructurado la moderna teoría del análisis y diseño de estructuras, si estaban todas ellas lo suficientemente ordenadas y adecuadas como ahora se contemplan; Este es, el conocimiento actual de conocimientos en lo que se refiere al comportamiento de estructuras bajo carga, es el resultado de la actividad de innumerables estudiosos y resopladores que han dado forma a lo que actualmente se conoce en la materia y que se aplica ampliamente en la práctica.

De este modo, el proyectista de estructuras cuenta con una teoría lógica completa en tanto pocos, con la aplicación de tales conocimientos, lograr los objetivos iniciales al construir una estructura: seguridad, economía y belleza, siempre que se haya hecho una selección adecuada de los materiales de construcción y que las características de la estructura en cuenta a solicitaciones y comportamiento mecánico se refiera no sobrepase los límites de aplicabilidad de las expresiones matemáticas usadas en las fases de análisis y diseño del proceso de diseño.

De aquí que resulta importante el conocimiento detallado de las características de comportamiento mecánico de los materiales usados para construir la estructura y los límites de aplicabilidad de las expresiones provistas por la teoría de la elasticidad y la mecánica de materiales, pues en caso contrario se corre el riesgo de no apreciar debidamente los factores que afectan directa o indirectamente al comportamiento de la estructura en condiciones de servicio.

La aplicación indiscriminada y casi mecánica de fórmulas y simplificaciones que en un caso dado pueden ser válidas, tiene como consecuencia el no tener presente el fenómeno físico que interesa, y de este modo pueden cometerse en un momento dado

errores de apreciación y aplicación de los conceptos básicos de física forma que surgen consecuencias desagradables.

El análisis de estructuras en las cuales las solicitudes externas son tales que no superan el límite de proporcionalidad del material, puede ser convenientemente llevado a cabo mediante los recursos suministrados por la teoría de la Elasticidad, ya sea mediante la integración directa de las expresiones diferenciales que determinan el estado del sistema ó mediante las teorías simplificadas particulares aportadas por la Mecánica de materiales, tales como flexión y torsión de barras, teoría de platos, etc.

El problema se complica cuando se trata de analizar el comportamiento de una estructura ante solicitudes que superan el límite de proporcionalidad del material, pues el tratamiento matemático se complica notablemente debido a la variación no lineal de las relaciones esfuerzo-deformación.

La dificultad teórica con que tropieza el análisis de estructuras en el rango inelástico ha dado como resultado la utilización de factores de seguridad ante las solicitudes de los mismos, para mantener a estos trabajando dentro de límites razonables de esfuerzos, sin exceder el límite elástico del material.

Esto, en general, se refleja en soluciones anti-económicas e inclusive algunas veces inseguras, debido al desconocimiento del comportamiento estructural en el rango no elástico.

Por otro lado, la teoría de la elasticidad está elaborada en función de las hipótesis básicas de homogeneidad, isotropía, continuidad de la materia y en la consideración de que las deformaciones son pequeñas, a la vez que existe una relación lineal de esfuerzos y deformaciones según la ley de Hooke. Esto en general no se cumple para algunos materiales de construcción tales como el concreto reforzado.

Pues evidentemente no se pueden lograr las características de — homogeneidad y continuidad al ser ésto un conjunto de *comuntes* — Partículas, agregados pétreos y arena de refuerzo.

En tales condiciones, el proyectista de estructuras se vio obligado cada vez más obligado a determinar los elementos socioeconómicos mediante la observación experimental de modelos físicos construidos a escala según las leyes del análisis dimensional.

De este modo se logra comprender de manera profunda el sentido filosófico del comportamiento de las estructuras, a la vez que se logra un diseño más racional, pues se puede hacer un mejor uso de los materiales cuando se ha comprendido su comportamiento gracias a observaciones físicas del fenómeno en estudio.

Aunque el conocimiento de la relación causal de las variables involucradas que caracterizan el estado del sistema, hacen que — las teorías existentes en base a hipótesis (algunas veces groguerio) pasen de ser un arte a la calidad de ciencia al estar definitivamente comprobadas mediante la medida cualitativa y cuantitativa del fenómeno físico.

Así se logran comprender y comprender las expresiones cualitativas extensamente elegantes pero algunas veces complicadas de los — modelos matemáticos, lo cual trae como consecuencia que se comprenda más eficientemente la razón de ser de las estructuras.

Sin embargo, debido a que no siempre se dispone de tiempo suficiente para construir, instrumentar y observar un modelo, al procedimiento de diseño tradicional es comúnmente usado, con algunos de los inconvenientes mencionados; Esto, lleva a la preferencia del proyectista por obtener todos sus resultados por medios analíticos y al avance actual de los instrumentos de cálculo, trae — como consecuencia que el uso de modelos físicos se realice exclusivamente en algunos de los casos siguientes:

- a) Problemas no resueltos relativos a la aplicabilidad de las teorías analíticas a nuevas y complejas formas estructurales.
- b) Estructuras reticulares sujetas a cargas complejas tales como viento y fuerzas sísmicas;
- c) Lemas con condiciones de frontera y cargas no usuales con geometría irregular causada por agujeros practicados en ellas.
- d) Cubiertas de casco/ríbula con geometría compleja y condiciones de frontera no estudiadas.
- e) Estructuras de puentes y edificios cuando están sujetas a solicitudes poco usuales.
- f) Neves de reactores y otras estructuras de concreto refuerzo y preforrado sujetas a presión hidrostática o a presión de tierras.
- g) Nuevos sistemas de construcción donde existe interacción de muchos componentes.
- h) En presas
- i) En estructuras marinas.

Dobido a la importancia del análisis experimental de las estructuras, ya se incluyen recomendaciones al respecto en algunos manuales y códigos (I) justificando su uso por alguna o más de las siguientes razones:

- a) Límite de Aplicación de las expresiones analíticas.
- b) Cuando los enfoques analíticos son insuficientes para juzgar el comportamiento bajo cargas de colapso u otros estados límite.
- c) Comprobar la justicia de las idealizaciones analíticas que se hayan elaborado para analizar formas estructurales complejas poco usuales.
- d) Las consecuencias que acarrearía la falla sean tan grandes que se considera esencial la confirmación física de las predicciones analíticas.

Por otro lado el análisis experimental no constituye un recurso

que desplaza al tratamiento analítico, sino que bien sobre todo -
debe ser complementario, pues por medio de la observación física -
se logra la comprensión a fondo del sentido real de las expresio -
nes matemáticas, lo cual constituye un factor determinante para -
la correcta aplicación de las últimas.

(1) Building Code of the City of Newark (1970)

"National Building Code of Canada" NBCC No. 13982 (1975)

ACI Committee 318 "Building Code Requirements for Rein -
forced Concrete" (ACI 318-77)

I - DESCRIPCION DEL PROYECTO.

1.1 APERTURAS

El problema de determinar los elementos auxiliares de cualquier estructura cuyas características de comportamiento ante las solicitaciones externas están más o menos establecidas, puede resolverse satisfactoriamente haciendo uso de los métodos tradicionales del análisis estructural, acompañando a la estructura en sus sorteos de elementos auxiliares y resolviendo para cada uno por medio de procedimientos bien establecidos en teorías particulares de la teoría de la elasticidad y de las como la teoría de la fluencia simple, terada, teoría de plástico, etc.

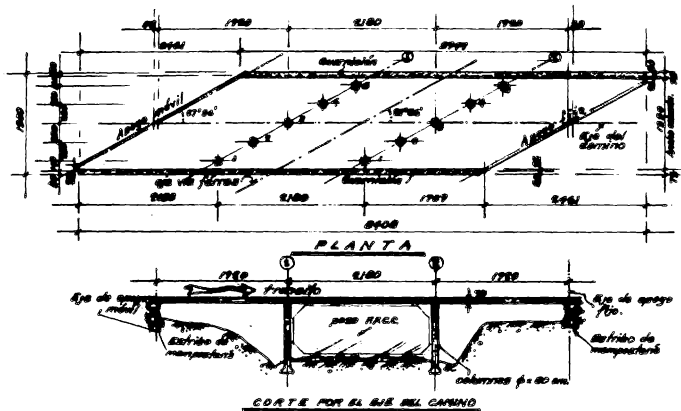
En cambio, cuando las características de la estructura son tales que no son suficientemente seguras las procedimientos de análisis tradicionales, es necesario realizar un estudio auxiliar previo, el cual puede realizarse por medio de un modelo físico de la estructura.

En este caso particular, la inestabilidad del comportamiento real de un sistema de piso no orthogonal, con un elevado factor de coviraje, creó la necesidad de establecer el estado de esfuerzos internos mediante un modelo físico a escala, el cual se describe más adelante.

1.2 DESCRIPCION DE LA ESTRUCTURA PROTOTIPO

Con el objeto de liberar un piso inferior de PFDI, se proyectó un proyecto cuya estructuración está remolte a base de una sola placa media de tres claros de concreto reforzado apoyada en dos bordes exteriores sobre estribos de mampostería y dos ejes de apoyos intermedios de columnas circulares de concreto reforzado. Las dimensiones y características geométricas del proyecto se muestran en la figura II-2.

Al tratarse con un elevado factor de coviraje de la base que resultan poco confiables las idealizaciones usualas, que consideran una franja de base de radio determinado trabajando como una

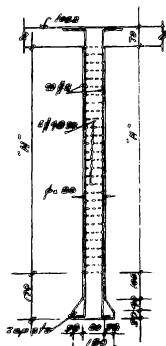


ESCALA 1:100
Acotaciones en cm.

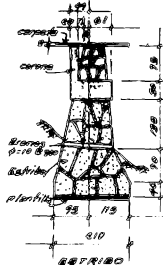
FIGURA 3.2-2

FIG. 62.8 - DETALLES DE LA ESTRUCTURA PROTOTIPO

IV



EVACUATION CONTINUATION

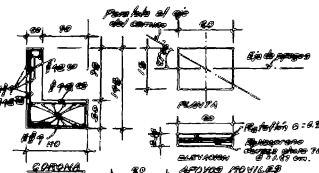


SECTION OF
CALIFORNIA TIP

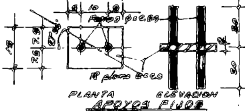


ELEVACION BAJA Y
CONTRASTE ALITO

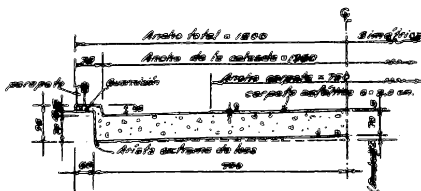
ALTURA DE COLONIAS	TÉRMINO DE COLONIZACIÓN	
	SUELO I	SUELO E
	H (cm)	H (cm)
1	645	636
2	598	577
3	550	535
4	476	457
5	395	360



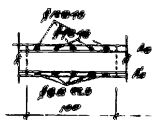
GERMAN



DETALLES DE APOYOS EXTREMOS

CORTA MORTAR AL EJE DEL DORSO

SECCIONES DE REFORZADO EN LA LOSA: (EN UN ANCHO UNITARIO).



$$A_2 = 36.79 \text{ cm}^2 \\ A_3 = 28.33 \text{ cm}^2$$

SECCION 1



$$A_2 = 52.09 \text{ cm}^2 \\ A_3 = 28.33 \text{ cm}^2$$

SECCION 2

$$A_2 = 48 \text{ cm}^2 \\ A_3 = 28 \text{ cm}^2$$

SECCION PROPIEDAD.

DEFINICION DEL MOMENTO DE INERCIA DE LA SECCION TRANSFORMADA Y ASIETADA DE UN ANCHO UNITARIO DE LOSA.

$$\therefore \frac{E_2}{E_3} = 8.4; \quad n A_2 = 400.8 \text{ cm}^2 \quad ; \quad (n-1) A_3 = 100.8 \text{ cm}^2$$

POSICION DEL EJE NEUTRO:

$$\Sigma M_{ez} = 0 \Rightarrow 400.8(66 - c) = 100 \cdot \frac{c^2}{8} + 100(c - 8.8)$$

$$\therefore c^2 + 11.76c - 349.176 = 0$$

$$\therefore c = 16.8 \text{ cm.}$$

Momento de inercia con respecto al eje neutro:

$$I_{eq} = \frac{100.8 \cdot 16.8^2}{8} + 400.8(66 - 16.8)^2 + 100(16.8 - 8.8)^2$$

$$I_{eq} = 1.162.176.4 \text{ cm}^4$$

viga simplemente apoyada en la rigidez de las columnas es des-
preciable, en comparación con la de la loma, d , como márgenes pla-
nos en estos contrafuertes.

Es evidente que tales idealizaciones son tan sólo approximacio-
nes basadas a la sencillez del problema y por lo tanto puede com-
probarse la seguridad de la estructura al no optimizar correcta-
mente las elementos nodulares en las secciones críticas.

Para obtener las dimensiones preliminares mostradas en las fi-
guras anteriores se recurrió al análisis de la loma como viga
sencilla, según se describió antes , obteniéndose los elementos ne-
odiales preliminares y suministrando el acero de refuerzo necesi-
ario en la loma y las columnas.

Estas dimensiones preliminares sirvieron de base para el anali-
sis y dimensionamiento de espesores en los elementos del mo-
le.

Como puede apreciarse en la figura 15d, elángulo de curvaja-
miento de la loma es de $61^{\circ}04'$ respecto a una normal
al eje longitudinal del puente y la dirección del curvajamiento
coincide con la del eje de la vía del ferrocarril. La justifi-
cación del curvaje se daba si se consideran los volúmenes de
materiales y mano de obra que se ahorrarán de este modo, lo cual
se refleja en el costo total de la estructura.

I.3 SOLICITACIONES EXTERNAS A LA ESTRUCTURA PROTOTIPO.

Se consideraron las cargas que actuarán permanentemente en -
la loma , para optimizar la intensidad de las acciones de trabajo—

tales como su peso propio , peso de la superficie de rodamiento (carpeta asfáltica), guarnición y paréntesis , obteniéndose los siguientes resultados:

ZONA CENTRAL:

- Losa maciza $h = 70 \text{ cm.} \Rightarrow 2.4 \times 0.70 = 1.68 \text{ ton/m}^2$
- Guarnición $(e = 3.0 \text{ cm.})$
 $\Rightarrow 1.6 \times 0.03 = 0.048 \text{ "}$
 $G.M. = \underline{\underline{1.73}} \text{ "}$

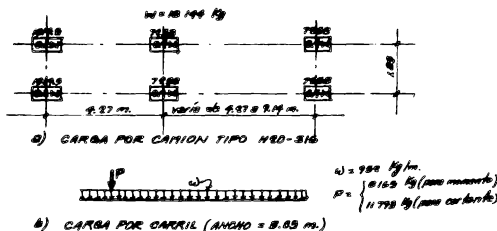
ZONA EXTREMA SIN CAMPANA ASFÁLTICA (ACORTEAMIENTO)

$$G.M. = 2.4 \times 0.70 = 1.68 \text{ ton/m}^2 \quad (\text{losa } h = 70 \text{ cm.})$$

ZONA DE BANQUETA

- Losa maciza $h = 70 \text{ cm.} \Rightarrow 2.4 \times 0.70 = 1.68 \text{ ton/m}^2$
 - guarnición $\Rightarrow 0.332 \text{ "}$
 - paréntesis $\Rightarrow 0.660 \text{ "}$
- $$G.M. = \underline{\underline{2.672}} \text{ "}$$

Para la carga viva se consideró la de un camión H.D.O. N.H.C. cuyas especificaciones de carga son las mostradas en la siguiente figura (según especificaciones A.S.E.E) :



La variación del clima entre ejes transversales se hace de tal modo que en una posición dada no predominan los esfuerzos admisibles.

Las cargas de carácter accidental tales como viento y sismo no influyen significativamente en este caso, por lo que no se considerarán.

Según las citadas especificaciones, para un puente de cuatro carriles de tránsito como el de este caso, se permite redondear la carga viva a un 75% de su valor total, considerando que es poco probable que se dé las condiciones más desfavorables de carga.

1.- MODELO FÍSICO.

En lo que sigue se presentará a grandes rasgos el procedimiento seguido para la obtención del modelo físico, poniendo especial énfasis en el análisis dimensional del mismo para garantizar que los exponentes de los miembros del modelo cumplen herméticamente con el comportamiento mecánico correspondiente al prototipo.

Se justifica la elección del material para fabricar el modelo, señalando algunas de sus características específicas y aquellas que lo hacen preferible a otros materiales.

2.1.- ELECCIÓN DEL MATERIAL PARA FABRICAR EL MODELO.

Dependiendo de la finalidad de prueba del modelo, pueden distinguirse dos grupos. Aquellos en los cuales interesa el comportamiento mecánico de uno ó mas de los elementos de la estructura ante cargas inferiores a la de ruptura, y aquellos en los que interesa conocer la capacidad resistente límite de la estructura.

En el primer caso se trata con modelos elásticos, pues el rango de prueba es el correspondiente al régimen elástico del material.

El segundo grupo se conoce como modelos directos, verdaderos, ó -

modelos a la falla, y para su fabricación debe utilizarse el mismo material de que está construido el prototipo.

Para la fabricación de modelos elásticos puede usarse cualquier material, con tal de que sea homogéneo, isotrópico y linealmente elástico, donde se satisfaga la ley de Hooke.

Los factores que afectan la elección de un material de este tipo son el costo, la facilidad de moldeo (trabajabilidad, estabilidad y rigidez).

De los materiales más comúnmente usados para fabricar modelos elásticos están el plástico acrílico y el acero. De estos el primero es el más ampliamente utilizado debido a su bajo costo, facilidad para formar diversas configuraciones y su bajo módulo de elasticidad, lo cual permite obtener deformaciones medibles ante pequeñas cargas, en comparación con las que se requieren para obtener las mismas deformaciones en el acero, donde su elevado módulo de elasticidad.

El plástico acrílico es muy influenciado por los cambios de temperatura, debido a su elevado coeficiente de dilatación térmica ($\approx 10^{-4} \text{ }^{\circ}\text{C}^{-1}$) que es aproximadamente 10 veces el del fierro, lo cual obliga a controlar el experimento rigurosamente en cuanto a las condiciones ambientales para evitar que las deformaciones por temperatura afecten los resultados del ensayo.

También el efecto del tiempo en la relación esfuerzo-deformación obliga a realizar las mediciones a intervalos de tiempo pequeños, para evitar el efecto de la flacidez excesiva del material.

Estos factores son dignos de considerarse siempre, ya que pueden falsear los resultados del estudio; No obstante, cuando se trabaja bajo condiciones muy severas de temperatura, es posible utilizar un factor de corrección, en el cual se asimilen tanto las deformaciones del material como las originadas en los extensómetros por efecto de la temperatura.

Además, el plástico es fácil de cortar, con las herramientas comunes - para el corte de madera, y sus piezas son fácilmente unidas mediante adhesivos especiales.

Un serio inconveniente del plástico para utilizarlo en la construcción de modelos de prototipos de concreto reforzado es su elevado módulo de Poisson ($\nu = 0.25 - 0.40$), por lo que se debe tener especial cuidado en la interpretación de los resultados cuando este factor influya.

En estructuras lineales, sometidas únicamente al efecto de flexión, el módulo de Poisson no influye, de tal modo que no es necesario considerarlo en los cálculos.

Por las anteriores consideraciones se adoptó el plástico acrílico como material para construir el modelo.

2.2 ANÁLISIS DIMENSIONAL

El análisis dimensional es una herramienta que uniformiza los sistemas de medida, pues solo utiliza las cantidades fundamentales tales como fuerza, longitud y tiempo.

Este es importante, pues al expresar todos los términos de una ecuación en forma dimensional es posible distinguir cuáles son las variables que más influyen en el fenómeno.

No se deducen equívocamente las expresiones básicas del análisis dimensional aplicado a modelos, para ello pueden consultarse cualquiera de las obras que aparecen en la bibliografía.

Considerando un sistema isotrópico, homogéneo y linealmente elástico, de geometría determinada y sujeto a cargas externas dadas, el esfuerzo en las fibras del material de los miembros puede expresarse como:

$$\sigma' = f (P, M, L, \nu)$$

Y cualquier componente M de la deflexión:

$$\Delta = f (P, M, L, E, \nu)$$

E = Módulo de elasticidad

207

- dónde; F_p = Fuerza actuante
 M_p = Momento actuante
 L_p = Longitud del miembro
 ν_p = Módulo de poisson

El análisis dimensional de estas expresiones da:

$$G_p = \frac{F_p}{L_p^2} \cdot \epsilon_2 \left(\frac{F_p}{M_p}, \frac{L_p}{L_p} + \nu_p \right) ; \quad M_p = \frac{F_p}{L_p} \cdot \epsilon_2 \left(\frac{F_p}{M_p}, \frac{L_p}{L_p}, \nu_p \right)$$

donde todos los contenidos son adimensionales y representan términos -
'V' de Buckingham.

De este modo, se tiene para el prototípico:

$$G_p = \frac{F_p}{L_p^2} \cdot \epsilon_2 \left(\frac{F_p}{M_p}, \frac{L_p}{L_p} + \nu_p \right) ; \quad M_p = \frac{F_p}{L_p} \cdot \epsilon_2 \left(\frac{F_p}{M_p}, \frac{L_p}{L_p}, \nu_p \right).$$

Y para el modelo:

$$G_m = \frac{F_m}{L_m^2} \cdot \epsilon_2 \left(\frac{F_m}{M_m}, \frac{L_m}{L_m} + \nu_m \right) ; \quad M_m = \frac{F_m}{L_m} \cdot \epsilon_2 \left(\frac{F_m}{M_m}, \frac{L_m}{L_m}, \nu_m \right).$$

La semejanza dimensional entre el modelo y el prototípico exige que -
cada uno de los términos 'V' del prototípico sea igual al correspondiente -
en el modelo, es decir: $V_p = V_m$, por lo que:

$$1.- \frac{F_p}{F_m} \cdot \frac{L_p^2}{L_m^2} = \frac{F_p}{F_m} \cdot L_p^2 \quad \& \quad \frac{\epsilon_2(F_p)}{\epsilon_2(F_m)} = \frac{L_p^2}{L_m^2} \quad \& \text{también:}$$

$$\frac{F_p}{F_m} = \frac{\epsilon_2(F_p)}{\epsilon_2(F_m)} \quad \longrightarrow \quad (A)$$

$$2.- \frac{F_p}{F_m} \cdot \frac{L_p}{L_m} = \frac{F_p}{F_m} \cdot \frac{L_p}{L_m} \quad \& \quad (B)$$

$$3.- \nu_p = \nu_m \quad \longrightarrow \quad (C)$$

De la relación (A) puede obtenerse directamente la escala de
fuerzas (2) mediante la siguiente expresión:

$$\frac{F_p}{F_m} = \frac{\frac{F_p}{L_p^2}}{\frac{F_m}{L_m^2}} \quad \longrightarrow \quad (D)$$

La relación (6) indica que los módulos de Poisson de los materiales del modelo y del prototípico deben ser iguales; sin embargo, puede omitirse esta condición cuando la influencia de este factor no sea significativa, como en estructuras articuladas y marcos planos no sujetos a torsión.

Se requiere indispensable para la similitud flexamente entre el modelo y el prototípico garantizar que la rigidez de cualquiera de los elementos del modelo sea similar a la del prototípico, expresándose dicha similitud en función de un factor de predicción llamado escala de rígideces.

Es importante notar que este hecho es precisamente lo que hace la diferencia entre un modelo de cualquier estructura y una maqueta de la misma, ya que en la segunda la preocupación fundamental es reproducir rigurosamente a escala las dimensiones con el objeto de apreciar las características estáticas y de funcionalidad, en contraste con un modelo físico, el cual está destinado a probarse y obtener de este modo resultados concernientes a su comportamiento ante cargas y cuya interpretación puede aplicarse para diseñar adecuadamente el prototípico.

Debido a esto, es de gran importancia que la rigidez de los elementos integrantes del modelo esté en la misma proporción que en los del prototípico, pues de esto depende que la distribución de esfuerzos en los miembros de ambos sistemas sea similar.

Lo anterior se puede lograr si se procura que los momentos de inercia con respecto al eje neutro de los elementos estructurales del prototípico y del modelo sean similares, de tal modo que se cumpla con la escala de rigideces en secciones homólogas de los dos sistemas.

No obstante, cuando no es posible cumplir con lo anterior, pueden usarse espesores de los miembros diferentes de los requeridos por la escala de rigideces, teniendo cuidado de aplicar factores de corrección adecuados para interpretar los resultados obtenidos de este tipo de modelos, los cuales reciben el nombre de modelos distorsionados.

Para el análisis dimensional de una estructura como la de este caso en que el esfuerzo predominante es el de flexión, debe establecerse la igualdad : $\frac{F_p}{F_m} = \frac{\epsilon_p}{\epsilon_m}$, donde los subíndices p y m se refieren al prototipo y al modelo respectivamente.

Estableciendo la siguiente ecuación :

$$\frac{F_p}{F_m} = \epsilon_m \cdot \text{escala de elasticidad}.$$

$$\frac{F_p}{F_m} \cdot \gamma = \epsilon_m \cdot \text{fuerza}.$$

$$\frac{F_p}{F_m} \cdot \lambda = \epsilon_m \cdot \text{largo}.$$

La escala de fuerzas puede expresarse como:

$$\gamma = \alpha \lambda^2$$

En base a consideraciones de simplicidad, dispositivos disponibles para la aplicación de cargas y dimensiones generales, se consideró práctico adoptar una escala para el modelo de $\frac{1}{10} = \frac{1}{100}$ ó 10%, con lo cual se garantiza que las dimensiones del modelo son proporcionales.

A continuación se presentan las propiedades mecánicas de los materiales del prototipo y del modelo :

MATERIAL	PROTOTIPO	MODELO
	concreto f _c = 400 kg/cm ² largo de refuerzo : f _r = 4000 kg/cm ²	Mármol certificado f _c = 1000 kg/cm ² f _r = 3500 kg/cm ²
MATERIAL DE ESTÁNDAR	Epoxyado Vf = 15000 kg/cm ²	Epo = Epoxy Adher. (E)
REFUERZO ARMADO	f _r = 40.1716	f _r = 4.00

a Debido a la variabilidad de las propiedades mecánicas del plástico armado proveniente de diferentes lotes (a pesar del control de calidad), es necesario ensayar probetas del material para conocer el módulo de elasticidad que deberá usarse en el análisis.

En este caso se obtuvo el módulo de elasticidad ensayando una serie de cinco probetas instrumentadas con extensómetros uni-axiales.

Para cumplir con la similitud plásticamente es necesario que las propiedades de deformación de la estructura del prototipo y la del modelo sean similares, esto es, las deformaciones del prototipo deben expresarse en función de las del modelo en puntos homólogos mediante -

un factor de escala.

El hecho de que las deformaciones de una estructura dependan de sus esfuerzos internos, hace que dos estructuras similares soporten esfuerzos tambien similares en puntos homologos.

ESCALA DE FUERZAS.

De la relacion inicial $\frac{E_p}{E_m} = \frac{I_p}{I_m} (\Gamma \approx -)$ $\frac{F_p}{F_m} \frac{I_p}{I_m} \text{ kg}^{-2}/\text{kg} \text{ cm}^{-2} = -\frac{F_p}{F_m}$ pose las dimensiones del esfuerzo (σ') son kg^{-2} .

Como ya se establecio:

$F_p/F_m = \varphi$ = escala de fuerzas

$I_p/I_m = \lambda$ = escala de lineas . $\Rightarrow \varphi = -\frac{F_p}{F_m} \lambda^2$

Substituyendo $F_p = 237\ 000 \text{ kg/cm}^2$, $F_m = 34\ 000 \text{ kg/cm}^2$ y $\lambda = 100$,

$$\varphi = 69\ 705.9$$

ESCALA DE RIGIDEZES

La rigidez a flexion de la linea se puede expresar, segun la teoria de placas como:

$$r = \frac{\frac{E h^3}{12(1-\nu^2)}}{\frac{I}{1-\nu^2}} = \frac{E I}{1-\nu^2} \quad (\text{considerando un ancho unitario})$$

La rigidez a flexion del prototipo y del modelo son por tanto:

$$r_p = \frac{E_p I_p}{I_p (1-\nu_p^2)} \quad ; \quad r_m = \frac{E_m I_m}{I_m (1-\nu_m^2)}$$

Si la escala de rigidezes se denota por (ψ), tal que $\psi = \frac{r_p}{r_m}$

$$\psi = \frac{\frac{E_p I_p}{I_p (1-\nu_p^2)}}{\frac{E_m I_m}{I_m (1-\nu_m^2)}} = \frac{E_p I_p (1-\nu_m^2) L_m}{E_m I_m (1-\nu_p^2) L_p}$$

y expresando en terminos de las cantidades fundamentales:

$$\psi = \frac{F_p I_p^2 L_m}{F_m I_m^2 L_p} \left(\frac{1-\nu_m^2}{1-\nu_p^2} \right) = \varphi \lambda \left(\frac{1-\nu_m^2}{1-\nu_p^2} \right)$$

- Sabiendo que : ψ_m = módulo de peinamiento del plástico acrílico = 0.40
 ψ_p = módulo de peinamiento del concreto = 0.17

$$\psi = 69.706 \times 300 \left(\frac{1-0.4^2}{1-0.1716^2} \right) = 6.033 \times 10^6$$

2.3. OBTENCIÓN DE ESTRUCTURAS DE ELEMENTOS DEL MODELO

De la escala de rigideces para la leva se obtiene:

$$\frac{I_m}{I_p} = \frac{B_p I_p (1 - \lambda^2) I_m}{B_m I_m (1 - \lambda^2) I_p} = \frac{237.000 (1 - \lambda^2)^2 I_p}{6.033 \times 10^6 \times 34.000 (1 - 0.1716^2) I_m} = \frac{1}{1.180^4} I_p$$

Puede demostrarse que el momento de inercia que debe tener una sección cualquiera del modelo con respecto a su eje neutro es proporcional a $\frac{1}{\lambda^4}$ I_p , ya que $I_p/I_m = \lambda^4$.

El momento de inercia de la sección (promedio) transformada y agrandada del prototípico vale: $I_p = 1162176.4 \text{ cm}^4$; por lo que para el modelo se tiene: $I_m = \lambda^4 I_p = 0.01162 \text{ cm}^4$

De que este momento de inercia es representativo de una sección de sección unitaria(en el prototípico $b = 100 \text{ cm.}$, en el modelo $b = 1.0 \text{ cm.}$)

$$I_m = I \times \text{mm}^3 / 12 \rightarrow I_m = \sqrt[3]{12 \times 0.01162 / 2} = 0.518 \text{ cm.}$$

De que el espesor de la placa de plástico acrílico requerido para representar la leva del prototípico es de 5.0 mm. en el modelo.

Para las columnas se procede de manera similar;

escala de rigideces flexionantes: $\psi = r_p / r_m$.

$$\psi = \frac{4 B_p I_p}{L_p^3} / \frac{4 B_m I_m}{L_m^3} = \frac{4 B_p I_p L_m}{4 B_m I_m L_p^3} = \frac{B_p L_p^{-2} I_p^4 I_m}{B_m I_m^{-2} L_p^4 L_p} = \varphi \lambda^4 \lambda^4 = \varphi \lambda$$

Sabiendo que: \sqrt{m} = módulo de poisson del plástico acrílico = 0.40
 V_p = módulo de poisson del concreto = 0.27

$$\Psi = 69.706 \times 100 \left(\frac{1-0.4^2}{1-0.1716^2} \right) = 6.033 \times 10^6$$

3.3. PROPORCIÓN DE SECCIÓNES DE ELEMENTOS DEL MODELO

De la ecuación de rigideces para la leva se obtiene:

$$I_m = \frac{B_p I_p (1 - \sqrt{\lambda^2}) I_m}{I_p + I_m \ln(1 - \sqrt{\lambda^2})} = \frac{237.000 (1 - 0.4^2) I_p}{6.033 \times 10^6 \times 237.000 (1 - 0.1716^2)} = 1.162 \times 10^{-6} I_p$$

Puede demostrarse que el momento de inercia que debe tener una sección cualquiera del modelo con respecto a su eje neutro es proporcional a $\frac{1}{\lambda^4}$, ya que $I_p/I_m = \lambda^4$.

El momento de inercia de la sección (promedio) transformada y agrandada del prototípico vale: $I_p = 1162176.4 \text{ cm}^4$, por lo que para el modelo se tiene: $I_m = 1.162 \times 10^{-6} I_p = 0.01162 \text{ cm}^4$

Ya que este momento de inercia es representativo de una sección de ancho unitario (en el prototípico $b = 100 \text{ cm.}$, en el modelo $b = 1.0 \text{ cm.}$)

$$I_m = 1 \times b m^3 / 12 \rightarrow b m = \sqrt[3]{12 \times 0.01162 / 3} = 0.518 \text{ cm.}$$

Por lo que el espesor de la placa de plástico acrílico requerido para representar la leva del prototípico es de 5.0 mm. en el modelo.

Para las columnas se procede de manera similar:

ecuación de rigideces flexionantes: $\Psi = r_y / r_s$.

$$\Psi = \frac{4 B_p I_p}{V_p} / \frac{4 B_m I_m}{V_m} = \frac{4 B_p I_p I_m}{4 B_m I_m I_p} = \frac{B_p I_p^2 I_m^2}{B_m I_m^2 I_p} = \varphi \lambda^2 \lambda^2 = \varphi \lambda^4$$

el momento de inercia de una barra de sección circular de plástico acrílico que deberá representar en el modelo las columnas del prototípico es:

$$\frac{I_p \cdot I_p \cdot I_p}{\frac{\rho \lambda \cdot I_p}{\rho \lambda}} = \frac{\rho \lambda^2 \lambda^4}{\rho \lambda} I_p = \lambda^4 I_p = 100^{-4} I_p$$

El momento de inercia de la sección transformada y agrietada del prototípico vale: $I_p = 734.244.5 \text{ cm}^4$, por lo que:

$$I_m = 1 \times 10^{-4} I_p = 0.00734244 \text{ cm}^4. \quad (= V \lambda^4 / 64)$$

$$\Rightarrow 4 \sqrt[4]{64 I_m / \lambda} = \sqrt[4]{64 \times 0.00734244 / \lambda} = 0.634 \text{ cm.} = 6.34 \text{ mm.}$$



En los cálculos anteriores se han considerado las secciones transformadas y agrietadas de los miembros, para obtener los momentos de inercia de los mismos y a partir de estos los necesarios para los elementos del modelo. Esto es debido a que en condiciones de servicio los esfuerzos de tensión en el concreto tenderán a agrietar las fibras en esta zona pues el concreto no resiste tensiones y al considerar trabajando exclusivamente la zona de compresión en el concreto, se reduce el momento de inercia de la sección transversal de los miembros con respecto al eje neutro, con lo cual se suministra un espesor menor de plástico acrílico al modelo por ser constante la escala de rigididad.

Con esto se obtiene un factor de seguridad adicional, pues la deflexión de una estructura depende de su rigidez y ésta, del momento de inercia y de la longitud de los miembros cuando los demás factores se mantienen constantes.

En caso de no hacer esto y considerar secciones brutas, podría cometerse el error de suministrar un espesor mayor a los elementos del modelo, con lo cual, al hacer la interpretación de los resultados se consideraría satisfactorio el comportamiento del modelo ante———

las cargas actuantes, lo que en realidad resulta falso, pues el concreto trabaja con una sección efectiva cuando se ha rebasado su resistencia a la tensión y se presentan grietas.

De cualquier modo, se obtiene un factor de seguridad adicional al considerar la sección transformada y agrietada cuando se trate con prototípico concreto reforzado.

2.4 - FABRICACION Y MONTAJE DEL MODELO

Las dimensiones generales del modelo deben estar relacionadas con las del prototípico mediante el factor de escala de líneas ($\lambda=1/50$), por lo que cualquier dimensión del prototípico dividida por λ es la correspondiente al modelo (excepto espesores).

Los espesores de los elementos del modelo están calculados en función de la escala de rigideces, de tal modo que se cumpla en cualquier sección del elemento con esta condición.

Ya que el objetivo fundamental de este estudio es determinar el estado de esfuerzos en la loca, se ha considerado este elemento como principal y se han reproducido a escala sus dimensiones generales, así como se ha procurado mantener la rigidez relativa de las columnas, garantizando de esta manera una distribución homóloga de esfuerzos en el modelo con respecto al prototípico.

En los demás elementos tales como estribos y sayatas, debido a la dificultad práctica que enfrenta su reproducción a escala, sólo se han considerado las características más sobresalientes relativas a su funcionamiento estructural como miembros de la estructura general.

Es por este motivo que se practicaron ranuras en los elementos que simulan los apoyos extremos de la estructura; una ranura para el apoyo fijo y dos ranuras para simular el apoyo móvil, con el objeto de dar aproximadamente las condiciones de frontera de la estructura prototípico.. En el campo de los modelos físicos de estructuras puentes , el procedimiento anterior para simular los apoyos extremos, es -

comúnmente usado y tiene posiblemente sus orígenes en el funcionamiento de las articulaciones plásticas utilizadas en estructuras de concreto reforzado y preestirado y cuya finalidad es provocar deliberadamente -cargas de sobrecarga.

Se ha comprendido mediante numerosos estudios sobre modelos de puentes que con este procedimiento se logran aproximadamente los mismos efectos que en la estructura prototípico mediante los apoyos extremos, a saber, una relajación e amortiguamiento del estiramiento de esfuerzos en las fronteras de la estructura.

Ya que se está trabajando en el rango elástico, las anteriores libertades están permitidas y dependiendo del objetivo del estudio puede considerarse dañamente al elemento de fundición para probar su aptitud resistente ante carga, pero evitando siempre de proporcionar al mismo las condiciones de bordo similares a las que existen en el prototípico.

Es importante notar que en modelos a la escala, a diferencia de los modelos elásticos no se permiten algunas libertades, ya que se introducen errores apreciables si se trata de obtener la capacidad resistente dada de la estructura, motivo por el cual en estos tipos de modelos se deben cumplir rigurosamente en cada una de las partes de la estructura las características de dimensiones geométricas y medidas.

El plástico servilino es un material fácil de manejar y cortar; por medio de una clara medida se cortan fácilmente las piezas de la geometría requerida, previamente trazada sobre la lámina del material; de este modo se obtiene la pieza de plástico que representa el modelo de la liga de concreto reforzado.

Se practicarán taladros en cada uno de los puntos de unión de las barras de sección circular representativas de las columnas, y la loma. El diámetro de los taladros es tal que permite la introducción de la barra circular y el adhesivo de alta resistencia usado, garantizando de este modo que se forme un nudo en cada punto de intersección al quedar sujetados en la placa las barras, a la vez que se cumplen las condiciones de continuidad de la estructura prototípico.

Una vez cortadas y lijadas las asperasas del corte en cada una de las

las piezas, se procedió a ensamblarlas cuidadosamente en posición correcta y alineada, usando para tal fin adhesivo de alta resistencia especial para unir plásticos (Pegacril Extra).

Se fabricó una mesa para colocar el modelo, y montar el dispositivo - para aplicar las cargas.

Los detalles de construcción y montaje del modelo pueden apreciarse - en el plano EM-1 ; en el plano EM-2 se puede observar que en la placa que simula a la losa del puente se ha trazado una retícula cuyas dimensiones - se indican. El objetivo de esta retícula es proporcionar un sistema de - referencia de cada uno de los puntos de intersección, mismos en los que - se colocará sucesivamente la carga de prueba para obtener las superficies de influencia que se muestran mas adelante.

En este plano, EM-2, se muestran también los puntos elegidos para ser instrumentados con rosetas de extensómetros de resistencia eléctrica (STRAIN GAGES), cada uno de los puntos es representativo de zonas críticas de la estructura, habiéndose instrumentado sólo la mitad de la placa por considerar un eje de simetría paralelo al sentido del esvajido y que pasa por el punto medio .

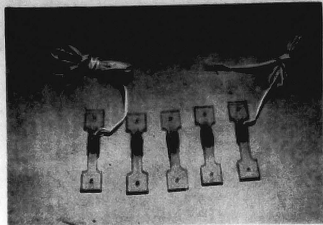


Fig. 2.4- a - Fotografía de las cinco probetas instrumentadas con extensómetros uni-axiales para la determinación del módulo de elasticidad del plástico acrílico.

En este punto se detallan en primer lugar las características de los extensómetros eléctricos de resistencia utilizados para instrumentar el modelo y se destaca la importancia que reviste una adecuada instrumentación para la determinación de las componentes de deformación en la estructura, mismas que serán utilizadas para obtener los elementos necesarios actuantes. Se describen además algunas características generales de los tipos de extensómetros más frecuentemente usados en Ingeniería experimental.

Más adelante se describe el instrumento utilizado para la aplicación de la carga de prueba.

La prueba del modelo es la parte fundamental del proceso de análisis por medio de modelos físicos, pues de una correcta planeación del experimento, así como de la consistencia de las lecturas obtenidas depende la confiabilidad y validez de los resultados extrapolados al prototípico. Es por esto que cualquier error cometido en la etapa de prueba del modelo puede traer como consecuencia gran incertidumbre en lo que se refiere a la interpretación de los resultados del experimento.

Deben preverse además todos aquellos elementos del medio ambiente que puedan influir en el ensayo, con el objeto de disponer de factores de corrección adecuados en caso de que estos sean necesarios; por lo anterior, es posible desir que un estricto control sobre las condiciones del ensayo es necesario a fin de obtener los resultados buscados... .

3.1 INSTRUMENTACION

La determinación del estado de esfuerzos en un elemento estructural sujeto a esfuerzos debidos a cargas actuantes puede obtenerse si se conocen las características de la relación esfuerzo-deformación del material del elemento. En el rango elástico, donde la proporcionalidad de la Ley de Hooke se cumple, tales esfuerzos pueden deducirse directamente de las deformaciones medidas, en virtud de la correspondencia existente entre esfuerzos y deformaciones, y por la misma razón, éstos pueden ser obtenidos a partir del conocimiento del estado de esfuerzos en la sección de interés.

En el análisis experimental del problema, uno de ambos elementos de-

30/

ben obtenerse a partir de mediciones realizadas directamente en el elemento estructural ó en un modelo de él reducido a escala .

El procedimiento más comúnmente usado es el de obtener experimentalmente las deformaciones y a partir de ellas los correspondientes elementos mecánicos actuantes, tales como: momento flexionante, fuerza constante, torsión ,etc. los cuales son utilizados para diseñar adecuadamente el elemento.

Como quiera que sea ,el instrumento utilizado para determinar el efecto buscado debe ser tal que proporcione lecturas confiables, lo cual exige que su implemento sensible se relacione ante otras acciones diferentes a aquella que produce el efecto a medir; es decir, no debe ser significativa la influencia que sobre el instrumento ejercen factores tales como las condiciones del medio ambiente (temperatura, humedad, vibraciones,etc.).Además ,el instrumento debe ser fácil de colocar y leer, por lo que debe ser adaptable por sí mismo ó mediante otros aditamentos a las condiciones en que va a ser usado ,sin ofrecer dificultad práctica de montaje y sin obstruir con dato el adecuado funcionamiento de la unidad sensible.

Existe una gran variedad de dispositivos utilizados para medir deformaciones, distinguiéndose principalmente dos tipos de ellos en cuanto a principio de funcionamiento: mecánicos y eléctricos .

El objetivo fundamental buscando al usar uno u otro tipo es el de lograr una ampliación de la deformación, de tal modo que ésta pueda ser medida , por lo cual la sensibilidad del instrumento de medida debe ser tal que registro deformaciones cuya orden de magnitud pueda considerarse despreciable para los fines prácticos normales.

Los instrumentos de medida de deformaciones cuyo principio de funcionamiento es mecánico, utilizan una serie de engranajes y palancas para lograr la ampliación de la deformación a medir. Dentro de este grupo pueden incluirse los deformímetros ópticos, los cuales utilizan un sistema de espejos.

Los deformímetros eléctricos reciben el nombre genérico de STRAIN METER, y pueden ser de resistencia, de inducción ó de capacidad, según sea el principio eléctrico que utilicen en su funcionamiento.

En cada uno de estos se convierte un pequeño cambio de longitud en un cambio de resistencia, capacidad, ó inducción equivalente; El uso de tales instrumentos proporciona medios de medida y registro del fenómeno de deformación traducido a uno eléctrico análogo..

En los extensómetros electro-acústicos se utilizan principios físicos bien conocidos, tales como la vibración de una cuerda al ser tensada por una pequeña deformación, y los efectos que esto causa en un electrónido sellarse, el cual transmite los impulsos recibidos a un aparato de recepción que contiene una cuerda vibrante patrón y un electroimán similar al emisor.

Las vibraciones de ambas cuerdas pueden superponerse y defasearse por medio del control de tensión sobre la cuerda patrón . Ambas vibraciones se conectan a un amplificador de sonido y / ó a un tubo de rayos catódicos para poder controlar acústica y ópticamente el desfaseamiento de los movimientos ondulatorios de ambas cuerdas.

Conociendo los nodos fundamentales de vibración del material de la cuerda es posible determinar la tensión que ésta experimenta y a partir de este el cambio de longitud de la misma que provoca la vibración dada . Este cambio de longitud es el mismo que experimenta el elemento estructural entre las pautas de apoyo de la cuerda vibrante..

El criterio para seleccionar una instrumentación adecuada para medir deformaciones depende de factores tales como : la sensibilidad del instrumento, ampliación de la deformación, confiabilidad de lectura, medio ambiente del lugar de ensayo , y facilidad de adaptación al elemento de prueba . Bajo estos factores , los extensómetros eléctricos de resistencia son generalmente utilizados por su versatilidad, aún cuando sean fácilmente influidos por los cambios de temperatura ambiente.

Los extensómetros eléctricos de resistencia basan su principio de funcionamiento en el cambio de resistencia eléctrica que experimenta un conductor al cambiar su longitud. Esto es debido a que la resistencia ---

de un conductor es directamente proporcional a la resistividad y a la longitud del mismo e inversamente proporcional a su área transversal.

Al tensar el conductor su longitud aumenta, mientras que por el efecto de poisson el área transversal disminuye proporcionalmente.

Ya que la resistividad es una propiedad del material del conductor, ésta no cambia al ser tensado y por lo tanto se sigue que el aumento de resistencia en el conductor proviene de dos fuentes: de la disminución del área transversal y del incremento de longitud que experimenta el filamento sensible; De este modo es posible establecer una relación entre el incremento de longitud y la variación de resistencia eléctrica, que se conoce como comensurabilidad de deformación o "GAGE FACTOR" (F)

$$\text{Junto } \frac{\Delta R/R}{\Delta L/L} = \frac{\Delta R}{\Delta L} \Rightarrow \frac{\Delta L}{\Delta R} = \frac{\Delta L}{\Delta R} = F$$

Supongamos la resistencia base (R) del material del extensómetro antes de aplicar deformación alguna, se puede obtener la resistencia correspondiente a un estado de deformación cualquiera. La diferencia entre estos dos valores nos da el incremento de resistencia (ΔR);

El término $\Delta L/L$ es la deformación unitaria del elemento deformado.

Se nota inmediatamente que conociendo el factor de comensurabilidad de deformación (F) de cada extensómetro específico, se puede determinar las deformaciones unitarias (F) en el elemento de interés.

Es decir, los "STRAHL GAGES" nos permiten obtener exclusivamente las deformaciones májimas más no la deformación absoluta.

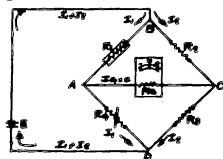
La relación ($\Delta R / F \Delta L$) involucra en el denominador la cantidad ΔL que es la diferencia entre la longitud inicial del filamento sensible y la longitud final posterior a la deformación inducida por el sistema de cargas que actúa sobre la estructura.

La cantidad (L) es la longitud base del filamento, denominada Jugo del extensómetro y junto con el "GAGE FACTOR" son proporcionadas por el fabricante.

De esta manera resulta sencillo determinar las deformaciones unitarias mediante la expresión: $\epsilon = \Delta R/R_0$

Siendo tan sólo necesario registrar las variaciones de resistencia, el problema recide en utilizar un dispositivo lo suficientemente sensible como para medir tan pequeñas variaciones. Mediante el circuito eléctrico conocido como "PUENTE DE BRIDGE", ampliamente usado en electrónica, el problema se resuelve satisfactoriamente.

El diagrama esquemático de este circuito se muestra en la siguiente figura:



E_0 = Fuente de energía.
 E_0, R_0 = Corriente y resistencia a través del galvanómetro.

R_1 = Resistencia de un extensímetro colocado en la pieza de prueba.

R_2, R_3 = Resistencias conocidas
 R_4 = Resistencia variable.

Cuando el puente está balanceado, no fluye corriente a través del galvanómetro, lo cual indica que no existe diferencia de potencial entre A y C, ($V_{AC} = 0$), esto significa que el voltaje en A es igual al voltaje en C ($V_A = V_C$).

De acuerdo con la ley de ohm, ($V = IR$):

$$\frac{V_0}{R_0} = \frac{V_0}{R_1}; \quad V_0 = I_0 R_0; \quad \rightarrow \frac{E_0}{R_0} = \frac{I_0 R_0}{R_1} \rightarrow \textcircled{1}$$

y del mismo modo: $\frac{V_0}{R_0} = \frac{V_0}{R_3}; \quad \text{de } \textcircled{1} \quad \frac{E_0}{R_0} = \frac{R_0}{R_1}; \quad \text{de } \textcircled{2} \quad \frac{E_0}{R_0} = \frac{R_0}{R_3} \rightarrow \frac{R_0}{R_1} = \frac{R_0}{R_3}$

$$\therefore \frac{R_1}{R_3} = \frac{R_0}{R_0}; \quad \text{y de donde: } R_1 = \frac{R_0}{R_3} R_3$$

con lo cual queda expresada la resistencia que se desea medir en función de las resistencias conocidas y de la resistencia variable que puede ser ajustada. La resistencia variable (R_4) está calibrada en términos de milímetros, de tal modo que ajustándola antes y después de la deformación, se puede obtener la deformación unitaria neta experimentada por el extensímetro R_1 , y con ella la correspondiente a la pieza de ensayo.

La resistencia (R_4) se ajusta mediante un botón de control en el aparato indicador de deformaciones.

Una selección adecuada de los "SEALIN GAGES" permite obtener directamente los elementos mecánicos deseados (momentos flexionantes, torques y fuerzas cortantes) .

Cuando interesa conocer el estado de esfuerzos existente en un medio continuo tridimensional ó plano se utilizan grupos de extensómetros ligados al punto de interés que reciben el nombre de rosetas .

Para un medio continuo tridimensional (masina) es suficiente utilizar grupos de seis extensómetros colocados según las direcciones de las aristas de un tetraedro equilátero , ya que con seis las componentes de deformación en un punto del masina.

En estructuras planas las componentes de deformación son tres, por lo que es necesario utilizar rosetas de tres extensómetros, colocados dos de ellos sobre ejes perpendiculares y el tercero sobre un eje --- orientado a 45° ó 60° . Este montaje es suficiente para obtener mediante lectura de la variancia de resistencia de los extensómetros , - las componentes de deformación , y mediante la utilización del círculo de Mohr , las deformaciones principales .

En este caso, para instrumentar la placa representativa de la localización del punto , se utilizan rosetas de extensómetros en estrella (tercer extensómetro a 45°) , tomando como líneas de referencia la dirección del ensamblaje .

Se procedió al montaje de las rosetas en los puntos elegidos siguiendo la siguiente secuencia :

1.- Se procuró una superficie limpia por medio de una lija sobre la superficie de la placa en cada punto de contacto ..

2.- Se limpió cuidadosamente todo residuo de polvo y grasa con alcohol aplicándolo con algodón limpio .

3.- Se trazaron con tinta atómica los ejes sobre la placa en cada punto instrumentado para orientar adecuadamente la posición de las rosetas .

4.- Se colocaron en posición las rosetas haciendo coincidir los ejes previamente trazados, con el eje de cada extensómetro de la roseta . Esto se llevó a cabo por medio de cinta adhesiva transparente.

5.- Proporcionamiento del adhesivo. Se utilizó una proporción de un grano de pegamento de resina epóxica mezclado con tres gotas de elemento endurecedor .

Se dejó reposar la mezcla durante cinco minutos ; posteriormente se aplicó este adhesivo a cada una de las rosetas levantando la película de cinta adhesiva por un extremo y volviéndola a su posición una vez aplicado el pegamento .

6.- Aplicación de presión de 1 Kg/cm^2 aproximadamente en cada roseta para asegurar una adherida adecuada entre el plástico acrílico y el material de la base de la roseta (EPOXI- FENOL).

Una vez pegadas todas las rosetas se dejaron reposar en esta situación durante 24 hrs. cuando los excesos se retiró la presión y la tira de cinta adhesiva .

El procedimiento descrito se muestra gráficamente en las siguientes figuras :



FIG. 3 - PREPARACION DE LA SUPERFICIE PARA PEGAR.
SEGUNDO.



FIG. 3.1-b SE COLOCAN EN POSICION LAS ROSETAS MEDIANTE CINTA ADHESIVA TRANSPARENTE.



FIG. 3.1-c PREPARACION DEL ADHESIVO.



FIG. 3-1-4 APLICACION DEL ADHESIVO EN LA SUPERFICIE DE CONTACTO.



FIG. 3-1-5 APLICACION DE PRESION. ($\approx 1 \text{ kg/cm}^2$).

Con el objeto de evitar lo mejor posible la influencia de los factores del medio ambiente tales como la temperatura y la humedad, se utilizarán extensómetros adicionales fijados en una pieza del mismo material que el metal, pero no exponentes a deformación alguna influida externamente.

En este caso se utilizarán dos resistencias iguales que las colocadas en el modelo, para que compensen los factores ambientales citados, a la vez que constituyan uno de los brazos del puente de Wheatstone y juntarse con los extensómetros activos cierran el circuito.

Ya que en total son 54 los extensómetros activos, cada uno de los seis extensómetros compensadores se utilizará un total de nueve veces en el transcurso de la prueba, lo cual garantiza que cumplirán satisfactoriamente su labor compensadora pues uno de ellos compensa una vez y se vuelve a comparar hasta que han pasado los otros cinco y le corresponda nuevamente su turno.

Para conectar los grupos de extensómetros a los commutadores se utilizará alambre multifilar calibre 32, soldando cuidadosamente en cada caso un extremo del alambre a la salida del extensómetro correspondiente y dejando libre el otro extremo para conectarlo al commutador.

El proceso de alambrado es bastante delicado, ya que cualquier desprendimiento al soldar las salidas de los extensómetros al alambre, puede provocar que se dañe la parrilla sensible, con lo cual queda inutilizado ese elemento.

Debido a la imposibilidad de conectar directamente al indicador de deformaciones, es necesario utilizar un sistema que transfiera, es decir, que comunique un extensómetro cada vez al indicador para efectuar la lectura correspondiente.

En este caso se utilizaron dos commutadores marca KYUA modelo 20 - 248, de 24 canales cada uno.



FIG. 3.1-5 ALAMBRADO DE ROSETAS AL COMUTADOR.



FIG. 3.1-6 VISTA DE ROSETAS ALAMBRADAS.

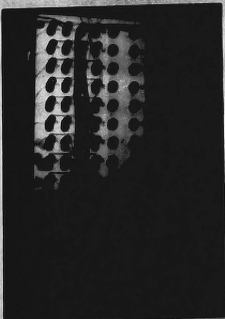


FIG. 3.1-h
VISTA DETALLADA DE UNO DE LOS
COMUTADORES EMPLEADOS.
SE PUEDE APRECIAR LA CONEXION
DEL ALAMBRADO YA TERMINADA.



FIG. 3.1-i VISTA DEL INDIC-
ADOR DE DEFORMACIONES.

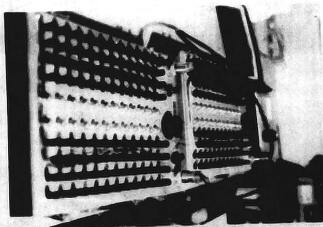


FIG. 3.1-1 VISTA DE LOS DOS COMUTADORES EMPLEADOS.
SE PUEDEN OBSERVAR LAS CONEXIONES TERMINADAS.



FIG. 3.1-2. VISTA SUPERIOR DEL MODELO. SE PUEDE APRECIAR
LA PLACA EN LA QUE SE MONTARON LAS DOS ROSETAS
PARA COMPENSAR LOS CAMBIOS DE TEMPERATURA.



FIG. 3.1-a VISTA LATERAL DEL MODELO.

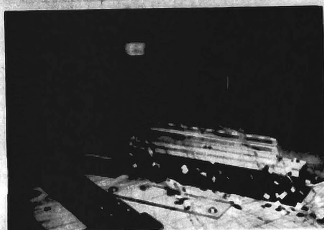


FIG. 3.1-b IDENTIFICACION DE EXTENSOMETROS DE ACUERDO AL
SISTEMA DE REFERENCIA ADOPTADO. PUEDE APRECIARSE
EL MARCO PARA LA APPLICACION DE LA CARGA PUNTUAL.

3.1 - 4 ANALISIS EXTENSIOMETRICO

Para el caso en que se desconocen las direcciones principales de las deformaciones, se utilizan los resetas de extensómetros, ya sea en estrella (45°) o en dalfa (60°)

En este caso se utilizan resetas en estrella y se determinan la magnitud y dirección de las deformaciones principales.

La teoría de la elasticidad y concretamente la Ecología de Materiales provee las expresiones necesarias para calcular el estado de deformaciones en cualquier dirección de un elemento homogéneo, isotrópico y linealmente elástico:

$$\epsilon_\theta = \frac{\epsilon_x + \epsilon_y}{2} + \frac{\epsilon_x - \epsilon_y}{2} \cos 2\theta + \frac{\gamma_{xy}}{2} \operatorname{sen} 2\theta$$

dónde: ϵ_θ = deformación referida a un. Ángulo cualquiera con respecto al sistema ortogonal de ejes de referencia elegido.

ϵ_x, ϵ_y = deformación en el sentido de los ejes de referencia causada por esfuerzos normales.

γ_{xy} = deformación por cortante ó deformación tangencial.
 θ = ángulo de giro con respecto al sistema de referencia.

Ya que por medio de las resetas se obtienen tres lecturas extensométricas correspondiente a tres direcciones diferentes, se puede plantear el siguiente sistema de ecuaciones:

$$\epsilon_\theta = \frac{\epsilon_x + \epsilon_y}{2} + \frac{\epsilon_x - \epsilon_y}{2} \cos 2\theta_1 + \frac{\gamma_{xy}}{2} \operatorname{sen} 2\theta_1 \quad \dots \quad (1)$$

$$\epsilon_{\theta_2} = \frac{\epsilon_x + \epsilon_y}{2} + \frac{\epsilon_x - \epsilon_y}{2} \cos 2\theta_2 + \frac{\gamma_{xy}}{2} \operatorname{sen} 2\theta_2 \quad \dots \quad (2)$$

$$\epsilon_{\theta_3} = \frac{\epsilon_x + \epsilon_y}{2} + \frac{\epsilon_x - \epsilon_y}{2} \cos 2\theta_3 + \frac{\gamma_{xy}}{2} \operatorname{sen} 2\theta_3 \quad \dots \quad (3)$$

En estas ecuaciones los valores ϵ_x, ϵ_y y γ_{xy} son conocidos como resultado de las mediciones realizadas; las incógnitas por determinar son: ϵ_x, ϵ_y y γ_{xy} , para lo cual es necesario resolver simultáneamente las tres ecuaciones.

En las resetas en estrella: $\theta_1 = 0^\circ, \theta_2 = 45^\circ, \theta_3 = 90^\circ$.

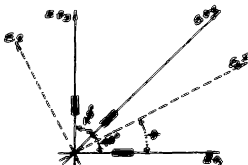


Fig. 3.1-a. Medida de deformaciones en estrella.

Sustituyendo valores en las ecuaciones anteriores :

$$\delta_{xy} = \frac{S_x + S_y}{2} + \frac{S_x - S_y}{2} \cos 2(\theta) + \frac{S_y}{2} \sin 2(\theta) = \delta_x$$

$$\delta_{xz} = \frac{S_x + S_z}{2} + \frac{S_x - S_z}{2} \cos 2(\theta) + \frac{S_z}{2} \sin 2(\theta) = \frac{\delta_x + \delta_z}{2} + \frac{\delta_x - \delta_z}{2}$$

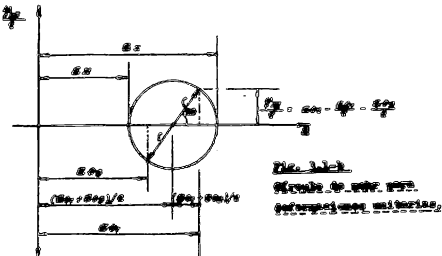
$$\delta_{yz} = \frac{S_y + S_z}{2} + \frac{S_y - S_z}{2} \cos 2(\theta) + \frac{S_z}{2} \sin 2(\theta) = \delta_y$$

$$\therefore \delta_x = \delta_{xz} ; \quad \delta_y = \delta_{yz} ; \quad \delta_{xy} = \frac{1}{2} (\delta_{xz} + \delta_{yz} - \delta_{xy})$$

DEFORMACIONES PRINCIPALES.

Conociendo las deformaciones uniaxiales en tres direcciones diferentes , es posible obtener la magnitud y el sentido de las deformaciones uniaxiales principales por medio del círculo de Mohr, donde en el eje de los abscisas se miden las deformaciones (δ) y en el eje de los ordenadas la mitad de la deformación por cortante ($\frac{\delta_{xy}}{2}$) .

En la figura 3.1b se muestran las características del círculo de Mohr para este caso y con base en ella se deducen las expresiones de las deformaciones principales en función de las deformaciones medidas en tres direcciones diferentes.



De la figura se obtienen :

$$\tan \alpha = \frac{S_{yP}}{S_{xP}} = \frac{S_{yP} - S_{yO} - S_{zP}}{S_{xP} - S_{zP}}$$

$$r = \sqrt{(S_{xP} - S_{xO})^2 + (S_{yP} - S_{yO} - S_{zP})^2} = \sqrt{s((S_{xP} - S_{xO})^2 + (S_{yP} - S_{yO})^2)}$$

Con esto, las deformaciones principales y su dirección son :

$$S_{xy} = \frac{S_{yP} + S_{zP}}{2} \pm \frac{1}{2} \sqrt{s((S_{xP} - S_{xO})^2 + (S_{yP} - S_{yO})^2)}$$

$$S_{max} = \sqrt{s((S_{xP} - S_{xO})^2 + (S_{yP} - S_{yO})^2)} ;$$

$$\theta = \frac{1}{2} \tan^2 \frac{S_{yP} - S_{yO} - S_{zP}}{S_{xP} - S_{zP}}$$

DEFINICIÓN FUNDAMENTAL.

Apartir de las deformaciones principales se puede conocer las esfuerzos principales en magnitud y sentido, partiendo de las relaciones entre los esfuerzos y las deformaciones en el plano:

$$S_x = \frac{1}{E} (G_x - \nu G_y)$$

$$G_x = \frac{E}{1-\nu^2} (S_x + \nu S_y)$$

$$G_y = \frac{E}{1-\nu^2} (S_y - \nu S_x)$$

$$G_{xy} = \frac{E}{1-\nu^2} (S_{xy})$$

$$S_{xy}/G = \bar{S}_{xy}$$

Expresiones en las que:

E = módulo de elasticidad.

ν = relación de poíson.

G = módulo de rigidez al cortante . $(G = \frac{E}{2(1+\nu)})$

Por lo que las esfuerzos principales se expresan de las deformaciones medidas en un punto y tres direcciones cuales

$$\sigma_{xx} = \frac{E}{2(1-\nu)} [(1+\nu)(\epsilon_{xx} + \epsilon_{yy}) + (1-\nu) \sqrt{\epsilon_x^2 + (\epsilon_{xy} - \epsilon_{yx})^2}]$$

$$\sigma_{yy} = \frac{E}{2(1-\nu)} \sqrt{\epsilon_y^2 + (\epsilon_{xy} - \epsilon_{yx})^2}$$

Obtendréis sustituyendo ϵ_x y ϵ_y en lugar de δ_x y δ_y respectivamente en las expresiones que dan la relación entre los esfuerzos y las deformaciones en un sistema plástico.

2.2. SISTEMA DE APLICACIONES DE CARGAS.

La materialización de las cargas que deben aplicarse al modelo puede realizarse de diferentes maneras, dependiendo del tipo de acción que ejerza el prototipo, las cuales pueden ser principalmente cargas concentradas, distribuidas y fuerzas de giro.

Para las cargas concentradas el área de contacto del elemento utilizado para aplicar la carga debe tender a cero en la medida en que sea posible.

Las cargas distribuidas pueden hacerse al modelo por medio de sobreposo a base de calabazas de algas líquidas densas ó material granular fino para dar la intensidad de la carga uniforme requerida para mover el modelo.

En algunos modelos de presas y otras estructuras de contención se usan numerosos gatos hidráulicos para simular la intensidad de las presiones líquidas causadas por el material contenido.

Para simular el efecto de las fuerzas de giro (peso propio, : carga debida a rotación , sobrepresiones hidráulicas, etc.), existen algunos procedimientos comúnmente usados, tales como aplicación de pesos en los centros de gravedad de elementos de rodadura del modelo previamente definidos que integranas proporcionalmente al efecto buscado, construcción del modelo con material de gran peso específico , creación de presiones mediante aire comprimido etc.)

En todos los casos debe analizarse el sistema de cargas de trabajo y com de carácter permanente ó accidental a que se expone certar sometido al prototipo , y mediante el análisis dimensional , obtener la carga necesaria para que el ensayo del modelo sea representativo y se puedan extrapolar los resultados obtenidos al prototipo.

En este caso , el objetivo fundamental del estudio es el de trazar las superficies de influencia de los elementos mecánicos principales occasionados por una carga concentrada , la cual puede tener cualquier valor que permita obtener valores medibles de las deformaciones uniaxiales y que además no produzca flanqueo en el material del modelo.

De decir , la carga de prueba debe tener un valor tal que permita obtener lecturas en las cuales el error propio del indicador de deformaciones ($\pm 5 \times 10^{-6}$ cm./cm.) y las influencias parásitas de la temperatura sean despreciables en comparación con las deformaciones causadas por dicha carga.

De acuerdo con la escala de fuerzas , hay que aplicar al modelo una carga igual a : $P_m = P_p / \varphi$, siendo (φ) la escala de fuerzas.

Anteriormente se obtuvo :

$$\varphi = (P_p / P_m) \lambda^2 = 69\ 705.9 = P_p / P_m \quad (\text{para cargas concentradas}) .$$

Para cargas uniformemente distribuidas por unidad de área se tiene :

$$\frac{P_p}{A_m} = \frac{\left(\frac{P_p}{P_m}\right)^2 P_m}{\lambda^2} = \frac{P_p}{\varphi P_m} ; \text{ de aquí que la carga uniforme por unidad}$$

$$\text{de área para el modelo será: } P_m = \frac{P_p}{\varphi} \quad .$$

$$\text{Para: } \frac{P_m}{P_p} = \lambda^2 / \varphi \quad . \quad \text{Para lo tanto: } P_m = \frac{\lambda^2}{\varphi} \quad P_p \quad .$$

La carga concentrada total del modelo tipo E20 - E26 es 32.66 ton en el prototipo , para el modelo se tendría :

$$P_m = 32661 / 69\ 705.9 = 0.469 \text{ kg.}$$

Para la carga uniformemente distribuida (peso propio de la lona)

$$P_p = 2\ 030 \text{ kg. / m}^2 \quad \text{en el prototipo. Para el modelo se tiene:}$$

$$P_m = 100^2 \times 2\ 030 / 69\ 705.9 = 291.32 \text{ kg./m}^2 = 0.0291 \text{ kg./cm}^2 \quad .$$

Se advierte que estas cargas son muy pequeñas , y debido a los factores anteriores mencionados es necesario aplicar una carga mayor.

-14-

Una deformación unitaria razonable podría ser digamos 100×10^{-6} cm./cm., considerando tentativamente este valor, se puede obtener de una manera aproximada el valor de la carga concentrada que calculemos por ejemplo en el centro del alarre, produzca tal deformación unitaria.

De la teoría de la elasticidad: $\Delta G_x = \frac{1}{E} (G'_x - \lambda G'_y)$; despreciando el término $\lambda G'_y$, por ser pequeño, pues representa la deformación transversal, se tiene: $\Delta G_x = \frac{1}{E} G'_x$

$$\text{Se tiene: } G'_x = E \Delta G_x = 34\,000 \text{ kg./cm.}^2 \times 300 \times 10^{-6} \text{ cm./cm.}$$

$$G'_x = 3,4 \text{ kg./cm.}^2$$

$$\text{De la fórmula de la flexión en barras prismáticas: } G'_x = \frac{M_e}{\frac{\delta_e}{b t}} =$$

$$= \frac{M_e}{\frac{h^3}{32}}$$

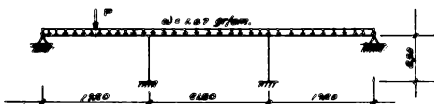
(para una sección rectangular de eje recto.)

$$\text{Por lo tanto despejando: } M_e = \frac{3,4}{3} \times 1 \times 0,5^3 = 0,248 \text{ kg.-cm.}$$

para una carga unitaria.

El problema restante ahora es calcular el valor de la carga concentrada en el nódulo para producir el momento calculado.

A continuación se calcula de una manera bruta el valor teórico de esta carga.

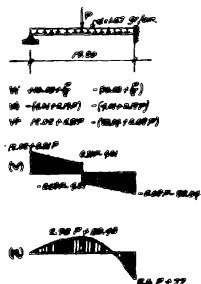


$$\# plástico acrilico = 1,19 \text{ gr./cm.}^2$$

$$\# plástico = 1,19 \times 0,8 = 0,898 \text{ gr./cm.}^2$$

$$\text{ancho tributario} = 2,8 \text{ cm.}$$

$$a) = 0,898 \times 2,8 = 2,47 \text{ gr./cm.}$$



Free body diagram of the beam:

- Reaction force $R = 14.45 \text{ gr./cm}$
- Central load P
- Moment arm: 5 m

Equations for reaction forces:

$$R = (14.45 + 0.0005) \frac{10}{2} = 72.25 \text{ gr./cm}$$

$$R = 72.25 \cdot 10 = 722.5 \text{ gr.}$$

$$R = 72.25 \text{ kg.}$$

Moment of application:

$$M = R \cdot \frac{L^2}{8} = 72.25 \cdot \frac{10^2}{8} = 903.125 \text{ gr.cm}$$

$$M = 903.125 \text{ gr.cm}$$

Deflection curve equation:

$$\frac{P}{48EI} \cdot \frac{L^4}{8} = 903.125 \text{ E.I.}$$

$$P = \frac{903.125 \text{ E.I.}}{10^4} = 90.3125 \text{ E.I.}$$

$$P = 90.3125 \text{ E.I.}$$

Final result:

$$\Rightarrow P = 90.3125 \text{ E.I.}$$

Dado a la simplificación realizada para el cálculo de esta carga, el valor obtenido es muy pequeño y típicamente la carga concentrada equivalente del mismo tipo (0.469 kg.) produciría una deformación unitaria mayor que $100 \times 10^{-6} \text{ cm/cm}$.

No obstante, éste representa un límite inferior, por lo que se puede utilizar una carga mayor que la calculada.

A demás, como ya se dijo, el valor de las superficies de influencia se obtiene de dividir los elementos mecánicos entre la magnitud de la carga de ensayo para tener influencias unitarias.

Dado a estas razones, se utilizó la siguiente carga de ensayo:

peso de dispositivo	-----	0. 718 kg.
sobrecarga adicional	-----	4. 800 kg.
peso total	-----	5. 518 kg.

Esta carga se colocó en cada uno de los puntos de la rejilla que se muestra en el plano MI - 2 ; por cada uno de los puntos cargados se obtuvieron lecturas extensométricas en los 54 extensómetros que componen las 18 rosetas .

El dispositivo utilizado para aplicar la carga de ensayo se muestra detalladamente en las siguientes figuras.



FIG. 3.2-a SISTEMA DE APLICACION DE CARGAS .

El marco de carga (b) desliza mediante bálgos en las guías (a) de tal modo que se puede colocar el marco en cualquier posición a lo largo del eje longitudinal .

Mediante el prisionero (c) se coloca la posición de la carga en el sentido del eje del marco de carga .

En sí el dispositivo consiste de un perno terminado en punta, que es la que hace contacto con el modelo al girar la leva (d) mediante la manivela a la cual está unida. En la figura se muestra el peso utilizado (e).

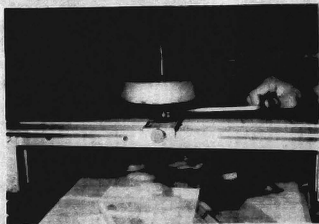


FIG. 3.2-b LA POSICION EXCENTRICA DE LA MANIVELA PERMITE SUBIR O BAJAR LA CARGA DE ENSAYE PARA LAS OPERACIONES DE CARGA Y DESCARGA DEL MODELO.

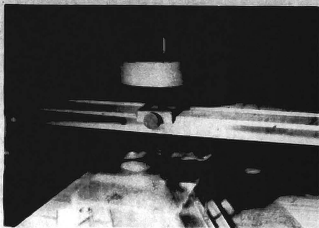


FIG. 3.2-c APLICACION DE LA CARGA DE ENSAYE EN UN PUNTO DEL MODELO. EL PESO USADO ES DE 4.8 Kg.

3.3. MÉTODO DE MEDICIONES.

Como se dijo anteriormente, para cada punto de carga se registraron 54 mediciones correspondientes a un número igual de extensómetros.

El tipo de commutador utilizado tiene sólo 24 terminales , por lo que hubo necesidad de utilizar dos commutadores , desconectando seis extensómetros para conectar los faltantes en el segundo commutador.

En explicitamente , el proceso seguido fué el siguiente:

- a) Tomar las 24 lecturas correspondientes al commutador (1)
- b) " " " " " " " " (2)
- c) Desconectar de los seis primeros terminales del commutador (2) los extensómetros correspondientes y conectar los seis faltantes para registrar su lectura.

El procedimiento anterior se repitió sucesivamente para cada punto de carga y para cada una de las siguientes condiciones:

- a) Registro de lecturas iniciales de vacío .
- b) Registro de lecturas con el modelo cargado.
- c) Registro de lecturas con el modelo descargado.

Con las dos lecturas de vacío disponibles (antes y después de cargar) se obtuvo el promedio de vacío. La deformación unitaria real, correspondiente al estado de carga se obtiene como la diferencia entre la lectura bajo carga y el promedio de las lecturas de vacío.

Para identificar cada uno de los extensómetros se utilizó la siguiente notación:

- a) Un símbolo (\mathcal{E}) que indica extensómetro.
- b) Un sub-índice (x , y , 45) que indica la dirección de medición.
- c) Un super-índice (s , i) que indica la superficie en la cual se encuentra el extensómetro (superior s inferior i).
- d) La identificación de las rosetas se realizó mediante las coordenadas del punto al cual están fijadas.

Así, por ejemplo: 0651 indica que se trata del extensómetro — perteneciente a la roseta fijada al punto cuya coordenada sea 06 y — que registra deformaciones uniaxiales en la dirección del eje de los — "X" convencida(sentido del ensinjamiento).

En el transcurso de la prueba se registraron las condiciones ambientales existentes (temperatura y humedad), con el objeto de evaluar las posibles influencias de estos factores.

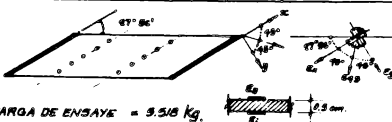
Con este propósito se tomaron las lecturas correspondientes a un mismo punto de carga a diferentes horas del día y también en días diferentes para comparar esas lecturas con otras y observar las variaciones.

No ningún caso hubo diferencias significativas, pues la temperatura y la humedad siempre experimentaron cambios bruscos.

Algunas lecturas en las que se observaron valores poco confiables se volvieron a registrar hasta obtener valores no disparatados .

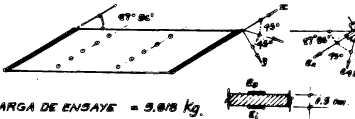
En las siguientes páginas se presenta el registro de mediciones de algunos de los puntos de carga . Posteriormente se procederá a la transformación de estos valores de las deformaciones uniaxiales en — valores de influencia de los elementos mecánicos referidos al prototipo.

PUNTO DE MUESTRA	DEFORMACIONES UNITARIAS X 10 ⁻⁶					PUNTO DE CARGA 36	OBSERVACIONES
	ANTEL	CARGA	DEFORMACION	RESISTENCIA MÁXIMA	DEF. UNIDA DE CARGA		
7. G ₃₀	1.870	1.970	1.960	1.885	-10		
8. G ₃₁	5.995	9.230	9.990	8.820	+7		
9. G ₃₂	1.100	1.080	1.060	1.100	-80		
10. G ₃₃	5.750	8.760	8.700	5.750	-7		
11. G ₃₄	9.180	9.180	9.180	9.180	-10		Se midió dos veces.
12. G ₃₅	3.770	3.770	3.780	3.770	+5		
13. G ₃₆	1.860	1.860	1.870	1.870	-10		
14. G ₃₇	1.100	1.100	1.090	1.100	+8		
15. G ₃₈	5.995	5.995	5.970	4.940	-80		Alta resistencia de compresión al rotación.
16. G ₃₉	5.750	5.750	5.750	5.750	+5		
17. G ₄₀	3.770	3.770	3.760	3.770	-2		Alta resistencia de compresión al rotación.
18. G ₄₁	3.770	3.770	3.770	3.770	-20		
19. G ₄₂	1.610	1.620	1.620	1.620	-10		
20. G ₄₃	1.610	1.600	1.600	1.600	+2		
21. G ₄₄	5.995	5.995	5.970	5.990	-70		Alta resistencia de compresión al rotación.
22. G ₄₅	9.180	9.180	9.180	9.180	0.0		
23. G ₄₆	4.900	4.900	4.900	4.900	0.0		Se midió dos veces.
24. G ₄₇	4.900	4.900	4.970	4.900	0.0		
25. G ₄₈	3.770	3.770	3.770	3.770	-20		
26. G ₄₉	3.770	3.760	3.770	3.770	-10		
27. G ₅₀	3.770	3.770	3.770	3.770	+5		
28. G ₅₁	3.770	3.770	3.770	3.770	+5		Se midió dos veces.
29. G ₅₂	3.610	3.610	3.610	3.610	+10		
30. G ₅₃							
31. G ₅₄							
32. G ₅₅							
33. G ₅₆							
34. G ₅₇							
35. G ₅₈							
36. G ₅₉							
37. G ₆₀							
38. G ₆₁							
39. G ₆₂							
40. G ₆₃							
41. G ₆₄							
42. G ₆₅							
43. G ₆₆							
44. G ₆₇							
45. G ₆₈							
46. G ₆₉							
47. G ₇₀							
48. G ₇₁							
49. G ₇₂							
50. G ₇₃							

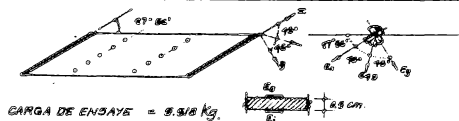


CARGA DE ENSAYE = 9.518 Kg.

Nº CARGA	DEFORMACIONES UNITARIAS X 10 ⁻³					PUNTO DE CARGA (m)
	INICIAL	CARGA	DEFORM.	PRECISION MATERIAL	PERCENTAJE	
G1	+ 740	+ 730	+ 760	+ 760	+ 55	TEMPERATURA = 23 °C HUMEDAD = 84 %
	+ 690	+ 670	+ 640	+ 645	- 75	
	+ 680	+ 650	+ 645	+ 648	+ 2	
	+ 690	+ 645	+ 690	+ 690	- 95	
	+ 650	+ 570	+ 600	+ 610	+ 50	
	+ 600	+ 5770	+ 5770	+ 5770	- 60	
G2	+ 740	+ 720	+ 740	+ 740	- 5	ESTRUCTURA EN DENTADA TIPO DE CARGA EN DENTADA
	+ 690	+ 640	+ 600	+ 600	0.0	
	+ 680	+ 600	+ 670	+ 670	- 5	
	+ 690	+ 650	+ 670	+ 670	- 3	
	+ 650	+ 570	+ 570	+ 570	- 60	
	+ 600	+ 570	+ 600	+ 600	0.0	
G3	+ 740	+ 720	+ 740	+ 740	- 5	ESTRUCTURA EN DENTADA TIPO DE CARGA EN DENTADA
	+ 690	+ 640	+ 600	+ 600	0.0	
	+ 680	+ 600	+ 670	+ 670	- 5	
	+ 690	+ 650	+ 670	+ 670	- 3	
	+ 650	+ 570	+ 570	+ 570	- 60	
	+ 600	+ 570	+ 600	+ 600	0.0	
G4	+ 740	+ 720	+ 740	+ 740	- 5	ESTRUCTURA EN DENTADA TIPO DE CARGA EN DENTADA
	+ 690	+ 640	+ 600	+ 600	0.0	
	+ 680	+ 600	+ 670	+ 670	- 5	
	+ 690	+ 650	+ 670	+ 670	- 3	
	+ 650	+ 570	+ 570	+ 570	- 60	
	+ 600	+ 570	+ 600	+ 600	0.0	
G5	+ 740	+ 720	+ 740	+ 740	- 5	ESTRUCTURA EN DENTADA TIPO DE CARGA EN DENTADA
	+ 690	+ 640	+ 600	+ 600	0.0	
	+ 680	+ 600	+ 670	+ 670	- 5	
	+ 690	+ 650	+ 670	+ 670	- 3	
	+ 650	+ 570	+ 570	+ 570	- 60	
	+ 600	+ 570	+ 600	+ 600	0.0	
G6	+ 740	+ 720	+ 740	+ 740	- 5	ESTRUCTURA EN DENTADA TIPO DE CARGA EN DENTADA
	+ 690	+ 640	+ 600	+ 600	0.0	
	+ 680	+ 600	+ 670	+ 670	- 5	
	+ 690	+ 650	+ 670	+ 670	- 3	
	+ 650	+ 570	+ 570	+ 570	- 60	
	+ 600	+ 570	+ 600	+ 600	0.0	
G7	+ 740	+ 720	+ 740	+ 740	- 5	ESTRUCTURA EN DENTADA TIPO DE CARGA EN DENTADA
	+ 690	+ 640	+ 600	+ 600	0.0	
	+ 680	+ 600	+ 670	+ 670	- 5	
	+ 690	+ 650	+ 670	+ 670	- 3	
	+ 650	+ 570	+ 570	+ 570	- 60	
	+ 600	+ 570	+ 600	+ 600	0.0	
G8	+ 740	+ 720	+ 740	+ 740	- 5	ESTRUCTURA EN DENTADA TIPO DE CARGA EN DENTADA
	+ 690	+ 640	+ 600	+ 600	0.0	
	+ 680	+ 600	+ 670	+ 670	- 5	
	+ 690	+ 650	+ 670	+ 670	- 3	
	+ 650	+ 570	+ 570	+ 570	- 60	
	+ 600	+ 570	+ 600	+ 600	0.0	
G9	+ 740	+ 720	+ 740	+ 740	- 5	ESTRUCTURA EN DENTADA TIPO DE CARGA EN DENTADA
	+ 690	+ 640	+ 600	+ 600	0.0	
	+ 680	+ 600	+ 670	+ 670	- 5	
	+ 690	+ 650	+ 670	+ 670	- 3	
	+ 650	+ 570	+ 570	+ 570	- 60	
	+ 600	+ 570	+ 600	+ 600	0.0	
G10	+ 740	+ 720	+ 740	+ 740	- 5	ESTRUCTURA EN DENTADA TIPO DE CARGA EN DENTADA
	+ 690	+ 640	+ 600	+ 600	0.0	
	+ 680	+ 600	+ 670	+ 670	- 5	
	+ 690	+ 650	+ 670	+ 670	- 3	
	+ 650	+ 570	+ 570	+ 570	- 60	
	+ 600	+ 570	+ 600	+ 600	0.0	
G11	+ 740	+ 720	+ 740	+ 740	- 5	ESTRUCTURA EN DENTADA TIPO DE CARGA EN DENTADA
	+ 690	+ 640	+ 600	+ 600	0.0	
	+ 680	+ 600	+ 670	+ 670	- 5	
	+ 690	+ 650	+ 670	+ 670	- 3	
	+ 650	+ 570	+ 570	+ 570	- 60	
	+ 600	+ 570	+ 600	+ 600	0.0	
G12	+ 740	+ 720	+ 740	+ 740	- 5	ESTRUCTURA EN DENTADA TIPO DE CARGA EN DENTADA
	+ 690	+ 640	+ 600	+ 600	0.0	
	+ 680	+ 600	+ 670	+ 670	- 5	
	+ 690	+ 650	+ 670	+ 670	- 3	
	+ 650	+ 570	+ 570	+ 570	- 60	
	+ 600	+ 570	+ 600	+ 600	0.0	



SÍGLO	DEFORMACIONES UNITARIAS X 10 ⁻⁶					PUNTO DE CARGA #10
	MATERIAL	CARGA	DESPARTE	ALARGAM. MÉTODO MÉTODO	DEFORM. MÉTODO MÉTODO	
1. CGS	9725	9715	9725	9725	-8	
2. CGS	9730	9730	9730	9730	+70	
3. CGS	8265	8270	8265	8265	+10	
4. CGS	6105	6115	6105	6105	+12	
5. CGS	8715	8660	8700	8700	-70	
6. CGS	18390	18390	18395	18395	+90	
7. CGS	3795	3798	3795	3795	+12	
8. CGS	3110	3100	3110	3110	0,0	
9. CGS	3860	3845	3865	3875	+27	
10. CGS	3765	3765	3760	3765	+5	
11. CGS	3275	3280	3285	3285	+10	
12. CGS	4305	4300	4305	4305	+17	
13. CGS	3770	3780	3760	3775	-15	
14. CGS	3830	3770	3850	3855	+15	
15. CGS	3870	3865	3865	3875	+42	
16. CGS	3135	3130	3130	3135	+35	
17. CGS	6690	6700	6695	6695	-45	
18. CGS	18370	18380	18390	18390	+9	
19. CGS	3495	3490	3495	3495	+8	
20. CGS	4750	4680	4750	4750	+10	
21. CGS	2680	2700	2695	2695	+17	
22. CGS	8560	8560	8555	8555	-5	
23. CGS	8555	8570	8570	8570	-100	
24. CGS	3230	3180	3235	3235	-15	
25. CGS	1795	1775	1715	1730	+60	
26. CGS	2935	2810	2810	2825	-15	
27. CGS	1915	1830	1900	1900	+65	
28. CGS	9120	4070	9085	9105	-35	
29. CGS	10775	11085	10780	10780	+87	
30. CGS	3610	3190	3185	3185	-8	

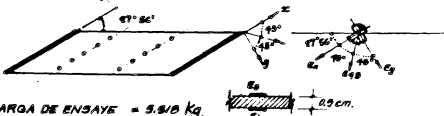


PLANO DIRECCIONAL	DEFORMACIONES UNITARIAS X 10 ⁻⁶					PUNTO DE CARGA #10
	MATERIAL	CARGA	DEFORMACION	PROFESIONAL USO	MA. UNIT. DEFORMADA	
10	E ₁₀	1860	1860	1860	1860	+17
11	E ₁₀	2490	2490	2490	2490	+569
12	E ₁₀	1180	1180	1180	1180	+207
13	E ₁₀	5720	5720	5720	5720	-35
11	E ₉	11180	10290	11180	11180	-918
12	E ₉	3480	3480	3480	3480	-618
13	E ₁₀	1860	1860	1860	1860	-20
14	E ₉	1180	1180	1180	1180	+7
15	E ₁₀	4470	4470	4470	4470	-3
16	E ₁₀	641	5720	5720	5720	0.0
17	E ₉	11620	11620	11620	11620	-8
18	E ₉	5570	5570	5570	5570	+17
19	E ₉	1170	1180	1180	1180	-85
20	E ₉	1860	1860	1860	1860	+318
21	E ₁₀	8600	8600	8600	8600	-170
22	E ₁₀	7370	7480	7480	7480	+68
23	E ₉	11980	11680	11680	11680	-300
24	E ₉	4400	4400	4400	4400	+105
1	E ₁₀	3340	3340	3340	3340	-170
2	E ₉	3390	4010	3870	3860	+180
3	E ₁₀	2760	2660	2760	2760	+195
4	E ₁₀	2460	2470	2460	2460	+26
5	E ₉	11750	11750	11650	11650	+90
6	E ₉	3460	3480	3460	3460	-229
	E ₁₀					
	E ₉					
	E ₁₀					
	E ₉					
	E ₉					
	E ₉					
	E ₉					

(Anotar los datos en el cuadro de observaciones)

de rango en el indicador

PLANTILLA ADAPTACIÓN	DEFORMACIONES UNITARIAS X 10 ⁻⁶					PUNTO DE CARGA	OBSERVACIONES
	INICIAL	CARGA	MIGRACIÓN	DEFORMACIÓN LATERAL	DEFLACCIÓN PROPIEDAD		
1	E00	9790	9790	9790	9790	+10	
2	E00	9070	4068	9068	9068	-3	temperatura = 23 °C
3	E00	8280	3680	8280	8280	0.0	humedad = 30%
4	E01	6128	6128	6128	6128	0.0	
5	E01	5790	3798	5790	5798	-20	
6	E01	13880	13880	13880	13880	-8	
7	E02	3748	3748	3748	3748	0.0	
8	E02	3110	3110	3110	3110	-5	
9	E02	5819	5819	5819	5819	-5	
10	E02	5770	5770	5770	5770	-8	
11	E02	2890	2890	2890	2890	0.0	
12	E02	11380	11380	11380	11380	-5	
13	E03	9010	9038	9010	9010	+28	
14	E03	8078	8078	8078	8078	-32	
15	E03	8798	8798	8798	8798	+2	
16	E03	8790	8790	8790	8790	-8	
17	E03	6680	6700	6670	6668	+52	
18	E03	13880	13880	13880	13880	-5	
19	E04	5790	5790	5790	5790	+5	
20	E04	9778	9778	9778	9778	+3	
21	E04	2630	2630	2630	2630	0.0	
22	E04	5878	5878	5878	5878	+5	
23	E04	3898	3898	3898	3898	+12	
24	E04	8298	8298	8298	8298	+5	
25	E05	1679	1660	1679	1679	-35	
26	E05	9380	9380	9380	9380	0.0	
27	E05	1410	1410	1410	1410	-3	
28	E05	9038	9038	9038	9038	+22	
29	E05	10940	10960	10960	10960	+10	
30	E05	3820	3820	3820	3820	+5	



DEFORMACIONES UNITARIAS X 10 ⁻⁶							PUNTO DE CARGA #2
	INICIAL	0.0054	0.0098	PRIMER VUELO	SEGUNDO VUELO	TERCER VUELO	OBSERVACIONES
Cu	1.00	9710	9710	9740	9740	-30	temperatura = 29.8 °C
	1.00	9740	9780	9740	9780	-70	humedad = 80 %
Cu	1.00	9780	9870	9850	9850	-3	
	1.00	9850	9940	9850	9850	+15	
Cu	1.00	9940	10050	9700	9700	+70	
	1.00	9700	10050	10050	10050	+15	
Cu	1.00	10050	10200	10050	10050	+15	
	1.00	10200	10700	10700	10700	+70	
Cu	1.00	10700	11200	10700	10700	+70	
	1.00	10700	11200	11200	11200	+70	
Cu	1.00	11200	11400	11200	11200	+70	
	1.00	11400	11700	11700	11700	+70	
Cu	1.00	11700	12000	11700	11700	+70	
	1.00	12000	12300	12300	12300	+70	
Cu	1.00	12300	12700	12700	12700	+70	
	1.00	12700	13200	13200	13200	+70	
Cu	1.00	13200	13700	13700	13700	+70	
	1.00	13700	14200	14200	14200	+70	
Cu	1.00	14200	14700	14700	14700	+70	
	1.00	14700	15200	15200	15200	+70	
Cu	1.00	15200	15700	15700	15700	+70	
	1.00	15700	16200	16200	16200	+70	
Cu	1.00	16200	16700	16700	16700	+70	
	1.00	16700	17200	17200	17200	+70	
Cu	1.00	17200	17700	17700	17700	+70	
	1.00	17700	18200	18200	18200	+70	
Cu	1.00	18200	18700	18700	18700	+70	
	1.00	18700	19200	19200	19200	+70	
Cu	1.00	19200	19700	19700	19700	+70	
	1.00	19700	20200	20200	20200	+70	
Cu	1.00	20200	20700	20700	20700	+70	
	1.00	20700	21200	21200	21200	+70	
Cu	1.00	21200	21700	21700	21700	+70	
	1.00	21700	22200	22200	22200	+70	
Cu	1.00	22200	22700	22700	22700	+70	
	1.00	22700	23200	23200	23200	+70	
Cu	1.00	23200	23700	23700	23700	+70	
	1.00	23700	24200	24200	24200	+70	
Cu	1.00	24200	24700	24700	24700	+70	
	1.00	24700	25200	25200	25200	+70	
Cu	1.00	25200	25700	25700	25700	+70	
	1.00	25700	26200	26200	26200	+70	
Cu	1.00	26200	26700	26700	26700	+70	
	1.00	26700	27200	27200	27200	+70	
Cu	1.00	27200	27700	27700	27700	+70	
	1.00	27700	28200	28200	28200	+70	
Cu	1.00	28200	28700	28700	28700	+70	
	1.00	28700	29200	29200	29200	+70	
Cu	1.00	29200	29700	29700	29700	+70	
	1.00	29700	30200	30200	30200	+70	
Cu	1.00	30200	30700	30700	30700	+70	
	1.00	30700	31200	31200	31200	+70	
Cu	1.00	31200	31700	31700	31700	+70	
	1.00	31700	32200	32200	32200	+70	
Cu	1.00	32200	32700	32700	32700	+70	
	1.00	32700	33200	33200	33200	+70	
Cu	1.00	33200	33700	33700	33700	+70	
	1.00	33700	34200	34200	34200	+70	
Cu	1.00	34200	34700	34700	34700	+70	
	1.00	34700	35200	35200	35200	+70	
Cu	1.00	35200	35700	35700	35700	+70	
	1.00	35700	36200	36200	36200	+70	
Cu	1.00	36200	36700	36700	36700	+70	
	1.00	36700	37200	37200	37200	+70	
Cu	1.00	37200	37700	37700	37700	+70	
	1.00	37700	38200	38200	38200	+70	
Cu	1.00	38200	38700	38700	38700	+70	
	1.00	38700	39200	39200	39200	+70	
Cu	1.00	39200	39700	39700	39700	+70	
	1.00	39700	40200	40200	40200	+70	
Cu	1.00	40200	40700	40700	40700	+70	
	1.00	40700	41200	41200	41200	+70	
Cu	1.00	41200	41700	41700	41700	+70	
	1.00	41700	42200	42200	42200	+70	
Cu	1.00	42200	42700	42700	42700	+70	
	1.00	42700	43200	43200	43200	+70	
Cu	1.00	43200	43700	43700	43700	+70	
	1.00	43700	44200	44200	44200	+70	
Cu	1.00	44200	44700	44700	44700	+70	
	1.00	44700	45200	45200	45200	+70	
Cu	1.00	45200	45700	45700	45700	+70	
	1.00	45700	46200	46200	46200	+70	
Cu	1.00	46200	46700	46700	46700	+70	
	1.00	46700	47200	47200	47200	+70	
Cu	1.00	47200	47700	47700	47700	+70	
	1.00	47700	48200	48200	48200	+70	
Cu	1.00	48200	48700	48700	48700	+70	
	1.00	48700	49200	49200	49200	+70	
Cu	1.00	49200	49700	49700	49700	+70	
	1.00	49700	50200	50200	50200	+70	
Cu	1.00	50200	50700	50700	50700	+70	
	1.00	50700	51200	51200	51200	+70	
Cu	1.00	51200	51700	51700	51700	+70	
	1.00	51700	52200	52200	52200	+70	
Cu	1.00	52200	52700	52700	52700	+70	
	1.00	52700	53200	53200	53200	+70	
Cu	1.00	53200	53700	53700	53700	+70	
	1.00	53700	54200	54200	54200	+70	
Cu	1.00	54200	54700	54700	54700	+70	
	1.00	54700	55200	55200	55200	+70	
Cu	1.00	55200	55700	55700	55700	+70	
	1.00	55700	56200	56200	56200	+70	
Cu	1.00	56200	56700	56700	56700	+70	
	1.00	56700	57200	57200	57200	+70	
Cu	1.00	57200	57700	57700	57700	+70	
	1.00	57700	58200	58200	58200	+70	
Cu	1.00	58200	58700	58700	58700	+70	
	1.00	58700	59200	59200	59200	+70	
Cu	1.00	59200	59700	59700	59700	+70	
	1.00	59700	60200	60200	60200	+70	
Cu	1.00	60200	60700	60700	60700	+70	
	1.00	60700	61200	61200	61200	+70	
Cu	1.00	61200	61700	61700	61700	+70	
	1.00	61700	62200	62200	62200	+70	
Cu	1.00	62200	62700	62700	62700	+70	
	1.00	62700	63200	63200	63200	+70	
Cu	1.00	63200	63700	63700	63700	+70	
	1.00	63700	64200	64200	64200	+70	
Cu	1.00	64200	64700	64700	64700	+70	
	1.00	64700	65200	65200	65200	+70	
Cu	1.00	65200	65700	65700	65700	+70	
	1.00	65700	66200	66200	66200	+70	
Cu	1.00	66200	66700	66700	66700	+70	
	1.00	66700	67200	67200	67200	+70	
Cu	1.00	67200	67700	67700	67700	+70	
	1.00	67700	68200	68200	68200	+70	
Cu	1.00	68200	68700	68700	68700	+70	
	1.00	68700	69200	69200	69200	+70	
Cu	1.00	69200	69700	69700	69700	+70	
	1.00	69700	70200	70200	70200	+70	
Cu	1.00	70200	70700	70700	70700	+70	
	1.00	70700	71200	71200	71200	+70	
Cu	1.00	71200	71700	71700	71700	+70	
	1.00	71700	72200	72200	72200	+70	
Cu	1.00	72200	72700	72700	72700	+70	
	1.00	72700	73200	73200	73200	+70	
Cu	1.00	73200	73700	73700	73700	+70	
	1.00	73700	74200	74200	74200	+70	
Cu	1.00	74200	74700	74700	74700	+70	
	1.00	74700	75200	75200	75200	+70	
Cu	1.00	75200	75700	75700	75700	+70	
	1.00	75700	76200	76200	76200	+70	
Cu	1.00	76200	76700	76700	76700	+70	
	1.00	76700	77200	77200	77200	+70	
Cu	1.00	77200	77700	77700	77700	+70	
	1.00	77700	78200	78200	78200	+70	
Cu	1.00	78200	78700	78700	78700	+70	
	1.00	78700	79200	79200	79200	+70	
Cu	1.00	79200	79700	79700	79700	+70	
	1.00	79700	80200	80200	80200	+70	
Cu	1.00	80200	80700	80700	80700	+70	
	1.00	80700	81200	81200	81200	+70	
Cu	1.00	81200	81700	81700	81700	+70	
	1.00	81700	82200	82200	82200	+70	
Cu	1.00	82200	82700	82700	82700	+70	
	1.00	82700	83200	83200	83200	+70	
Cu	1.00	83200	83700	83700	83700	+70	
	1.00	83700	84200	84200	84200	+70	
Cu	1.00	84200	84700	84700	84700	+70	
	1.00	84700	85200	85200	85200	+70	
Cu	1.00	85200	85700	85700	85700	+70	
	1.00	85700	86200	86200	86200	+70	
Cu	1.00	86200	86700	86700	86700	+70	
	1.00	86700	87200	87200	87200	+70	
Cu	1.00	87200	87700	87700	87700	+70	
	1.00	87700	88200	88200	88200	+70	
Cu	1.00	88200	88700	88700	88700	+70	
	1.00	88700	89200	89200	89200	+70	
Cu	1.00	89200	89700	89700	89700	+70	
	1.00	89700	90200	90200	90200	+70	
Cu	1.00	90200	90700	90700	90700	+70	
	1.00	90700	91200	91200	91200	+70	

DEFORMACIONES UNITARIAS X 10 ⁻⁶							PUNTO DE CARGA 6.2
	INICIAL	CARGA	DEFORMADA	PROGRESO CARGA	REL. CON PROGRESO	COMENTARIOS	
f. 18	1375	1375	1370	1375	+2	se midio dos veces.	
	2395	2390	2390	2395	+3		
	1180	1180	1180	1190	+10		
	5610	5570	5408	5608	-18		
	4070	4060	4070	4070	-5	se midio dos veces.	
	3740	3700	3700	3700	-30		
f. 20	1363	1363	1360	1363	+2	se midio dos veces.	
	1190	1180	1185	1185	-5	se midio dos veces.	
	4710	2750	2720	2720	+7		
	5610	5220	5220	5230	-18		
	4930	4905	4900	4900	+5		
	5630	5695	5630	5640	+5		
f. 21	1080	1065	1058	1060	+17	se midio dos veces.	
	1630	1640	1620	1630	-10	se midio dos veces.	
	5640	5670	5650	5650	+13		
	4660	4640	4660	4660	-22		
	4870	4890	4870	4870	+20	se midio dos veces.	
	5240	5220	5220	5220	-14		
f. 22	5220	5200	5170	5250	+50	se midio dos veces.	
	3560	3510	3500	3530	-20		
	5260	5100	5060	5060	-80		
	5340	5340	5240	5240	0.0	se midio dos veces.	
	4940	4860	4570	4540	-10	se midio dos veces.	
	5750	5705	5650	5710	-8		
f. 23							
f. 24							
f. 25							
f. 26							
f. 27							
f. 28							
f. 29							
f. 30							
f. 31							
f. 32							
f. 33							
f. 34							
f. 35							
f. 36							
f. 37							
f. 38							
f. 39							
f. 40							
f. 41							
f. 42							
f. 43							
f. 44							
f. 45							
f. 46							
f. 47							
f. 48							
f. 49							
f. 50							
f. 51							
f. 52							
f. 53							
f. 54							
f. 55							
f. 56							
f. 57							
f. 58							
f. 59							
f. 60							
f. 61							
f. 62							
f. 63							
				</td			

4.- INTERPRETACION DE RESULTADOS.

En esta parte se traducen los valores de las deformaciones unitarias obtenidas de la prueba del modelo , a las correspondientes acciones internas ya extrapoladas al prototipo .

Para tal fin , es necesario en primer lugar hacer un análisis del sistema de instrumentación utilizando para que se base a este , se pueden obtener los esfuerzos internos aplicando principios básicos de mecánica de materiales .

Una vez obtenidas las expresiones necesarias de la relación esfuerzo - deformación aplicada al sistema de instrumentación usado , se procede a ordenar tales expresiones en un arreglo matricial , a fin de realizar los cálculos necesarios mediante computadora .

Para mostrar la manera en que son obtenidas las superficies de infinitesimal por este procedimiento , se presentan las correspondientes a uno de los puntos de carga .

4.1. ANÁLISIS DEL SISTEMA DE INSTRUMENTACIÓN.

Según se describió antes , se colocaron resetas de extensómetros en la cara superior y en la inferior , con el objeto de conocer las deformaciones unitarias en ambos fibres de la placa . En la figura 4.1-a se muestra esquemáticamente un punto instrumentado .

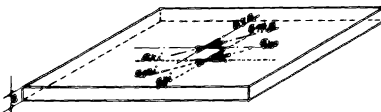


Fig. 4.1-a Esquema de un punto instrumentado.

Donde los subíndices (x , y , 45) indican direcciones de medida y (z , i) identifican la cara superior e inferior respectivamente .

Interesa ahora conocer la relación entre los esfuerzos y las deformaciones, para tal efecto, considerando el diagrama de esfuerzos de un elemento sujeto a flexo-compresión en un sentido plano de esfuerzo se tiene: (fig. 4.1-b).

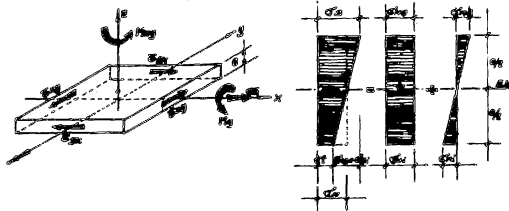


FIGURA 4.1-b.

Las lecturas extensómetras dan los valores de las deformaciones unitarias en las caras superior e inferior, y en ellas está incluido el efecto causado por fuerzas normales y momentos (ϵ_y y ϵ_{xy}). A partir de estos valores, se pueden encontrar los de los esfuerzos correspondientes σ_y y σ_{xy} en una dirección dada, los cuales se muestran en la figura 4.1-b

Es posible descomponer el efecto final, en virtud del principio de superposición, en los componentes de esfuerzo σ_y y σ_{xy} , causados respectivamente por fuerzas normales y momento. De aquí se obtiene lo siguiente:

$$\sigma_y = \sigma_{yN} + \sigma_{yM} ; \quad \sigma_{xy} = \sigma_{xyN} - \sigma_{xyM} .$$

Si el elemento es homogéneo, isotrópico y linealmente elástico, el eje que pasa por el punto de esfuerzo nulo (eje neutro : E.N.) debe localizarse a través del centro geométrico de la sección, razón por la cual se tiene:

$$\sigma_{yN} = \sigma_{yM} = \sigma_N ; \quad \sigma_{xyN} = \sigma_{xyM} = \sigma_M .$$

Analizando el diagrama de la figura 4.4-b , se puede escribir:

$$\sigma_x = \frac{\sigma_{x0} + \sigma_{xi}}{2}, \quad \sigma_y = \frac{\sigma_{y0} - \sigma_{yi}}{2}$$

Lo cual indica que para calcular el esfuerzo debido a fuerza normal es suficiente con calcular el promedio de los esfuerzos obtenidos en las caras superior e inferior, mientras que para esfuerzos debidos a momento se calcula el promedio de las diferencias de los esfuerzos de la cara superior y la inferior.

Con base en lo anterior y sabiendo que:

$$\sigma_x = \frac{E}{1-\nu^2} (\epsilon_{xi} + \nu \epsilon_{yo}) \rightarrow \begin{cases} \epsilon_{xi} = \frac{E}{1-\nu^2} (\sigma_{xi} + \nu \sigma_{yo}) \\ \epsilon_{yo} = \frac{E}{1-\nu^2} (\sigma_{yo} + \nu \sigma_{xi}) \end{cases}$$

$$\sigma_y = \frac{E}{1-\nu^2} (\epsilon_{yo} + \nu \epsilon_{xi}) \rightarrow \begin{cases} \epsilon_{yo} = \frac{E}{1-\nu^2} (\sigma_{yo} + \nu \sigma_{xi}) \\ \epsilon_{xi} = \frac{E}{1-\nu^2} (\sigma_{xi} + \nu \sigma_{yo}) \end{cases}$$

$$\epsilon_{xy} = \frac{E}{E(1-\nu^2)} (2\sigma_{xy0} - \sigma_{xi} - \sigma_{yo}) \rightarrow \begin{cases} \epsilon_{xy0} = \frac{E}{E(1-\nu^2)} (2\sigma_{xy0} - \sigma_{xi} - \sigma_{yo}) \\ \epsilon_{xyi} = \frac{E}{E(1-\nu^2)} (2\sigma_{xyi} - \sigma_{xi} - \sigma_{yo}) \end{cases}$$

Puede escribirse lo siguiente:

$$\bar{\sigma}_x = \frac{\sigma_{xi} + \sigma_{xi}}{2} = \frac{E}{E(1-\nu^2)} [\sigma_{xi} + \sigma_{xi} + \nu(\sigma_{yo} + \sigma_{yo})] \quad \text{--- (B)}$$

$$\bar{\sigma}_y = \frac{\sigma_{yo} - \sigma_{yo}}{2} = \frac{E}{E(1-\nu^2)} [\sigma_{yo} + \sigma_{yo} + \nu(\sigma_{xi} + \sigma_{xi})] \quad \text{--- (B)}$$

$$\bar{\sigma}_{xy} = \frac{\sigma_{xy0} - \sigma_{xyi}}{2} = \frac{E}{E(1-\nu^2)} [\sigma_{xy0} + \sigma_{xyi} - \frac{\sigma_{xi} + \sigma_{xi} + \sigma_{yo} + \sigma_{yo}}{2}] \quad \text{--- (C)}$$

Para calcular el valor de las fuerzas N_x , N_y , T_{xy} es suficiente con multiplicar los esfuerzos anteriores por el área de la sección transversal, es sea :

$N_x = \bar{\sigma}_x A$, $N_y = \bar{\sigma}_y A$, $T_{xy} = \bar{\sigma}_{xy} A$.

Donde el valor de (A) es $A=ab$, siendo (b) unitario, se tiene :

Analizando el diagrama de la figura 4.2-b , se puede escribir:

$$\sigma_x = \frac{\sigma_{x0} + \sigma_{xi}}{2}, \quad \sigma_y = \frac{\sigma_{yo} + \sigma_{yi}}{2}$$

Lo cual indica que para calcular el esfuerzo debido a fuerza normal es suficiente con calcular el promedio de los esfuerzos obtenidos en las caras superior e inferior, mientras que para esfuerzos debidos a momento se calcula el promedio de las diferencias de los esfuerzos de la cara superior y la inferior.

Con base en lo anterior y sabiendo que:

$$\sigma_x = \frac{F}{A_{eff}} (\sigma_0 + \Delta \sigma_y) \Rightarrow \begin{cases} \sigma_{x0} = \frac{F}{A_{eff}} (\sigma_0 + \Delta \sigma_{yo}) \\ \sigma_{xi} = \frac{F}{A_{eff}} (\sigma_0 + \Delta \sigma_{yi}) \end{cases}$$

$$\sigma_y = \frac{F}{A_{eff}} (\sigma_0 + \Delta \sigma_x) \Rightarrow \begin{cases} \sigma_{yo} = \frac{F}{A_{eff}} (\sigma_0 + \Delta \sigma_{xo}) \\ \sigma_{yi} = \frac{F}{A_{eff}} (\sigma_0 + \Delta \sigma_{xi}) \end{cases}$$

$$\Delta \sigma_y = \frac{F}{A_{eff}} (\sigma_{yo} - \sigma_{xi} - \sigma_{yi}) \Rightarrow \begin{cases} \sigma_{yo} = \frac{F}{A_{eff}} (\sigma_{xo} - \sigma_{xi} - \sigma_{yi}) \\ \sigma_{yi} = \frac{F}{A_{eff}} (\sigma_{xo} - \sigma_{xi} - \sigma_{yo}) \end{cases}$$

Puede escribirse lo siguiente:

$$\sigma_x = \frac{\sigma_{x0} + \sigma_{xi}}{2} = \frac{F}{A_{eff}} \left[\sigma_0 + \sigma_{xi} + \frac{1}{2}(\sigma_{yo} - \sigma_{yi}) \right] \quad \text{--- (a)}$$

$$\sigma_y = \frac{\sigma_{yo} + \sigma_{yi}}{2} = \frac{F}{A_{eff}} \left[\sigma_0 + \sigma_{xi} + \frac{1}{2}(\sigma_{xo} - \sigma_{yi}) \right] \quad \text{--- (b)}$$

$$\sigma_{xy} = \frac{\sigma_{yo} - \sigma_{yi}}{2} = \frac{F}{A_{eff}} \left[\sigma_{xo} + \sigma_{yo} - \frac{F}{A_{eff}} \left(\sigma_{yo} + \sigma_{yi} \right) \right] \quad \text{--- (c)}$$

Para calcular el valor de las fuerzas F_x , F_y , F_{xy} es suficiente con multiplicar los esfuerzos anteriores por el área de la sección transversal, es sea : $F_x = \sigma_x A$, $F_y = \sigma_y A$, $F_{xy} = \sigma_{xy} A$.

Donde el valor de (A) es A_{abe} , siendo (b) unitario, se tiene :

$$M_x = G I_c - \frac{G}{2I_c(1-\nu)} [E_{xx} + E_{yy} + \nu(E_{yy} - E_{xx})] \quad \text{--- --- ---} \textcircled{2}$$

$$M_y = G I_c - \frac{G}{2I_c(1-\nu)} [E_{yy} + E_{zz} + \nu(E_{xx} + E_{yy})] \quad \text{--- --- ---} \textcircled{3}$$

$$M_z = G I_c - \frac{G}{2I_c(1-\nu)} [E_{yy} + E_{zz} - \frac{E_{yy} + E_{zz} + E_{xx}}{2}] \quad \text{--- --- ---} \textcircled{4}$$

El esfuerzo causado por momento flexionante, se puede obtener a partir de la fórmula de la flexión : $\sigma' = E/S$ donde E representa la magnitud del esfuerzo flexionante y S el módulo de sección.

Para una sección rectangular de eje prismático : $S = b c^2/6$.

$$\text{Por lo tanto, despejando } S = M' \times -\frac{c^3}{6} \sigma' \quad (\text{con } b = 1) .$$

De que $\sigma_x = \frac{E_{xx}-\sigma_0}{2}$, pueden obtenerse las siguientes expresiones : (que dan los esfuerzos causados por momento)

$$\sigma_{x'} = \frac{E_{xx}-\sigma_0}{2} = -\frac{\sigma'}{2I_c(1-\nu)} [E_{xx} - E_{yy} + \nu(E_{yy} - E_{xx})] \quad \text{--- --- ---} \textcircled{5}$$

$$\sigma_{y'} = \frac{E_{yy}-\sigma_0}{2} = -\frac{\sigma'}{2I_c(1-\nu)} [E_{yy} - E_{zz} + \nu(E_{xx} - E_{yy})] \quad \text{--- --- ---} \textcircled{6}$$

$$\sigma_{z'} = \frac{E_{zz}-\sigma_0}{2} = -\frac{\sigma'}{2I_c(1-\nu)} [E_{yy} + E_{zz} - \frac{E_{yy} + E_{zz} + E_{xx}}{2}] \quad \text{--- --- ---} \textcircled{7}$$

Para obtener el valor de los momentos M_x , M_y , M_z en parte del hecho de que : $S = (c^3/6)c'$, obteniéndose lo siguiente:

$$M_x = \frac{c^3}{6} M' = -\frac{E c^2}{4c(1-\nu)} [E_{xx} - E_{yy} + \nu(E_{yy} - E_{xx})] \quad \text{--- --- ---} \textcircled{8}$$

$$M_y = \frac{c^3}{6} M'_z = -\frac{E c^2}{4c(1-\nu)} [E_{yy} - E_{zz} + \nu(E_{xx} - E_{yy})] \quad \text{--- --- ---} \textcircled{9}$$

$$M_z = \frac{c^3}{6} M'_y = -\frac{E c^2}{4c(1-\nu)} [E_{yy} + E_{zz} - \frac{E_{yy} + E_{zz} + E_{xx}}{2}] \quad \text{--- --- ---} \textcircled{10}$$

Resumiendo todas las expresiones anteriores:

$$\sigma_x = \frac{F}{q(\mu-\nu)} [S_{xx} + S_{yy} + \nu(S_{yy} - S_{xx})] \quad \text{Esfuerzo normal en dirección X}$$

$$\sigma_y = \frac{F}{q(\mu-\nu)} [S_{yy} + S_{xx} + \nu(S_{xx} - S_{yy})] \quad \text{Esfuerzo normal en dirección Y}$$

$$\tau_{xy} = \frac{F}{q(\mu-\nu)} [S_{xy} + S_{yx} - \frac{\nu(S_{xx} + S_{yy})}{2}] \quad \text{Esfuerzo tangencial.}$$

$$M_x = \frac{Fe}{2(\mu-\nu)} [S_{xx} + S_{yy} + \nu(S_{yy} - S_{xx})] \quad \text{Poder normal en dirección X}$$

$$M_y = \frac{Fe}{2(\mu-\nu)} [S_{yy} + S_{xx} + \nu(S_{xx} - S_{yy})] \quad \text{Poder normal en dirección Y}$$

$$T_{xy} = \frac{Fe}{q(\mu-\nu)} [S_{xy} + S_{yx} - \frac{\nu(S_{xx} + S_{yy})}{2}] \quad \text{Poder tangencial}$$

$$\sigma_{xz} = \frac{F}{2(\mu-\nu)} [S_{xx} - S_{yy} + \nu(S_{yy} - S_{xx})] \quad \text{Esfuerzo causado por momento flexionante en Z}$$

$$\sigma_{yz} = \frac{F}{2(\mu-\nu)} [S_{yy} - S_{xx} + \nu(S_{xx} - S_{yy})] \quad \text{Esfuerzo por momento flexionante en Y}$$

$$\sigma_{xy} = \frac{F}{q(\mu-\nu)} [S_{xy} + S_{yx} - \frac{\nu(S_{xx} + S_{yy})}{2}] \quad \text{Esfuerzo por momento torsionante.}$$

$$M_x = \frac{Fe^2}{2(\mu-\nu)} [S_{xx} - S_{yy} + \nu(S_{yy} - S_{xx})] \quad \text{Momento flexionante en dirección X}$$

$$M_y = \frac{Fe^2}{2(\mu-\nu)} [S_{yy} - S_{xx} + \nu(S_{xx} - S_{yy})] \quad \text{Momento flexionante en dirección Y}$$

$$M_{xy} = \frac{Fe^2}{q(\mu-\nu)} [S_{xy} + S_{yx} - \frac{\nu(S_{xx} + S_{yy})}{2}] \quad \text{Momento torsionante.}$$

Resumiendo los términos conocidos ampliamente son:

$$\frac{Fe}{\mu-\nu} = \text{Rigidez axial de la placa.}$$

$$\frac{Fe}{2(1+\nu)} = \text{Rigidez de la placa ante esfuerzo cortante.}$$

$$\frac{Fe^3}{12(1-\nu^2)} = \text{Rigidez flexionante de la placa.}$$

$$\frac{Fe^3}{24(1+\nu)} = \text{Rigidez de la placa ante momento torsionante.}$$

Dado a que el conjunto de ecuaciones anteriores constituye un verdadero sistema, resulta ventajoso para fines de cálculo utilizar la notación matricial. Para ello, ordenando convenientemente y desarrollando cada uno de los términos:

$$\begin{aligned}
 M_x &= \frac{Ea^2}{A(1-\nu^2)} \epsilon_{xx} + \frac{Mc^2}{A(1-\nu^2)} \epsilon_{yy} - \frac{Ec^2}{A(1-\nu^2)} \epsilon_{xi} - \frac{Mc^2}{A(1-\nu^2)} \epsilon_{yi} \\
 M_y &= \frac{Mc^2}{A(1-\nu^2)} \epsilon_{xx} + \frac{Ea^2}{A(1-\nu^2)} \epsilon_{yy} - \frac{Mc^2}{A(1-\nu^2)} \epsilon_{xi} - \frac{Ec^2}{A(1-\nu^2)} \epsilon_{yi} \\
 M_z &= \frac{Ec}{E(1-\nu^2)} \epsilon_{xx} + \frac{Mc}{E(1-\nu^2)} \epsilon_{yy} + \frac{Ec}{E(1-\nu^2)} \epsilon_{xi} + \frac{Mc}{E(1-\nu^2)} \epsilon_{yi} \\
 M_{xy} &= \frac{Mc}{E(1-\nu^2)} \epsilon_{xx} + \frac{Ec}{E(1-\nu^2)} \epsilon_{yy} + \frac{Ec}{E(1-\nu^2)} \epsilon_{xi} + \frac{Mc}{E(1-\nu^2)} \epsilon_{yi} \\
 M_{yz} &= -\frac{Ec^2}{q(1+\nu)} \epsilon_{xx} - \frac{Ec^2}{q(1+\nu)} \epsilon_{yy} + \frac{Ec^2}{q(1+\nu)} \epsilon_{xi} + \frac{Ec^2}{q(1+\nu)} \epsilon_{yi} \\
 M_{xz} &= -\frac{Ec}{q(1+\nu)} \epsilon_{xx} - \frac{Ec}{q(1+\nu)} \epsilon_{yy} - \frac{Ec}{q(1+\nu)} \epsilon_{xi} - \frac{Ec}{q(1+\nu)} \epsilon_{yi}
 \end{aligned}$$

Que puede expresarse en forma matricial de la siguiente manera:

$$\left[\begin{array}{ccc}
 \frac{Ea^2}{A(1-\nu^2)} + \frac{Mc^2}{A(1-\nu^2)} & \frac{Mc^2}{A(1-\nu^2)} & \frac{-Ec^2}{A(1-\nu^2)} \\
 \frac{Mc^2}{A(1-\nu^2)} + \frac{Ea^2}{A(1-\nu^2)} & \frac{-Ec^2}{A(1-\nu^2)} & \frac{-Mc^2}{A(1-\nu^2)} \\
 \frac{Ec}{E(1-\nu^2)} + \frac{Mc}{E(1-\nu^2)} & \frac{Mc}{E(1-\nu^2)} & \frac{Ec}{E(1-\nu^2)} \\
 \frac{Mc}{E(1-\nu^2)} + \frac{Ec}{E(1-\nu^2)} & \frac{Ec}{E(1-\nu^2)} & \frac{Mc}{E(1-\nu^2)} \\
 -\frac{Ec^2}{q(1+\nu)} & -\frac{Ec^2}{q(1+\nu)} & \frac{Ec^2}{q(1+\nu)} + \frac{Ec^2}{q(1+\nu)} - \frac{Ec^2}{q(1+\nu)} \\
 -\frac{Ec}{q(1+\nu)} & -\frac{Ec}{q(1+\nu)} & \frac{Ec}{q(1+\nu)} - \frac{Ec}{q(1+\nu)} + \frac{Ec}{q(1+\nu)}
 \end{array} \right] \times \begin{bmatrix} \epsilon_{xx} \\ \epsilon_{yy} \\ \epsilon_{xi} \\ \epsilon_{yi} \\ \epsilon_{xy} \\ \epsilon_{yz} \end{bmatrix} = \begin{bmatrix} M_x \\ M_y \\ M_z \\ M_{xy} \\ M_{yz} \\ M_{xz} \end{bmatrix}$$

En forma compacta: $\mathbf{G} \times \mathbf{E} = \mathbf{M}$. Dando :

\mathbf{G} = Matriz de rigideces , cada uno de sus elementos está en función de las propiedades elásticas del material y del espesor del mismo

$S =$ Matriz de deformaciones unitarias.

$R =$ Matriz de elementos nodulares.

Esta expresión representa el estado nodular generalizado de un punto del modelo al cual están unidas rectas de deformación en las caras superior e inferior.

En cualquier punto de una estructura que se haya instrumentado con el sistema utilizada en este trabajo, de tal modo que se disponga de los valores de las deformaciones unitarias tanto en la superficie superior como en la inferior, se puede plantear la expresión anterior para obtener los elementos nodulares.

Los elementos de la matriz de rigidez (δ matriz de elasticidades) como puede notarse, son constantes e independientes del punto de carga y del punto de medida, pues dependen sólo de las propiedades elásticas y del espesor del material con el que está construida la estructura; De tal modo que siempre que el material de construcción sea homogéneo, isotrópico y linealmente elástico y además se trate con deformaciones pequeñas, comprendidas dentro del rango de comportamiento elástico del material, puede utilizarse para la obtención de los elementos nodulares la ecuación matricial plantear.

El orden de obtención de los elementos nodulares se eligió de una manera arbitraria, de tal modo que hubiere podido elegirlos cualquier otro.

Del mismo modo en que fué obtenida la anterior mencionada, se puede llegar a otra más general, que sea válida para cualquier estructura — incluyendo placas de geometría no recta (cascarones, bóvedas, arcos) — lo cual sería de gran utilidad y por lo tanto de un uso más amplio; — pese puede considerarse que la expresión aquí presentada es un caso — particular en que la curvatura de la placa es nula.

Es un difícil imaginar la tediosa labor de cálculo que debe desarrollarse para obtener el valor de los elementos mecánicos, pues debiendo a que por cada punto de carga se tienen varios de medida y por cada uno de los últimos es necesario efectuar una vez el producto matricial, se tendrían que realizar $(n \times n)$ productos matriciales si (n) es el número de puntos de carga y (n) el número de puntos de medida.

Con el propósito de aliviar la labor numérica, y a la vez evitar al máximo los errores, se elaboró para este trabajo un programa para la computadora en lenguaje FORTRAN, por medio del cual se realizan los cálculos mencionados.

Con él, sólo es necesario proporcionar como datos de entrada el punto de carga, el punto de medida, las lecturas extensométricas y el valor numérico de los elementos (e_{ij}) de la matriz de rigidez (E) mismos que son constantes a todo lo largo del proceso y fácilmente obtenidos con calculadora de escritorio.

Estos elementos (e_{ij}) serán afectados previamente de un factor conveniente, el cual agrupa las relaciones de semejanza entre el modelo y el prototipo para obtener los elementos mecánicos ya referidos a este último.

Es necesario precisar que los anchos unitarios de referencia de los elementos mecánicos en el modelo y en el prototipo son diferentes, por lo que debe tomarse en cuenta esto por medio de un factor al obtener las superficies de influencia para el prototipo.

Efectuando las operaciones indicadas en el producto matricial, (GxE^2) se obtienen los elementos mecánicos para el modelo; para obtener las superficies de influencia de estos elementos mecánicos, es suficiente con dividir entre la carga de ensayo.

En las siguientes páginas se procede al cálculo de los factores de semejanza mencionados.

Suponiendo que las propiedades mecánicas del plástico surtido son :

$E = 34\ 000 \text{ kg/cm}^2$ ——— Módulo elástico.

$\nu = 0.4$ ——— Módulo de poisson.

$y = 0.5 \text{ cm}$ ——— espesor de la placa.

Se obtienen los siguientes valores constantes :

$$\frac{E_0^2}{12(1-\nu^2)} = \frac{34\ 000 \times 0.2^2}{12(1-0.4^2)} = 643.25; \quad \frac{E_0^2}{24(1+\nu)} = \frac{34\ 000 \times 0.5^2}{24(1+0.4)} = 372.96$$

$$\frac{E_0}{2(1-\nu^2)} = \frac{34\ 000 \times 0.2}{2(1-0.4^2)} = 10\ 119.09; \quad \frac{E_0}{4(1+\nu)} = 3\ 035.7$$

$$\frac{E_0}{12(3\nu)} = 126.49 \quad ; \quad \frac{E_0}{2(3\nu)} = 6\ 071.4$$

Substituyendo en la Matriz de Rigididades:

$$\begin{bmatrix} +643.25 & +337.3 & -643.25 & -337.3 & 0 & 0 \\ +337.3 & +643.25 & -337.3 & -643.25 & 0 & 0 \\ -643.25 & -337.3 & +643.25 & +337.3 & 0 & 0 \\ -337.3 & +643.25 & +337.3 & -643.25 & 0 & 0 \\ 0 & 0 & 0 & 0 & 643 & 0 \\ 0 & 0 & 0 & 0 & 0 & 643 \\ 0 & 0 & 0 & 0 & 0 & 0 \\ 0 & 0 & 0 & 0 & 0 & 0 \\ 0 & 0 & 0 & 0 & 0 & 0 \\ 0 & 0 & 0 & 0 & 0 & 0 \\ 0 & 0 & 0 & 0 & 0 & 0 \\ 0 & 0 & 0 & 0 & 0 & 0 \end{bmatrix} = \begin{bmatrix} 0 \\ 0 \\ 0 \\ 0 \\ Rx \\ Ry \\ Rx \\ Ry \\ Rx \\ Ry \\ Rx \\ Ry \end{bmatrix}$$

Expresión en la real, sustituyendo los valores obtenidos de las deformaciones unitarias en un punto, se llega efectuando operaciones a los elementos nodulares para el modelo en ese punto.

Para transformar estos elementos nodulares al maestro es necesario hacer las siguientes consideraciones:

- a).- Si no se aplica la carga prevista para el modelo por la escala de fuerzas, es necesario considerar un factor de carga :

$$F_1 = \frac{\text{carga prevista}}{\text{carga aplicada}}$$

b)- Los elementos nodulares obtenidos para el modelo están referidos a un ancho unitario ($b = 1 \text{ cm.}$) mientras que en el prototípico este ancho unitario es $b = 100 \text{ cm.}$. En vista de esto, se necesita utilizar un factor de transformación para obtener los elementos nodulares del prototípico referidos al ancho unitario respectivo.

$$F_2 = \frac{100 \text{ cm.}}{\text{ancho} \times \lambda} = \frac{100}{\lambda}$$

c)- En este caso se obtendrán los valores de influencia de la carga de ensayo en la variación de los elementos nodulares en los puntos instrumentados, por lo que resulta conveniente trabajar con un valor unitario de la carga. Esto se cumple utilizando como divisor el valor de la carga de ensayo en cada uno de los elementos de la matriz de rigidez.

$$F_3 = \frac{1}{\text{carga de ensayo}}$$

d)- Se deben utilizar las columnas de fuerzas y momentos obtenidas para extrapolar los resultados del modelo al prototípico.

$$\Phi = \frac{F_p}{F_p} = \frac{F_p}{F_p} \lambda^2 : \quad F_p = \frac{F_p}{\lambda^2} \quad \Rightarrow \frac{F_p}{\lambda^2} = F_p = \frac{F_p}{\lambda^2} \lambda^2$$

DEFINICIÓN DEL FACTOR PARA MOMENTOS.

Si la escala de momentos: $M_p = \frac{F_p \cdot l_p}{2} \text{ Nm}$ (Memento en el prototípico) ya que $l_p/l_m = \lambda = 100$, F_p = carga de ensayo = 5.518 kg.
por tanto : $M_p = (100/5.518) \text{ Nm} \quad M_p = (18.12 \text{ Nm}) F_p$

El factor de proporcionalidad de momentos de referencia vale:

$$F_2 = 100/\lambda = 100/100 = 1$$

y el factor de proporcionalidad de cargas no influye, pues se está trabajando con un valor unitario de la carga.

por lo tanto : $M_p = (18.12 \text{ Nm}) F_p \times F_2 = (18.12 \text{ Nm}) F_p$

La cantidad entre paréntesis nos da los valores de influencia de momentos referidos al prototípico en un ancho de 1.0 m.

DEFINICION DEL FACTOR PARA FUERZAS INTERNAS

De la ecuación de fuerzas :

$$\vec{F} = F_p / F_m \rightarrow \vec{F}'_p = \vec{F}' F_m = (F_p / F_m) \vec{F}_m = -\frac{1}{18.12} \vec{F}_m F_p$$

donde :

\vec{F}'_p = Fuerza interna en el prototípico en el punto considerado.

\vec{F}'_m = Fuerza interna obtenida en el modelo y causada por la carga de ensayo.

F_p = Fuerza externa actuante en el prototípico en el punto considerado.

F_m = Carga de ensayo = 3.318 kg.

$$\text{Por tanto: } \vec{F}'_p = \left(-\frac{1}{18.12} \vec{F}'_m \right) F_p \times F_2 = (0.161 \vec{F}'_m) F_p$$

Resumiendo aquí, la cantidad entre paréntesis nos da los valores de influencia de las fuerzas internas referidas al prototípico en un ancho de 1.8 m.

De lo anterior se sigue que es necesario multiplicar la matriz de rigidez por (18.12) en las líneas correspondientes a momentos y por (0.161) en las correspondientes a fuerzas internas.

Considerando ahora que las deformaciones unitarias están expresadas en términos de 10^{-6} cm./cm., se puede introducir este factor, quedando de la siguiente manera :

$$18.12 \times 10^{-6} = 0.0000161 \quad (\text{para momentos})$$

$$0.161 \times 10^{-6} = 0.00000161 \quad (\text{para fuerzas})$$

$$W^3 \begin{bmatrix} +13.3 & +6.11 & -13.3 & -6.11 & 0 & 0 \\ +6.11 & +13.3 & -6.11 & -13.3 & 0 & 0 \\ +1.83 & +0.733 & +1.83 & +0.733 & 0 & 0 \\ +0.733 & +1.83 & +0.733 & +1.83 & 0 & 0 \\ -2.3 & -2.3 & +2.3 & +2.3 & +4.6 & -4.6 \\ -0.55 & -0.55 & -0.55 & -0.55 & +1.1 & +1.1 \end{bmatrix} \begin{bmatrix} \Sigma z_0 \\ \Sigma y_0 \\ \Sigma x_1 \\ \Sigma y_1 \\ \Sigma x_2 \\ \Sigma y_2 \end{bmatrix} = \begin{bmatrix} R_x \\ R_y \\ R_z \\ R_y \\ R_z \\ R_{xy} \end{bmatrix}$$

Con el objeto de no perfilar un número excesivo de ceros, se introducen los valores constantes multiplicados x 10^3 , cuidando que en la medida, se multipliquen estos x 10^{-3} , la cual se logra mediante un factor de escala (-39915,6)

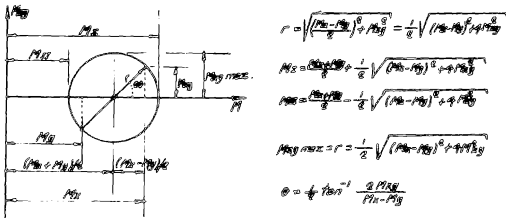
De este modo, mediante el programa para la computadora, se obtienen internamente los valores de influencia de los elementos mecanicos, mismos que son procesados mediante instrucciones adicionales para obtener los valores de influencia de los elementos mecanicos principales, así como las direcciones en que estos actúan.

Una vez obtenidos los valores de influencia de los elementos mecanicos principales, es suficiente con multiplicar el valor de influencia correspondiente por la carga actuante en el prototipo para obtener el elemento mecanico deseado.

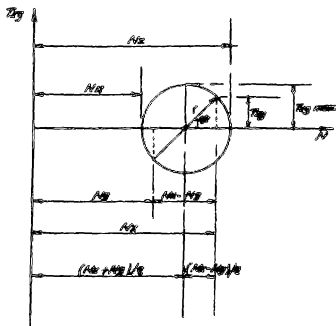
ELEMENTOS MECANICOS PRINCIPALES.

Apartir de los elementos mecanicos obtenidos para una dirección dada, se obtienen los elementos mecanicos principales y la inclinación del plano en que actúan mediante la aplicación del círculo de Mohr. Basándose se muestra el círculo de Mohr aplicado a momentos y fuerzas respectivamente:

CÍRCULO DE MOHR PARA MOMENTOS :



CIRCUITO DE FUERZA PARA FUERZAS.



$$r = \frac{i}{2} \sqrt{(N_x - N_y)^2 + 4T_{xy}^2}$$

$$N_x = \frac{N_x + N_y}{2} + \frac{i}{2} \sqrt{(N_x - N_y)^2 + 4T_{xy}^2}$$

$$N_y = \frac{N_x + N_y}{2} - \frac{i}{2} \sqrt{(N_x - N_y)^2 + 4T_{xy}^2}$$

$$T_{xy\ max} = r = \frac{i}{2} \sqrt{(N_x - N_y)^2 + 4T_{xy}^2}$$

$$\sigma = \left(\frac{T_{xy}}{T_{xy\ max}}\right)^2 \frac{E T_{xy}}{N_x - N_y}$$

4.2- SUPERFICIES DE INFLUENCIA.

Los valores obtenidos a partir del programa para la computadora representan ordenadas de influencia de los elementos mecánicos principales referidas a un punto en el prototipo. Este punto corresponde en el modelo al punto de aplicación de la carga puntual; Utilizando expresiones válidas en el campo elástico, se han obtenido valores numéricos unitarios de los elementos mecánicos principales en un punto de la estructura prototípica.

Es decir, los valores obtenidos corresponden al del elemento mecánico principal fijado, el cual es sometido por una carga puntual unitaria actuando en el punto de referencia en el prototípico.

Es deseable y muy útil el encontrar sobre la superficie de la local los puntos en los cuales se tienen valores de influencia numéricamente iguales y análogos a la manera de las curvas de nivel en topografía, lo cual da lugar a las superficies de influencia.

El trazado de las superficies de influencia se logra mediante interpolación lineal entre los valores obtenidos para los puntos instrumentados en el modelo. La retícula mostrada en el plano M-2 proporciona un sistema de referencia adecuado para interpolar linealmente entre los puntos instrumentados y encontrar los valores "terribles" intermedios, & lo que comunmente se conoce en topografía como "estos negros".

Uniendo estos puntos se trazan las curvas respectivas, a las cuales se les pueden aplicar las mismas reglas que caracterizan a las curvas de nivel en un levantamiento altimétrico en topografía. En los planos M-3, M-4, y M-5 se presentan las superficies de influencia del momento torsionante máximo, el momento principal mayor y el momento principal menor respectivamente, correspondientes al punto central.

Puede observarse que en aquellas zonas en las que cabe esperarse teóricamente un signo positivo del elemento mecánico, se encuentra un signo negativo y viceversa. Esto se debe a que se ha seguido el cri-

terio de signos resultante de las mediciones extensométricas.

En un extensómetro de resistencia eléctrica, el efecto de una compresión de la parrilla sensible se traduce en una disminución de resistencia , por lo que el registro extensométrico tiene signo negativo, igualmente, un alargamiento producto de tensión en la parrilla sensible se traduce en un incremento de resistencia en el extensómetro , por lo que en este caso se tendrá un signo positivo en la lectura correspondiente.

Es decir, las compresiones se registran con signo negativo , y las tensiones con signo positivo. Para seguir el criterio de signos comúnmente aceptado, en el cual un momento positivo ocurre cuando se tienen tensiones en la superficie inferior y compresiones en la superior(siendo lo contrario para un momento negativo), es necesario cambiar de signo a todos los valores de influencia mostrados.

Como ya se dijo, las superficies de influencia representan el lugar geométrico definido por aquellos puntos en los cuales, si se contara con un número suficiente de medidores, se registraría el mismo valor en cada uno de ellos.

La obtención de los elementos mecánicos a partir de las superficies de influencia referidas a un punto de la estructura, se logra simplemente multiplicando el valor de la ordenada de influencia correspondiente por la intensidad de la carga que actúa en el punto asociado a dicha ordenada.

Aunque el procedimiento de análisis por medio de superficies de influencia es laborioso, pues es necesario obtenerlas para cada uno de los puntos que se juzguen importantes, resulta ventajoso cuando no se considere seguro otro procedimiento de análisis para obtener un diseño racional.

4.3 - DETERMINACION DE ELEMENTOS MECANICOS

El procedimiento para obtener los elementos mecanicos actuantes en prototipo a partir de las superficies de influencia consta de dos etapas; en la primera se obtienen los correspondientes a carga viva del caso tipo especificado y en la segunda los causados por carga muerta (peso propio); sumando estos efectos se obtienen los elementos mecanicos de diseño.

a)- ELEMENTOS MECANICOS POR CARGA VIVA.

Sobre la superficie de la placa dibujada a escala y en la cual se han trazado las superficies de influencia del elemento mecanico deseado, se colocan las cargas por rueda del casilla tipo especificado respetando la separacion que guarden entre si y buscando una posicion tal que se obtengan los efectos mas desfavorables para el punto de referencia (punto del cual se han obtenido las superficies de influencia).

Para tal efecto es muy útil dibujar a escala en papel transparente 6 ruedas las plantillas necesarias del casilla tipo; de este modo se cuelgan las plantillas del casilla tipo en una posicion determinada, en los cuatro carriles de circulacion, multiplicando el valor de la carga en cada rueda por la ordenada de influencia que pisa. Ya que el principio de superposicion es valido para este caso, el elemento mecanico que se desea conocer en el punto de referencia se obtiene sumando algebraicamente los productos de la carga en cada rueda por el valor de la ordenada de influencia que pisa para la posicion de carga convenida.

De esta manera se obtienen los elementos mecanicos por carga viva colocada en la posicion mas desfavorable en cada caso para conocer los valores maximos, los cuales se utilizan en el diseño.

La direccional en la que debe colocarse el refuerzo en cada lecho es tal determinada por la inclinacion del sistema de ejes principales con respecto al sistema de referencia adoptado.

Es importante notar que el elemento mecánico así obtenido no corresponde al punto donde se coloca la carga de rueda, sino al punto a partir del cual se han trazado las superficies de influencia, y - que corresponde en el modelo al lugar en que se colocó la carga de ensayo. Aparentemente esto podría resultar contradictorio, pues - la ordenada de influencia en un punto cualquiera de la placa representa precisamente el elemento mecánico en ese punto causado por una carga puntual unitaria colocada en un lugar determinado, mismo al que se refieren las superficies de influencia del elemento mecánico considerado.

Esta aparente contradicción queda aclarada si se consideran los teoremas de Maxwell-Betti para las acciones reciprocas, en virtud de los cuales el efecto causado por una carga cualquiera colocada en un punto (1) y medida en el punto (2), es igual al efecto medido en el punto (1) de la carga aplicada en el punto (2).

El punto de referencia al cual se asocian las superficies de influencia aparece claramente definido, pues es allí donde se tiene una singularidad, disipándose significativamente el valor de influencia; cuando además este punto esté instrumentado, el valor de influencia obtenido es poco confiable, en virtud de la distorsión causada al ser aplicada directamente sobre el extensómetro la carga de ensayo. De cualquier modo el valor de influencia en ese punto es teóricamente infinito y va decreciendo a medida que se aleja de él.

Dadas estas consideraciones, se pueden usar adecuadamente las superficies de influencia para la obtención de elementos mecánicos debidos a carga viva, pudiéndose realizar cortes longitudinales y transversales para trazar los diagramas respectivos.

Lo anterior se puede lograr si se cuenta con un número suficiente de superficies de influencia referidas a diferentes puntos de la placa.

b) - ELEMENTOS MECÁNICOS POR PESO PROPIO.

La carga uniformemente distribuida por unidad de área puede generalizarse como la integración en un área dada de un número finito de cargas puntuales. Ya que las superficies de influencia fueron obtenidas para una carga puntual, se sigue que para obtener los elementos mecánicos correspondientes a una carga uniformemente distribuida por unidad de área, es necesario multiplicar el valor de la carga por el área y también por la ordinada de influencia correspondiente a un elemento diferencial cualquiera de la placa.

Lo anterior equivale a calcular el volumen contenido entre la superficie de la placa y la superficie envolvente de todas las ordenadas de influencia y multiplicar el volumen así definido por la intensidad de la carga uniformemente repartida por unidad de área ; El elemento mecánico obtenido de este modo corresponde al punto al cual están referidas las superficies de influencia .

Para calcular el volumen mencionado puede utilizarse cualquier método numérico, como por ejemplo la regla trapezoidal de Simpson, que proporciona resultados bastante satisfactorios.

En este caso resulta muy útil la retícula de referencia, pues se puede calcular el área contenida entre la superficie de la placa y las ordenadas de influencia a lo largo de cada una de las líneas paralelas al ensanjecimiento, para luego calcular el volumen entre dos líneas consecutivas y así sucesivamente hasta tener el volumen total.

El cálculo del volumen contenido en las superficies de influencia puede también llevarse a cabo mediante computadora, utilizando una subrutina para que se realicen las operaciones necesarias una vez que el programa principal haya calculado los valores de influencia, mismos que constituyen los datos de entrada para llamar a la subrutina.

Los elementos mecánicos por peso propio se suman con los correspondientes a carga viva para obtener los elementos mecánicos de diseño.

5.- COMENTARIOS.

La experiencia actual sobre placas no ortogonales es escasa y existe muy poca literatura acerca del tema. Para poder generalizar el comportamiento de estos elementos se requiere del estudio de varíos, con diferentes ángulos de encajamiento y con diferentes condiciones de frontera.

Las superficies de influencia presentadas en el apéndice de este trabajo proporcionan una idea bastante clara de la configuración que adquiere la losa al deformarse cuando se aplica una carga puntual en el punto de referencia; Además, la inclinación del sistema de ejes principales (que constituyen las direcciones mutuamente perpendiculares según las cuales se desarrollan los elementos mecánicos principales) indican la posición que debe tener el refuerzo para trabajar en forma más eficiente, con lo cual se logra un ahorro por este concepto.

En general, de las ventajas del procedimiento de análisis con superficies de influencia comparado con un método tradicional, pueden mencionarse las siguientes :

- i)- Se puede encontrar el valor del momento flexionante y de la fuerza cortante en cualquier punto de la placa que se desee.
- ii)- Se obtiene una apreciación objetiva de la distribución de esfuerzos en función de la capacidad de los elementos para admitir giros y deformaciones.
- iii)- Las mismas superficies de influencia pueden utilizarse para casos similares al estudiado ó que difieren muy poco de él en cuanto a condiciones de frontera.
- v)- Se logra un diseño más racional en cuanto se determinan los elementos mecánicos principales y las direcciones en que estos actúan.

Además, la utilización de la computadora para el trazado de las-

superficies de influencia reduce el trabajo humano requerido y proporciona la exactitud deseada, por lo que este recurso es accesible ya sea que se obtengan a partir de un modelo físico ó de un modelo matemático.

En este trabajo se trató de presentar a grandes rasgos el procedimiento seguido para llegar a construir, instrumentar, ensayar y realizar la interpretación de los resultados obtenidos a partir de un modelo físico, lo anterior como medio para llegar a obtener una comprensión objetiva del fenómeno y sobre todo como una alternativa para resolver en forma satisfactoria aquellas estructuras poco usuales y que por lo tanto se requiere para ellas un estudio profundo para proceder al diseño y construcción de las mismas.

Se ha dado una importancia tal vez mayor a este aspecto que al relacionarse con la obtención de los elementos geodómicos, debido a que se ha considerado que los últimos constituyen un fin en sí y lo esencial son los medios para llegar a ellos ; sin embargo, se presentó una descripción en la que se procuró indicar claramente la manera en que son obtenidos a partir de las superficies de influencia.

El uso de modelos físicos como método de análisis de estructuras, a pesar de la gran cantidad de argumentos que pueden darse a su favor, también tiene inconvenientes ; entre los más serios pueden citarse el tiempo requerido para llegar a concluir el estudio y los costos asociados, mismos que solamente se justifican cuando representan un pequeño porcentaje del costo necesario para construir y proporcionar seguridad a la estructura durante la vida útil de la misma.

Esto provoca que a veces sea preferible el utilizar modelos matemáticos basados en el elemento finito ó diferencias finitas, que con el auxilio de la computadora se convierten en herramientas poderosas de análisis, a pesar de las hipótesis de partida, las cuales-

no siempre pueden cumplirse para un caso particular dado. Sin embargo, para el caso en que se deben comprobar físicamente una teoría desarrollada analíticamente, los modelos físicos representan un valioso recurso al cual se puede acudir y de este modo calibrar la certeza de las expresiones analíticas planteadas, poniendo en evidencia los parámetros no considerados en el análisis.

Por último, cabe señalar que la finalidad académica de los modelos físicos es muy importante, pues la enseñanza de la teoría combinada con la experiencia física en las escuelas profesionales de Ingeniería, daría como resultado profesionistas mejor preparados y consecuentemente más aptos para contribuir al desarrollo tecnológico del país.

BIBLIOGRAFIA.

- 1.- "MÉTODOS PARA CONCRETO ESTRUCTURAL" A.O.I. PUBLICATION No 24, 1970
- 2.- "ANÁLISIS EXPERIMENTAL DE TIRANTES" VOL. II . J. LOBO FIALEO.
Laboratorio Nacional de Ingeniería Civil, Lisboa, Junio, 1969.
- 3.- "CURSOS DE ESTRUCTURERIA" J. LOBO FIALEO.
Laboratorio Nacional de Ingeniería Civil, Lisboa, 1964.
- 4.- "MODELS OF CONCRETE STRUCTURES, STATE OF THE ART". A.O.I. 444 E-79
Revista "CONCRETE INTERNATIONAL", enero 1979.
- 5.- "MODEL ANALYSIS OF STRUCTURES" T. H. CHARLTON.
Struct Civil Engineering Series , 1954.
- 6.- "BIDIMENSIONAL ANALYSIS AND THEORY OF MODELS" RONALD L. LANGHARAS.
John Wiley & Sons, Inc. 1964.
- 7.- "REPORTE DEL ESTUDIO REALIZADO EN EL LABORATORIO NACIONAL DE INGENIERÍA CIVIL DE LISBOA, PORTUGAL." ING. JUAN LEOPAPIO ORTIZ.
(Geometría, Prácticas, Interpretación de modelos estructurales)
Dpto. de Estructuras, D.G.P.E., S.A.H.C.P., México , ago. 1963.
(Reporte interno)
- 8.- "MÓDULO MATEMÁTICO PARA ESTRUCTURAS EXPERIMENTALES"
ING. CARLOS KING REVELLO.
(Ponencia presentada en la reunión conjunta de la A.S.C.E. y el
G.I.C.E.)
- 9.- "NUEVAS TÉCNICAS PARA EL PROYECTO DE PUENTES"
ING. CARLOS KING REVELLO.
(Ponencia presentada en el VIII Congreso de Ingeniería Civil)
(1970)
- 10.- "THE STRAIN GAGE PRIMER" C.G. PERRY & H.R. GREEN.
Mc Graw-Hill Book Company 1965.
- 11.- "THEORY OF PLATES & SHELLS" T. TIMOSHENKO.
- 12.- "ANÁLISIS DE ESTRUCTURAS INDETERMINADAS", J. STERLING KIRKBY.

BIBLIOGRAFIA (...)

13.- "INFLUENCE SURFACE OF ELASTIC PLATES" . , von ADOLF FUCHEN .
(1964)

14.- "TRABAJO, CALCULO Y ANÁLISIS DE LOSAS ESTÁNDARAS."
(Traducción del libro "FUCHEN AUS STÄNDARTEN UND SPANN MÉTAL",
de E. Hirsch. 1958.)

A P R E S P I C T A

Se presentan en primer lugar las instrucciones necesarias para ofrecer los oficios requeridos mediante computadora, y que corresponden a los elementos técnicos principales y la dirección en que estos actúan. Puedo extraer lo elemental del programa elaborado, el cual es muy susceptible de mejoras y ampliaciones para conseguir objetivos adicionales.

Se muestran también algunos resultados obtenidos de la computadora, mismos que fueron obtenidos a partir de las mediciones extensimétricas presentadas anteriormente.

LEVEL 2.3.0 (JUNE 72)

CS/360 FORTRAN H EXTENDED

DATE 81-240/19.45.55

REQUESTED OPTION NODECK, NOLIST, OPT(1), OBJECT

OPTIONS IN EFFECT NAME(MAIN) NOOPTIMIZE LINECOUNT(75) SIZE(HAX) AUTOLOAD(NONE)

OPTIONS IN EFFECT SOURCE EBCDIC NOLIST NODECK OBJECT NCMPR NCFORMAT NOGOSTMT NOREF ALC NOANSF TERM IBM FL

C PROGRAMA PARA CALCULAR LOS ELEMENTOS MECANICOS A PARTIR DE MEDICIONES
 C ESTADISTICAS EFECTUADAS.

C POR CADA PUNTO DE CARGA SE TIENEN VARIOS DE MEDIDA

```

SN 0002      REAL MAXMAX,MIN2,MIN1,R2
SN 0003      DIVISION=16,I=1,6
SN 0004      DO I=1,6
SN 0005      R1=I,0
SN 0006      DC 100,J=1,6
SN 0007      EC J=1,0
SN 0008      100 E(1,1)=0
SN 0009      DO I=1,6
SN 0010      101 F(D(I,1),10,I,C(1),J),J=1,6
SN 0011      10 FORMATT(F(10.0))
SN 0012      NOPAG=0
SN 0013      NT
SN 0014      11 NOPAG=DPAG+1
SN 0015      WRITE(6,12)IN,NOPAG
SN 0016      12 FORMAT(1H1,25,2D0.0)PUNTO DE CARGA***,A4,4DX,3HPAG,14//)
SN 0017      14 FORMAT(1H1,C2,2A4)
SN 0018      15 FORMATT(E(1,1),J=1,6),NLD0,N
SN 0019      IN(M,CIGO TO 2C0
SN 0020      DO I=1,6
SN 0021      DO J=1,6
SN 0022      102 R1=R(I,J)*E(J,J)
SN 0023      R1=R1-SOFT((F(1)-R(2))*2+4*R(5)*0.5
SN 0024      M=M+(R(1)+R(2))/2+MAXMAX
SN 0025      R1=R1-R(2)
SN 0026      Y=(R1)/20.3C
SN 0027      20 DIF=0.0001
SN 0028      30 ALFA=ATAN2(R(3),(DIF))+0.5
SN 0029      CALFA=ALFA-377.77/76
SN 0030      X=(R1-CALFA*(R(3)-R(4))**2+4*R(6)**2)**0.5
SN 0031      M=M+(X+4*R(1))/2+MAXMAX
SN 0032      N=N+(X-4*R(1))/2+MAXMAX
SN 0033      31 FORMATT(E(1,1),J=1,6)
SN 0034      16 FORMATT(0.0,4)NUOD,A6,I1C20H***PUNTO DE CARGA***,A4//,
SN 0035      17 FORMATT(0.0,4)YMAX,X1,M2,TMAX,N1,N2
SN 0036      18 X=X+2*(X-M2)*(X-TMAX)+3PF15.6*5*X*4*NL=-3PF15.6*
SN 0037      19 Y=Y+2*(Y-N1)*(Y-TMAX)+3PF15.6*5*X*4*NL=-3PF15.6*
SN 0038      20 FORMATT(0.0,4)NUOD,A6,I1C20H***PUNTO DE CARGA***,A4//,
SN 0039      21 FORMATT(0.0,4)YMAX,X1,M2,TMAX,N1,N2
SN 0040      22 LINES=LINES+1
SN 0041      DO 50 I=1,6
SN 0042      50 R(I)=0
SN 0043      IF(LINES .GE. 52)GO TO 11
SN 0044      GO TO 13
SN 0045      20C STOP
SN 0046      END

```

/69

OPTIONS IN EFFECT NAME(MAIN) NOOPTIMIZE LINECOUNT(75) SIZE(HAX) AUTOLOAD(NONE)

OPTIONS IN EFFECT SOURCE EBCDIC NOLIST NODECK OBJECT NCMPR NCFORMAT NOGOSTMT NOREF ALC NOANSF TERM IBM FL

FORTRAN H EXTENDED COMPILER ENTERED

STATISTICS SOURCE STATEMENTS = 46, PROGRAM SIZE = 1996, SJPROGRAM NAME = XAD1

STATISTICS NO DIAGNOSTICS GENERATED

***** END OF COMPIILATION *****

488K BYTES OF CORE NOT USED.

PUNTO DE CARGA

PAG 1

NUDO 2C

PUNTO DE CARGA 6J

DEF UNIT	EXS =	-20.	EYS =	40.	EXI =	15.
	EYI =	-35.	E45S =	-43.	E45I =	35.

MEC PRINC	XXYMAX =	0.766537	M1 =	1.387827	M2 =	-0.146047	GALFA =	19.9621
	TMAX =	0.004524	M1 =	-0.018543	M2 =	-0.027591		

NUDO 2F

PUNTO DE CARGA 6J

DEF UNIT	EXS =	45.	EYS =	50.	EXI =	-35.
	EYI =	-45.	E45S =	37.	E45I =	-40.

MEC PRINC	XXYMAX =	0.084164	M1 =	1.957539	M2 =	1.789211	GALFA =	17.5104
	TMAX =	0.011831	M1 =	0.031094	M2 =	0.007351		

NUDO 6C

PUNTO DE CARGA 6J

DEF UNIT	EXS =	-10.	EYS =	15.	EXI =	-3.
	EYI =	-10.	E45S =	2.	E45I =	-5.

MEC PRINC	XXYMAX =	0.147327	M1 =	0.340017	M2 =	0.045363	GALFA =	1.7901
	TMAX =	0.009934	M1 =	-0.000318	M2 =	-0.020186		

NUDO 6F

PUNTO DE CARGA 6J

DEF.UNIT	EXS =	61.	EYS =	32.	EXI =	-38.
	EYI =	-65.	E45S =	-33.	E45I =	30.

MEC PRINC	XXYMAX =	0.740656	M1 =	2.838834	M2 =	1.357521	GALFA =	-44.6441
	TMAX =	0.030755	M1 =	0.017980	M2 =	-0.043610		

PUNTO DE CARGA 6J

PAG 2

NUDO 6J

PUNTO DE CARGA 6J

F UNIT	EXS =	-360.	EYS =	-398.	EXI =	320.	
	EYI =	447.	E45S =	-265.	E45I =	320.	
C PRINC	MXYMAX =	1.1114226	M1 =	-15.210691	M2 =	-17.439340	GALFA = 23.5606
	TMXMAX =	0.0735522	M1 =	0.085485	M2 =	-0.062418	

NUDO 6F

PUNTO DE CARGA 6J

F UNIT	EXS =	-10.	EYS =	7.	EXI =	-7.	
	EYI =	-10.	E45S =	-20.	E45I =	5.	
C PRINC	MXYMAX =	0.173552	M1 =	0.323402	M2 =	-0.023462	GALFA = 29.0113
	TMXMAX =	0.009445	M1 =	-0.016184	M2 =	-0.035075	

NUDO 1CC

PUNTO DE CARGA 6J

F UNIT	EXS =	-15.	EYS =	3.	EXI =	2.	
	EYI =	-3.	E45S =	-50.	E45I =	-25.	
C PRINC	MXYMAX =	0.138620	M1 =	0.020865	M2 =	-0.256375	GALFA = 20.1614
	TMXMAX =	0.015667	M1 =	0.059027	M2 =	-0.092346	

NUDO 1CF

PUNTO DE CARGA 6J

F UNIT	EXS =	-13.	EYS =	2.	EXI =	0.	
	EYI =	0.	E45S =	-45.	E45I =	0.	
C PRINC	MXYMAX =	0.194334	M1 =	0.076579	M2 =	-0.312088	GALFA = 34.6133
	TMXMAX =	0.044222	M1 =	0.030126	M2 =	-0.058319	

PUNTO DE CARGA 6J

PAG 3

NUDO 1CJ

PUNTO DE CARGA 6J

DEF UNIT	EXS =	-35.	EYS =	20.	EXI =	-40.		
	EYI =	25.	E45S =	-23.	E45I =	40.		
MEC PRINC	MXYMAX =	0.293420	M1 =	0.293420	M2 =	-0.293420	GALFA =	-40.4951
	THAX =	0.674641	N1 =	0.036196	N2 =	-0.113086		

NUDO 2C

PUNTO DE CARGA 6D

DEF UNIT	EXS =	35.	EYS =	-75.	EXI =	-45.		
	EYI =	52.	E45S =	2.	E45I =	-23.		
MEC PRINC	MXYMAX =	0.976575	M1 =	0.473844	M2 =	-1.480114	GALFA =	-4.6002
	THAX =	0.008680	N1 =	-0.033609	N2 =	-0.050970		

NUDO 2F

PUNTO DE CARGA 6D

DEF UNIT	EXS =	-8.	EYS =	0.	EXI =	-8.		
	EYI =	0.	E45S =	-8.	E45I =	-3.		
MEC PRINC	MXYMAX =	0.023000	M1 =	0.023000	M2 =	-0.023000	GALFA =	-45.0000
	THAX =	0.009316	N1 =	-0.011128	N2 =	-0.029880		

NUDO 4C

PUNTO DE CARGA 6D

DEF UNIT	EXS =	0.	EYS =	-155.	EXI =	-13.		
	EYI =	142.	E45S =	-195.	E45I =	162.		
MEC PRINC	MXYMAX =	1.734121	M1 =	-1.306097	M2 =	-4.774340	GALFA =	-17.3862
	THAX =	0.022000	N1 =	-0.011319	N2 =	-0.055319		

PUNTO DE CARGA 60

PAG 4

NUDO EF

PUNTO DE CARGA 60

DEF UNIT	EXS =	75.	EYS =	-3.	EXI =	-45.
	EYI =	35.	E45S =	-40.	E45I =	35.
MEC PRINC	HXXMAX =	0.901010	M1 =	1.7738820	M2 =	-0.023200
	TMAX =	0.035815	M1 =	0.119068	M2 =	0.039838
GALFA =	-18.1575					

NUDO EF

PUNTO DE CARGA 60

DEF UNIT	EXS =	-30.	EYS =	2.	EXI =	10.
	EYI =	-12.	E45S =	-5.	E45I =	0.
MEC PRINC	HXXMAX =	0.255346	M1 =	-0.012556	M2 =	-0.522693
	TMAX =	0.012561	M1 =	-0.027166	M2 =	-0.052287
GALFA =	-3.8868					

NUDO EF

PUNTO DE CARGA 60

DEF UNIT	EXS =	-20.	EYS =	141.	EXI =	5.
	EYI =	-83.	E45S =	-80.	E45I =	80.
MEC PRINC	HXXMAX =	1.653464	M1 =	3.783777	M2 =	0.476809
	TMAX =	0.046503	M1 =	0.101608	M2 =	0.008601
GALFA =	23.1070					

NUDO ICC

PUNTO DE CARGA 60

DEF UNIT	EXS =	-5.	EYS =	-8.	EXI =	-5.
	EYI =	15.	E45S =	0.	E45I =	-3.
MEC PRINC	HXXMAX =	0.124913	M1 =	-0.121242	M2 =	-0.371187
	TMAX =	0.005465	M1 =	0.005625	M2 =	-0.013314
GALFA =	16.1284					

PUNTO DE CARGA 6D

NUDO 1CF

PUNTO DE CARGA 6D

DEF UNIT	EXS =	35.	EYS =	-40.	EXI =	-50.	
	EYI =	40.	E45S =	52.	E45I =	-60.	
HEC PRINC	MXMAX =	0.910242	M1 =	0.963768	M2 =	-0.856718	GALFA = 16.7992
	TMAX =	0.008246	M1 =	-0.010977	M2 =	-0.027468	

NUDO 1CJ

PUNTO DE CARGA 6D

DEF UNIT	EXS =	45.	EYS =	-5.	EXI =	9.	
	EYI =	-18.	E45S =	-40.	E45I =	35.	
HEC PRINC	MXMAX =	0.465743	M1 =	0.994288	M2 =	0.054802	GALFA = -38.4590
	TMAX =	0.047877	M1 =	0.087604	M2 =	-0.008151	

NUDO 2C

PUNTO DE CARGA 10H

DEF UNIT	EXS =	-9.	EYS =	70.	EXI =	12.	
	EYI =	-48.	E45S =	10.	E45I =	32.	
HEC PRINC	MXMAX =	0.713276	M1 =	1.762366	M2 =	0.335813	GALFA = 13.6254
	TMAX =	0.023353	M1 =	0.066712	M2 =	-0.000074	

NUDO 2F

PUNTO DE CARGA 10H

DEF UNIT	EXS =	12.	EYS =	0.	EXI =	2.	
	EYI =	20.	E45S =	27.	E45I =	17.	
HEC PRINC	MXMAX =	0.255529	M1 =	-0.003561	M2 =	-0.419639	GALFA = 13.2550
	TMAX =	0.025142	M1 =	0.082128	M2 =	0.030644	

PUNTO DE CARGA 10H

PAG 6

NUOD EC

PUNTO DE CARGA 10H

DEF UNIT	EXS =	-15.	EYS =	115.	EXI =	35.	
	EYI =	-113.	E42S =	42.	E45I =	5.	
MEC PRINC	MAXX =	1.255612	M1 =	3.205102	M2 =	0.605877	GALFA = 5.3030
	TMAX =	0.040812	N1 =	0.069005	N2 =	-0.012619	

NUOD EF

PUNTO DE CARGA 10H

DEF UNIT	EXS =	85.	EYS =	125.	EXI =	-35.	
	EYI =	-159.	E42S =	147.	E45I =	-113.	
MEC PRINC	MAXX =	0.759859	M1 =	5.109969	M2 =	3.518254	GALFA = -9.8813
	TMAX =	0.053473	N1 =	0.073259	N2 =	-0.031683	

NUOD EJ

PUNTO DE CARGA 10H

DEF UNIT	EXS =	20.	EYS =	-13.	EXI =	-35.	
	EYI =	37.	E42S =	62.	E45I =	-6.	
MEC PRINC	MAXX =	0.565982	M1 =	0.600697	M2 =	-0.536467	GALFA = 16.8273
	TMAX =	0.057180	N1 =	0.071176	N2 =	-0.042983	

NUOD EF

PUNTO DE CARGA 10H

DEF UNIT	EXS =	17.	EYS =	524.	EXI =	-35.	
	EYI =	-416.	E42S =	207.	E45I =	-213.	
MEC PRINC	MAXX =	4.104255	M1 =	14.745621	M2 =	6.535910	GALFA = 2.4750
	TMAX =	0.057469	N1 =	0.200241	N2 =	0.025302	

PUNTO DE CARGA 10H

PAG 7

NUDO 1EC

PUNTO DE CARGA 10H

DEF UNIT	EXS =	-30.	EYS =	7.	EXI =	0.
	EYI =	-8.	E4SS =	-3.	E4SI =	17.

MEC PRINC	MXMAX =	0.214621	M1 =	0.054046	M2 =	-0.375196	GALFA =	7.770
	TMX =	0.036135	M1 =	-0.003588	M2 =	-0.075865		

NUDO 1CF

PUNTO DE CARGA 10H

DEF UNIT	EXS =	-55.	EYS =	312.	EXI =	65.
	EYI =	-200.	E4SS =	-170.	E4SI =	185.

MEC PRINC	MXMAX =	4.353855	M1 =	9.620750	M2 =	0.912961	GALFA =	-19.768
	TMX =	0.004535	M1 =	0.032728	M2 =	0.023658		

NUDO 1CJ

PUNTO DE CARGA 10H

DEF UNIT	EXS =	-178.	EYS =	130.	EXI =	26.
	EYI =	90.	E4SS =	145.	E4SI =	-223.

MEC PRINC	MXMAX =	2.354123	M1 =	0.598513	M2 =	-4.109750	GALFA =	-30.779
	TMX =	0.220551	M1 =	0.325493	M2 =	-0.151209		

NUDO 2C

PUNTO DE CARGA 10H

DEF UNIT	EXS =	10.	EYS =	-3.	EXI =	0.
	EYI =	-20.	E4SS =	0.	E4SI =	-8.

MEC PRINC	MXMAX =	0.040923	M1 =	0.329958	M2 =	0.248112	GALFA =	19.0931
	TMX =	0.018176	M1 =	0.001516	M2 =	-0.034835		

/6

PUNTO DE CARGA 108

PAG 8

NUDO 2F

PUNTO DE CARGA 108

DEF UNIT	EXS =	0.	EYS =	-5.	EXI =	-3.
	EYI =	0.	E45S =	-5.	E45I =	-5.

REC PRINC	MXYMAX =	0.037047	M1 =	0.015637	M2 =	-0.058457	GALFA =	3.5663
	TMAX =	0.006691	M1 =	-0.003561	M2 =	-0.016943		

NUDO 6C

PUNTO DE CARGA 108

DEF UNIT	EXS =	25.	EYS =	-30.	EXI =	-8.
	EYI =	25.	E45S =	2.	E45I =	-5.

REC PRINC	MXYMAX =	0.462572	M1 =	0.120012	M2 =	-0.005131	GALFA =	6.6109
	TMAX =	0.016748	M1 =	0.044961	M2 =	0.011445		

NUDO 4F

PUNTO DE CARGA 108

DEF UNIT	EXS =	5.	EYS =	5.	EXI =	5.
	EYI =	12.	E45S =	0.	E45I =	5.

REC PRINC	MXYMAX =	0.032857	M1 =	-0.042038	M2 =	-0.107832	GALFA =	-6.0538
	TMAX =	0.010168	M1 =	0.044708	M2 =	0.024493		

NUDO 6J

PUNTO DE CARGA 108

DEF UNIT	EXS =	-35.	EYS =	0.	EXI =	22.
	EYI =	10.	E45S =	-3.	E45I =	5.

REC PRINC	MXYMAX =	0.245764	M1 =	-0.471470	M2 =	-0.962999	GALFA =	-14.2542
	TMAX =	0.013150	M1 =	0.009345	M2 =	-0.017034		

PUNTO DE CARGA 108

PAG 9

NUDO EF

PUNTO DE CARGA 108

DEF UNIT	EXS =	-23.	EYS =	-1.	EXI =	30.	
	EV1 =	12.	E425 =	-13.	E451 =	2.	
MEC PRINC	MXYMAX =	0.201524	M1 =	-0.504940	M2 =	-0.908819	GALFA = -12.1255
	THXMAX =	0.022116	M1 =	0.043176	M2 =	0.000958	

NUDO 100

PUNTO DE CARGA 108

DEF UNIT	EXS =	17.	EYS =	-85.	EXI =	-38.	
	EV1 =	91.	E425 =	105.	E451 =	-168.	
MEC PRINC	MXYMAX =	1.885510	M1 =	0.570205	M2 =	-3.160814	GALFA = 27.6603
	THXMAX =	0.062821	M1 =	0.043598	M2 =	-0.082043	

NUDO 10F

PUNTO DE CARGA 108

DEF UNIT	EXS =	57.	EYS =	7.	EXI =	-48.	
	EV1 =	22.	E425 =	12.	E451 =	-6.	
MEC PRINC	MXYMAX =	0.565214	M1 =	1.528664	M2 =	0.398235	GALFA = -8.3489
	THXMAX =	0.018023	M1 =	0.066720	M2 =	0.030674	

NUDO 10J

PLATO DE CARGA 108

DEF UNIT	EXS =	-44.	EYS =	-3.	EXI =	25.	
	EV1 =	31.	E425 =	0.	E451 =	10.	
MEC PRINC	MXYMAX =	0.249615	M1 =	-0.853000	M2 =	-1.352229	GALFA = -24.9436
	THXMAX =	0.026420	M1 =	0.038013	M2 =	-0.014946	

16

PUNTO DE CARGA 108

PAG 10

NUDO 2C

PUNTO DE CARGA 2B

DEF UNIT	EXS =	-30.	EYS =	-70.	EXI =	15.
	EYI =	70.	E45S =	-3.	E45I =	15.

REC PRINC	MXYMAX =	0.554475	M1 =	-1.425450	M2 =	-2.535399	GALFA =	19.0671
	TMAX =	0.022914	M1 =	0.003751	M2 =	-0.042196		

NUDO 2F

PUNTO DE CARGA 2B

DEF UNIT	EXS =	7.	EYS =	30.	EXI =	5.
	EYI =	-8.	E45S =	5.	E45I =	30.

REC PRINC	MXYMAX =	0.264577	M1 =	0.693177	M2 =	0.163223	GALFA =	25.4853
	TMAX =	0.020546	M1 =	0.064117	M2 =	0.023025		

NUDO 6C

PUNTO DE CARGA 2B

DEF UNIT	EXS =	20.	EYS =	-35.	EXI =	-23.
	EYI =	30.	E45S =	-13.	E45I =	5.

REC PRINC	MXYMAX =	0.497303	M1 =	0.261793	M2 =	-0.732813	GALFA =	-1.8562
	TMAX =	0.004525	M1 =	-0.005717	M2 =	-0.014787		

NUDO 6F

PUNTO DE CARGA 2B

DEF UNIT	EXS =	31.	EYS =	72.	EXI =	-5.
	EYI =	-52.	E45S =	20.	E45I =	-8.

REC PRINC	MXYMAX =	0.474738	M1 =	2.198443	M2 =	1.248566	GALFA =	15.2815
	TMAX =	0.012171	M1 =	0.069839	M2 =	0.045496		

PUNTO DE CARGA 28

PAG 11

NUDO 6J.

PUNTO DE CARGA 28

DEF UNIT	EXS =	-18.	EYS =	35.	EXI =	10.
	EYI =	-15.	E45S =	42.	E45I =	12.

REC PRINC	XYMAX =	0.368612	M1 =	0.604422	M2 =	-0.133402	GALFA =	-6.8522
	TMAX =	0.054988	M1 =	0.070366	M2 =	-0.039610		

NUDO 6F

PUNTO DE CARGA 28

DEF UNIT	EXS =	2.	- EYS =	25.	EXI =	-18.
	EYI =	-5.	E45S =	30.	E45I =	-30.

REC PRINC	XYMAX =	0.167429	M1 =	0.702678	M2 =	0.367821	GALFA =	-37.6355
	TMAX =	0.019868.	M1 =	0.024994	M2 =	-0.014742		

NUDO 1CC

PUNTO DE CARGA 28

DEF UNIT	EXS =	2.	EYS =	-8.	EXI =	-15.
	EYI =	5.	E45S =	7.	E45I =	5.

REC PRINC	XYMAX =	0.137850	M1 =	0.180670	M2 =	-0.095030	GALFA =	0.0
	TMAX =	0.022613	M1 =	0.002169	M2 =	-0.043177		

NUDO 1CF

PUNTO DE CARGA 28

DEF UNIT	EXS =	17.	EYS =	-10.	EXI =	-23.
	EYI =	20.	E45S =	15.	E45I =	-14.

REC PRINC	XYMAX =	0.247065	M1 =	0.447118	M2 =	-0.233019	GALFA =	9.4719
	TMAX =	0.007845	M1 =	0.013971	M2 =	-0.003719		

10

PUNTO DE CARGA 28

PAG 12

MUDO 1CJ

PUNTO DE CARGA 28

DEF UNIT	EXS =	50.	EVS =	-20.	EXI =	0.
	EV1 =	-10.	E45E =	-60.	E45I =	-5.
MEC PRINC	HXYMAX =	0.44162E	M1 =	0.86982E	M2 =	-0.01342E
	TMAX =	0.05344E	M1 =	0.11907E	M2 =	-0.06781E

MUDO C

PUNTO DE CARGA 0

DEF UNIT	EXS =	0.	- EVS =	0.	EXI =	0.
	EV1 =	0.	E45E =	0.	E45I =	0.
MEC PRINC	HXYMAX =	0.0	M1 =	0.0	M2 =	0.0
	TMAX =	0.0	M1 =	0.0	M2 =	0.0

IH09003 EXECUTION TERMINATING DUE TO ERROR COUNT FOR ERROR NUMBER -217

IH0217I FIDCS - DID OF DATA SET CM UNIT 5

TRACEBACK ROUTINE CALLED FROM ISM REG. 14 REG. 15 REG. 0 REG. 1

 IDCOM CCCC5628 C009537C 0000001A 0009534C

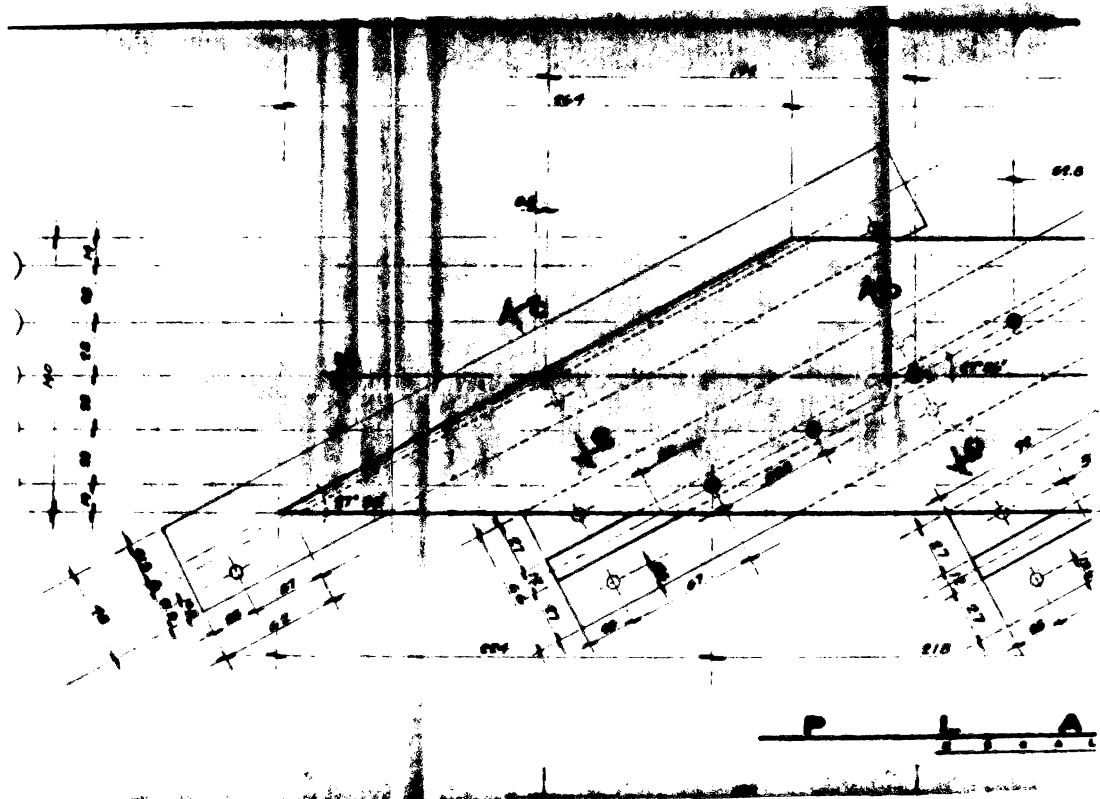
 MAIN CCCC6FDD 00095198 008CCCC0 00094FF8

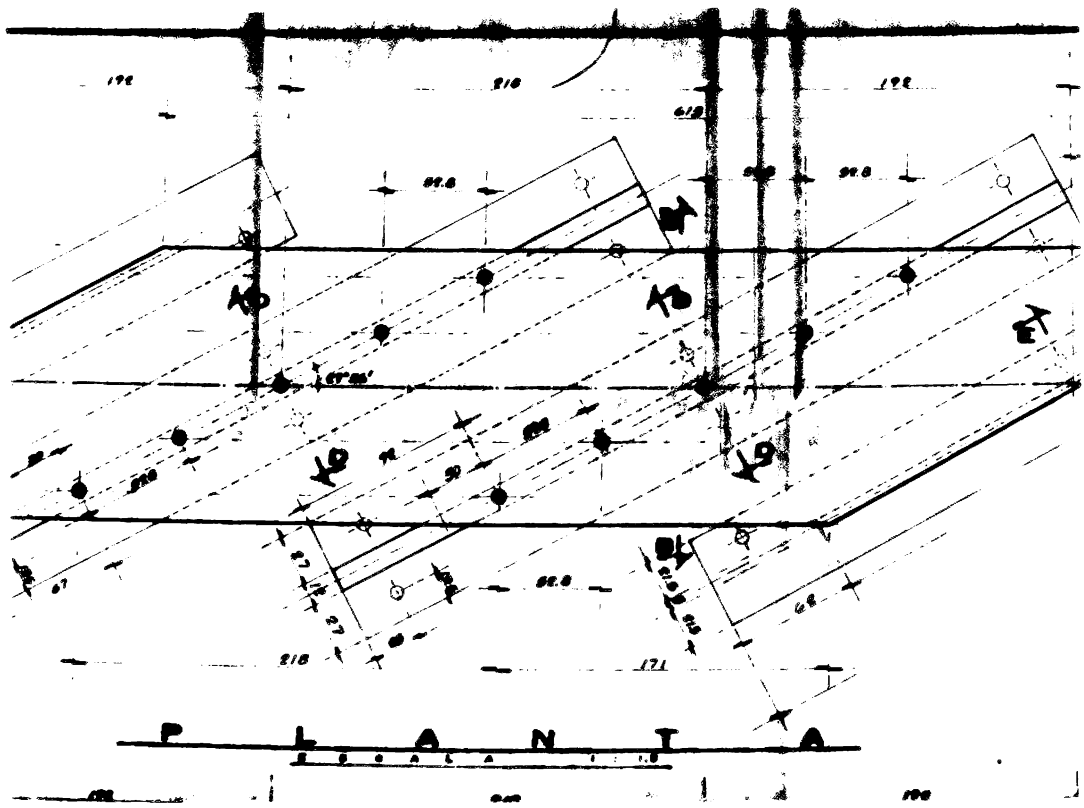
ENTRY POINT= 00C05158

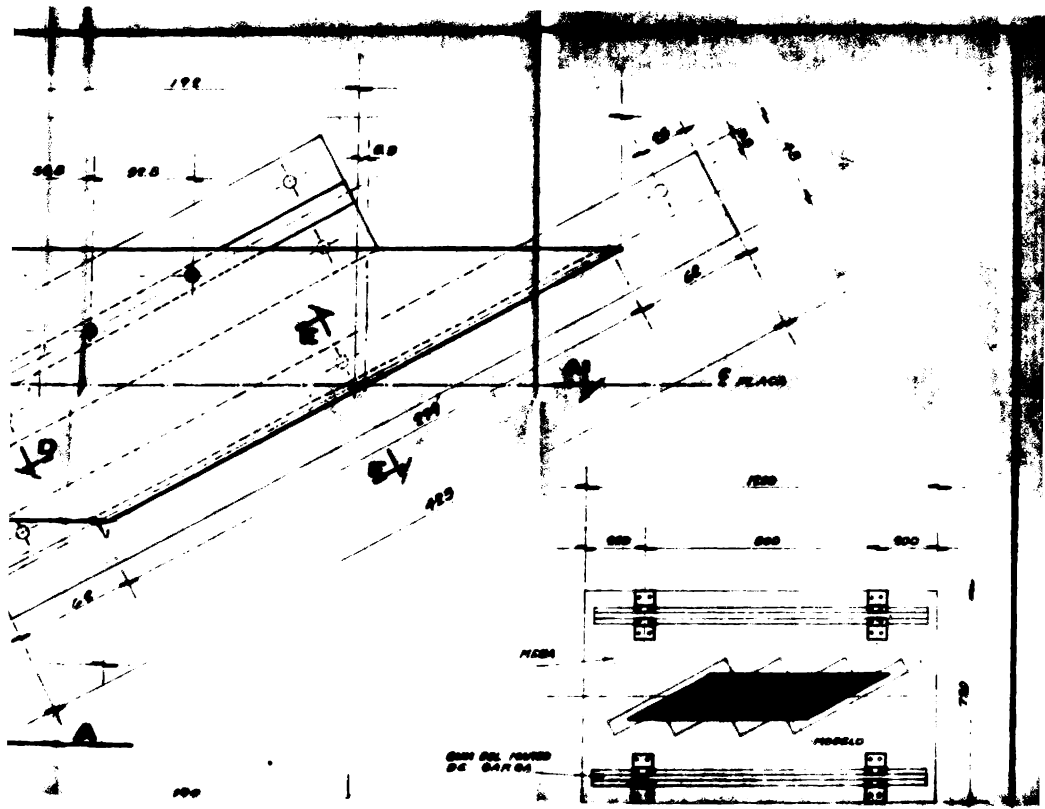
A P P E N D I C E A2

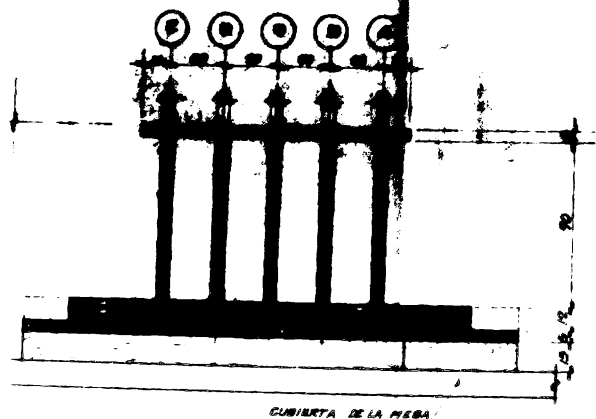
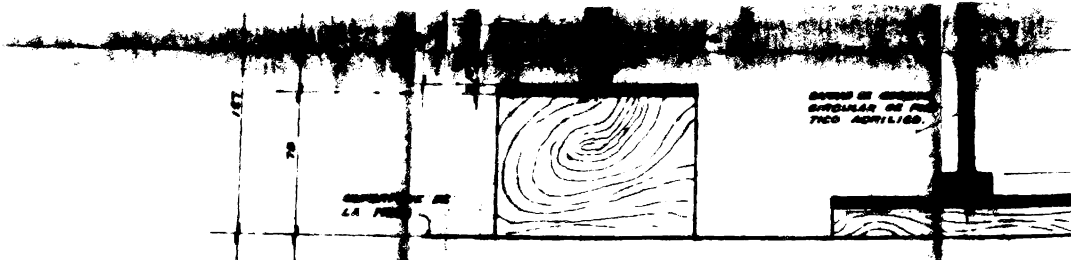
En esta parte se presentan los siguientes planos :

- ME-1 DETALLES DE MARCHA Y DESMONTAJE DEL MODELO.
- ME-2 ESTRUCTURA DE REFERENCIA Y PUNTOS INDICAMENTADOS.
- ME-3 SUPERFICIE DE REFERENCIA DEL PUNTO J6 PARA MEY MAX.
- ME-4 SUPERFICIE DE REFERENCIA DEL PUNTO J6 PARA ME .
- ME-5 SUPERFICIE DE REFERENCIA DEL PUNTO J6 PARA ME .

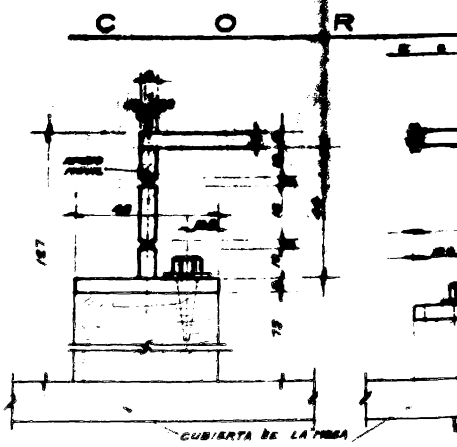








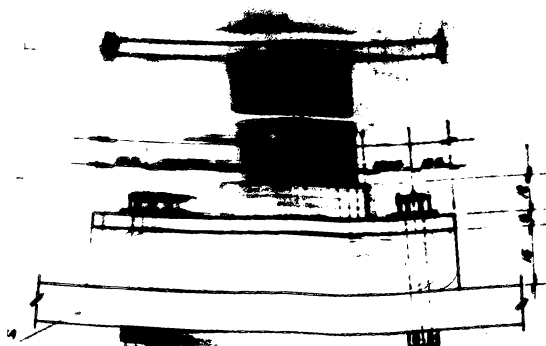
CORTE B-B
ESCALA 1:10



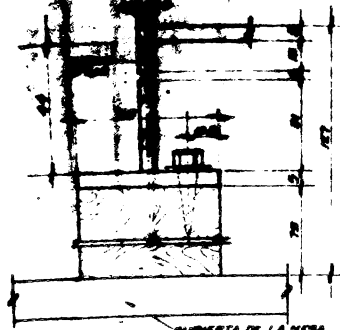
CORTE C-C
ESCALA 1:10



R T E A



CORTE D-D
ESCALA 1:1



CORTE E-E
ESCALA 1:1

CUBIERTA DE LA MESA

MONTAJE DEL MODELO

MONTAJE DEL MODELO

NOTAS:

- 1: AGUJEROS EN PULIMENTOS
SE DEBERAN EVITAR DENTRO LOS PUEDES DIBUITRE EL CORTE, YA QUE
PUEDE QUEDAR O FLAMENADO DENTRO PULIMENTO INTEGRANTE.
- 2: DESVENTAJA DE PULIMENTOS
- a) PLASTICO ABSOLUTO "PLASTICOL", CON UN PESO
DENSIDAD DE 1.040 kg/m³ Y PUEDE SE PONER ALTA.
- b) AGUJERO PARA PLASTICO ABSOLUTO "PLASTICOL EXTRA".
- c) PESO AL AGRAGARLE DE LOS PUEDES ASEGURAR RECTIFICARDE LA
SUSTITUTA DE LOS PUEDES.
- d) MATERIALES:

PLASTICO ABSOLUTO

ESCUELA NACIONAL DE ESTUDIOS PROFESIONALES
ARAGON
INGENIERIA CIVIL

TESIS PROFESIONAL

MODELO FISICO DE UN PUENTE
CON LOZA REVIAJADA

DETALLES DE FABRICACION
Y MONTAJE DEL MODELO.

FECHA	REPT.-RDN
-------	-----------

ESCALA	INDICADAS
--------	-----------

PLANO	
-------	--

EM-1

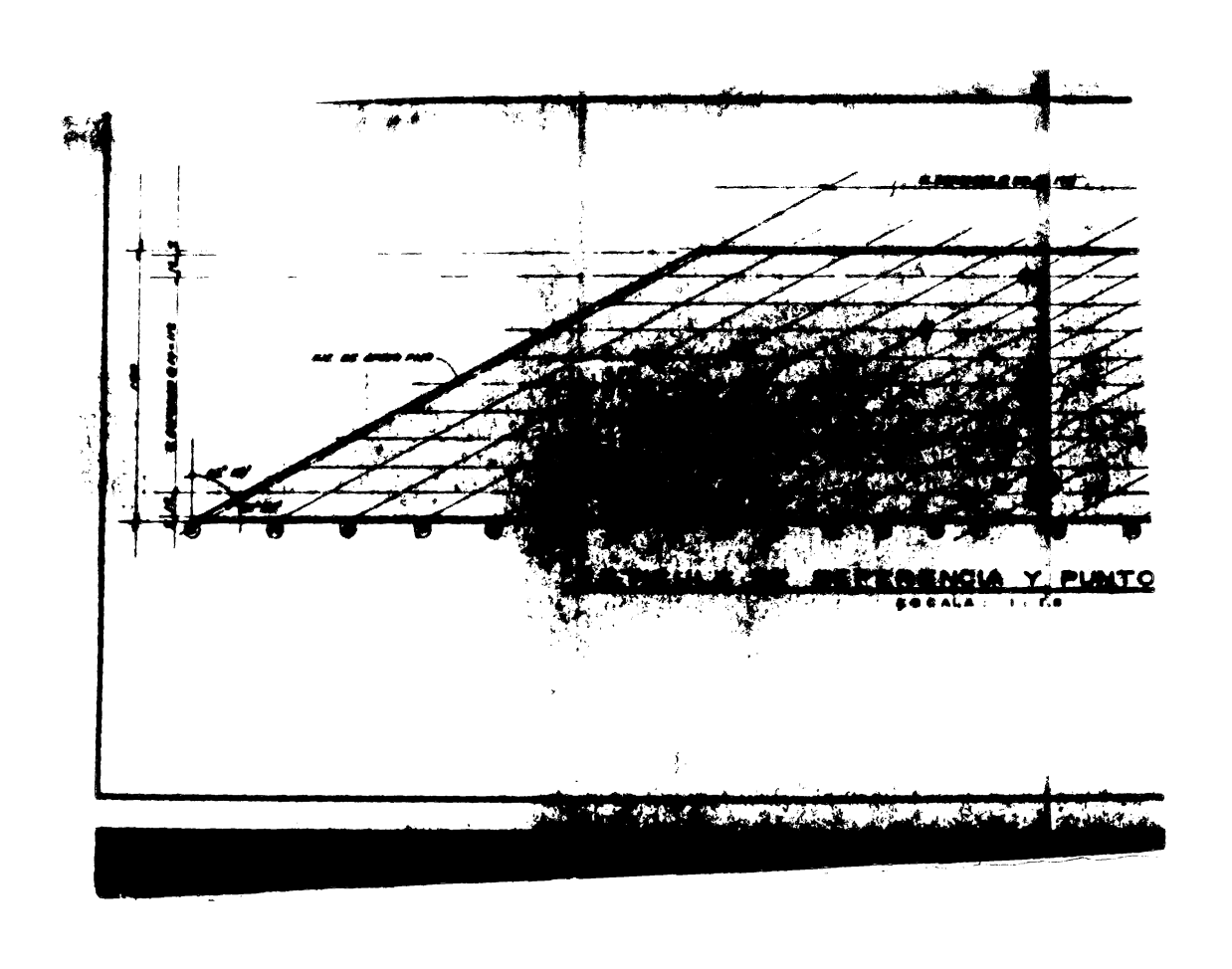
CALCULO	M.S.	DIBUJO	M.S.
---------	------	--------	------

REVISO	G.R.R.	APROBADO	
--------	--------	----------	--



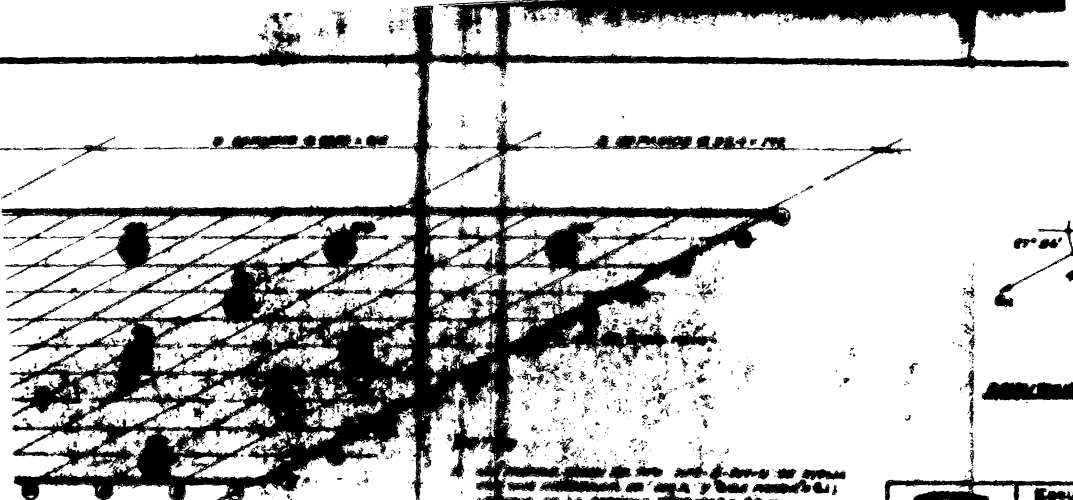
CUBIERTA DE LA NECA

E-E



TOLERANCIA Y PUNTO
SOCALISMO

LOS INSTRUMENTADORES

- 
- Los instrumentos que no cumplen con las normas establecidas en la legislación de la República Mexicana o en la Norma Oficial Mexicana - NOM.
 - Los que no cumplen las normas establecidas en el Código Federal de Protección contra Desastres Naturales (Código Federal de Protección contra Desastres Naturales).
 - El instrumento utilizado para planear los terrenos debe ser a base de radios ópticos.
 - La diferencia entre la altura entre el punto de medida, cierre o cierrezas existentes que sirven como referentes conocidos.
 - Los instrumentos utilizados que no cumplen con las normas establecidas anteriormente son prohibidos.
 - Los instrumentos que

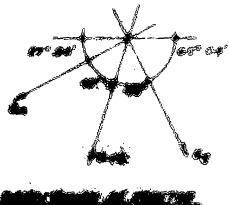


Escala
T. C.
MOD

RETIRO
Y PUN

CALCULO
REVISO

1000 0.33333/70



LARGO DE PUEBLO
A Y LARGO PARALELO A
TIERRAS = 60 mts.
INSTRUMENTACIONES
DE ESTACIONES DE
PUEBLO.

MAS LOS PUNTOS
DE REFERENCIA.
ESTACION ALTAIRIA DE
ESTACION QUE APARECE

NO CUMPLAN CON
Y SON INAPROPIADOS.



ESCUELA SUPERIOR
DE ARQUITECTURA
DE ZARAGOZA

Escuela Nacional de Estudios Profesionales
ARAGÓN
ENGENIERÍA CIVIL

TESIS PROFESIONAL

MODELO FÍSICO DE UN PUENTE
CON LOZA REVOLVADA

RETRICULA DE REFERENCIA
Y PUNTOS INSTRUMENTADOS

ESTACIONES : PUEBLO : V.D.S.

RETRICULA : PUEBLO : V.D.S.

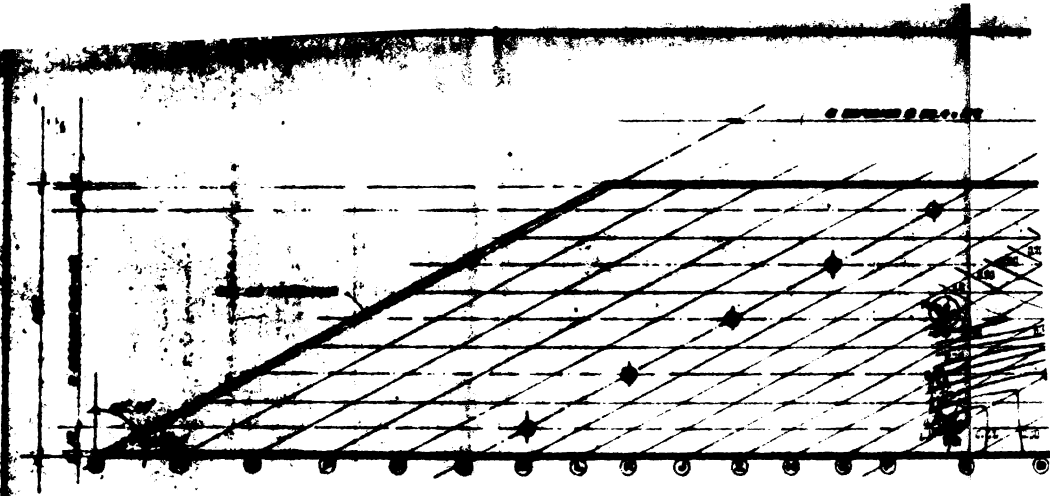
FECHA :
SEPT-1968

ESCALA :

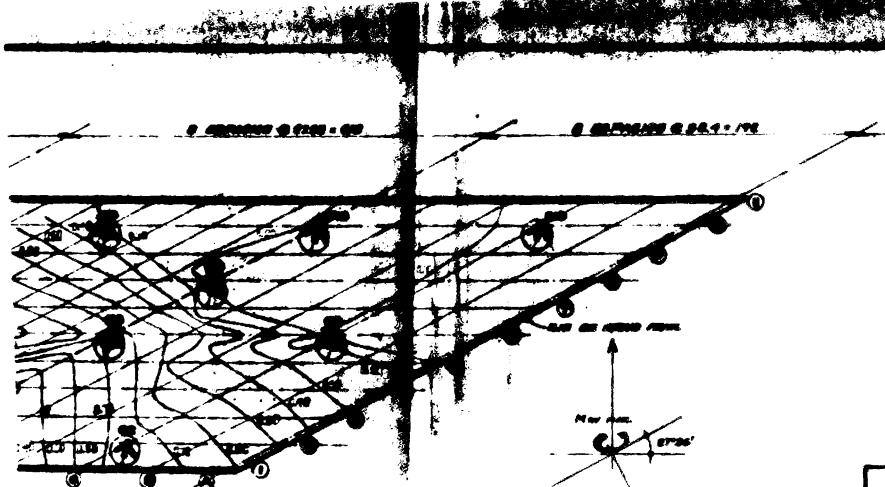
INDICADA

PLANOS :

EMP



SUPERFICIE DE INFLUENCIA DEL PUNTO
TORSIONANTE MAXIM



JG PARA EL MOMENTO
O ($M_{xy \text{ MAX}}$)

PUNTO DE CA	JG
PUNTO	JG 1
CE	0.7
FE	0.66
CB	0.4
PG	0.74
JA	1.114
FB	0.75
CIO	0.61
FIO	0.59
JIO	0.59



UNIVERSIDAD
TECNICA
ARICA

ESCUOLA	
T E S	
MODEL	
SUPERFIC	
DEL PUN	
CALCULO	
REVISIO	

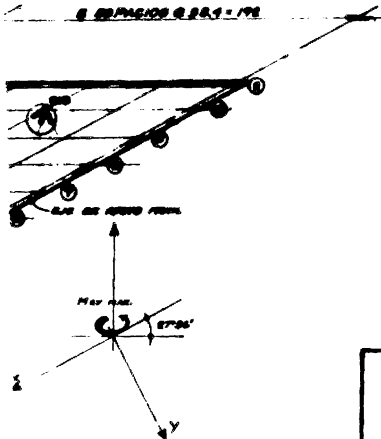


TABLA DE CARGA	
PUNTO	Mw MAX.
G1	0.77
F2	0.60
G2	0.47
F3	0.30
G3	1.04
F4	0.47
G4	0.60
F5	0.47
G5	0.60
F6	0.47
G6	0.60



ESTUDIO PROFESIONAL

MODELO FÍSICO DE UN PUENTE
CON LÓGA ESVIAJADA

SUPERFICIE DE INFLUENCIA —
DEL PUNTO J6 PARA Mw MAX.

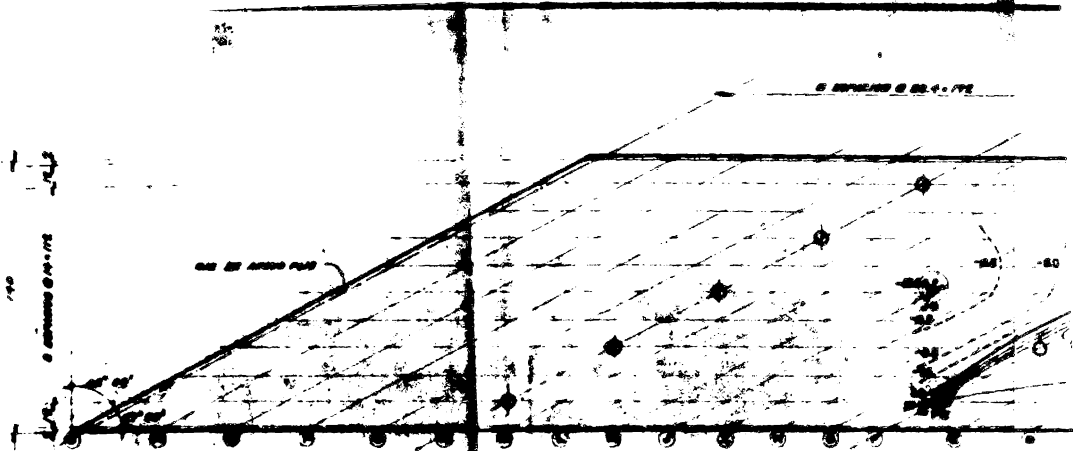
FECHA:	SEPT-68
ESCALA:	INDICADA
REVISADO:	PLANO

EM-3

CÁLCULO: DIBUJO:

REVISADO: APROBADO:

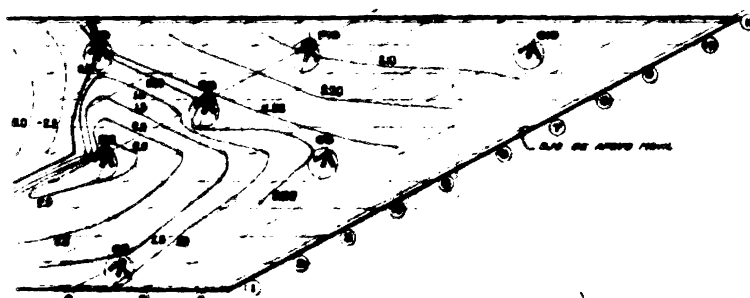
D.R.R.



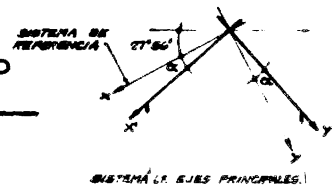
SUPERFICIE DE INFLUENCIA DEL PUNTO J6
PRINCIPAL MAYOR (

8 ESPACIOS 0 779 + 60

8 ESPACIOS 0 384 - 196



IS PARA EL MOMENTO
(ME)

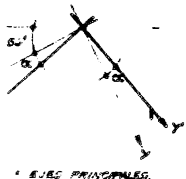
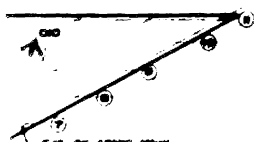


ПУНТО ДЕ	M
62	+1.6
72	+1.9
26	+0.6
70	+0.2
79	-0.1
100	+0.6
110	+0.00
120	+0.60
130	+0.60

ESCUELA	F
	I
TÉS	E
	S
MODEL	C
	C
SUPERFI	E
	D
DEL PUN	T
	C
CALCULO	R
	A
REVISIO	N
	C

UNIVERSIDAD NACIONAL
AUTÓNOMA

6 ESPACIOS 0.384 = 198



PUNTO DE CARGA 30		
MZ	MZ	DE (")
02	0.109	17.70
04	0.106	17.80
06	0.095	1.70
08	0.085	19.00
10	-0.01	0.00
12	0.085	19.00
14	0.095	1.70
16	0.106	17.80
18	0.109	17.70
20	0.116	17.20



UNIVERSIDAD NACIONAL
AUTÓNOMA

ESCUELA NACIONAL DE ESTUDIOS PROFESIONALES
ARMÓN
INGENIERÍA CIVIL

TESIS PROFESIONAL

MODELO FÍSICO DE UN PUENTE
CON LOSA DESVIADA

SUPERFICIE DE INFLUENCIA
DEL PUNTO 30 PARA MZ

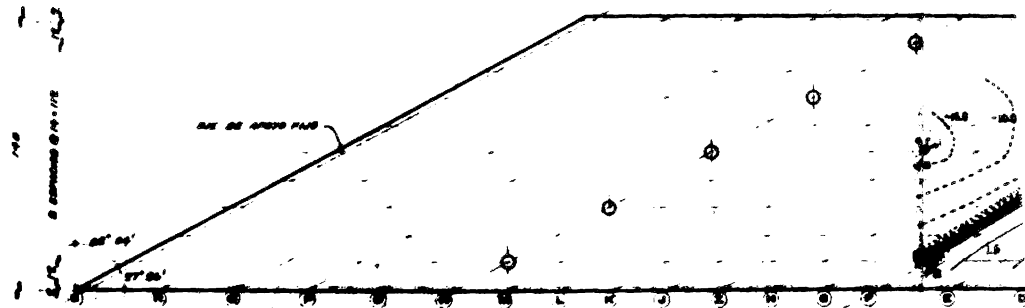
CÁLCULO MZ
REVISÓ G.R.P.

DIBUJO MZ
APROBÓ

FECHA
SEPT-1961
ESCALA
INVERSA
PLANO

EM-4

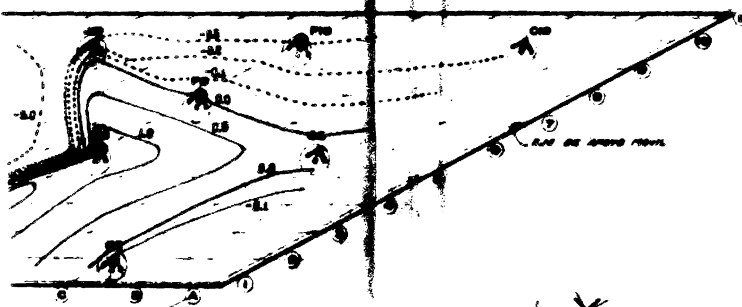
© CONFIDENTIAL - 1998



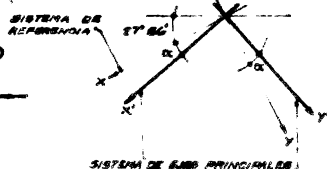
SUPERFICIE DE INFLUENCIA DEL PUNTO PRINCIPAL MENOR

8 ESPACIOS @ 5750 = 600

8 ESPACIOS @ 38.4 = 192



16 PARA EL MOMENTO
(M II)

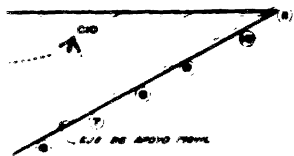


Universidad Nacional
Autónoma de México

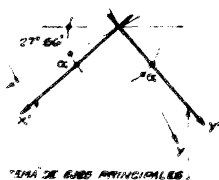
PUNTO DE	
PUNTO	M.
C8	-0.14
R2	0.17
E0	0.01
F6	+1.86
J6	-17.4
P8	-0.01
C10	-0.33
P10	-0.31
J10	+0.91

ESCUELA DE
TÉCNICO
EN
MÓDULOS
SUPERFICIE
DEL PUNTO
CALCULO
REVISIÓN

E. ESPACIOS G-38.4-198



LÍNEA DE AGUA FRENE



LÍNEA DE AGUA PRINCIPAL



UNIVERSIDAD NACIONAL
ARAGÓN

ESCUELA NACIONAL DE ESTUDIOS PROFESIONALES
ARAGÓN
INGENIERÍA CIVIL

TESIS PROFESIONAL

MODELO FÍSICO DE UN PUENTE CON LORA ESVIAJADA

SUPERFICIE DE INFLUENCIA
DEL PUNTO J6 PARA RÍO

CÁLCULO:	M.D.	DIBUJO:	M.D.
REVISIÓN:	G.R.	APROBADO:	

FECHA:	DEPT-100
ESCALA:	HOJA 1/2000
PLANO:	EM-8

EM-8